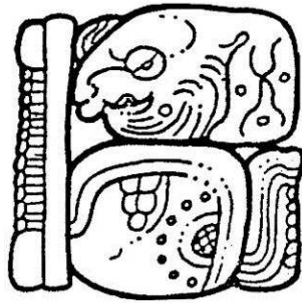


PROYECTO ARQUEOLÓGICO BUSILJÁ-CHOCOLJÁ



2015

INFORME DE LA SEXTA TEMPORADA DE INVESTIGACIÓN PRESENTADO ANTE EL CONSEJO DE ARQUEOLOGÍA DEL INSTITUTO NACIONAL DE ANTROPOLOGÍA E HISTORIA

EDITADO POR WHITTAKER SCHRODER, CHARLES GOLDEN Y ANDREW K. SCHERER

PROYECTO APOYADO Y FINANCIADO POR:
UNIVERSIDAD DE BROWN, UNIVERSIDAD DE BRANDEIS,
UNIVERSIDAD DE HARVARD, UNIVERSIDAD AUTÓNOMA DE YUCATÁN
UNIVERSIDAD DE PENNSYLVANIA
LA UNIVERSIDAD DE CIENCIAS Y ARTES DE CHIAPAS



PERSONAL TÉCNICO 2015

CHARLES GOLDEN
Universidad de Brandeis
Waltham, Massachusetts, Estados Unidos de América
cgolden@brandeis.edu

ANDREW K. SCHERER
Universidad de Brown
Providence, Rhode Island, Estados Unidos de América
akscherer@gmail.com

JEFFREY DOBEREINER
Universidad de Harvard
Cambridge, Massachusetts, Estados Unidos de América
jdober@fas.harvard.edu

WHITTAKER SCHRODER
Universidad de Pennsylvania
Philadelphia, Pennsylvania, Estados Unidos de América
wschro@sas.upenn.edu

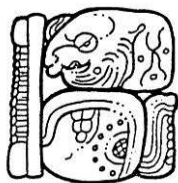
CYNDI GUADALUPE MEDINA PIMENTEL
Universidad de Ciencias y Artes de Chiapas-
Centro de Estudios Superiores de México y Centroamérica
Chiapa de Corzo, Chiapas, México
hije_junior@hotmail.com

YESENIA CABRERA TAMAYO
Universidad de Ciencias y Artes de Chiapas-
Centro de Estudios Superiores de México y Centroamérica
Chiapa de Corzo, Chiapas, México
cabrera-tj@hotmail.com

SOCORRO DEL PILAR JIMÉNEZ ALVAREZ
Universidad Autónoma de Yucatán
Mérida, Yucatán, México
sdpjimenez@yahoo.com.mx

CONTENIDO

CAPÍTULO 1. INTRODUCCIÓN.....	1
CAPÍTULO 2. LA SELVA: LEVANTAMIENTO Y EXCAVACIONES PRELIMINARES.....	9
CAPÍTULO 3. EL INFIERNITO: INVESTIGACIONES PRELIMINARES.....	36
CAPÍTULO 4. RECONOCIMIENTO ARQUEOLOGICO EN LOS RANCHOS SANTA MARTA Y TRES PIEDRAS, NUEVA ESPERANZA PROGRESISTA.....	64
CAPITULO 5. RECONOCIMIENTO ARQUEOLOGICO EN LOS ALREDEDORES DE NUEVO GUERRERO, OCOSINGO.....	75
CAPITULO 6. LA CERÁMICA DEL GRUPO PRINCIPAL DE BUDSILHÁ (OPERACIONES BU-1B-4; IF, IG, 6B y 7A).....	85
CAPITULO 7. LA CERÁMICA DE NA WITS.....	119
CAPÍTULO 8. CONCLUSIONES.....	126



CAPÍTULO 1

INTRODUCCIÓN

Charles Golden y Andrew K. Scherer

Desde el 1° de junio de 2015 hasta el 10° de julio del mismo año, con la colaboración de los oficiales del INAH y los miembros de las comunidades locales, los arqueólogos del Proyecto Arqueológico Busiljá-Chocoljá (PABC) realizaron su sexta temporada de campo. Las investigaciones realizadas incluyeron el reconocimiento del asentamiento Clásico en las comunidades de Nueva Esperanza Progresista (del municipio de Palenque), y La Selva, Nuevo Guerrero, y Lacanjá Tzeltal (del municipio de Ocosingo), en el oriente de Chiapas, en la zona del río Usumacinta y la frontera con Guatemala (Figuras 1.1-1.4). Tales investigaciones se enfocaron mayormente en el levantamiento y las excavaciones en el sitio La Selva, reportado el año pasado, y El Infiernito, registrado por primera vez en 2015. Además, se empezó en 2015 con el reconocimiento preliminar de los rasgos culturales en el sitio conocido de manera preliminar como (Figuras 1.5-1.8).

Los límites de la investigación, según la propuesta aprobada por el Consejo de Arqueología, tiene las esquinas aproximadas de: 17° 8' 45" N y 91° 36' 13" O (noroeste), 17° 10' 40" N y 91° 20' 54" O (noreste), 16° 50' 42" N y 91° 17' 53" O (suroeste), 16° 58' 38" N y 91° 07' 12" O. Esta zona de investigación está delimitada al oeste por el valle del río Santo Domingo, donde está ubicado el pueblo del mismo nombre, y al este por el río Usumacinta y la frontera actual con Guatemala. La zona incluye tres sitios arqueológicos identificados por investigaciones anteriores: La Mar, Budsilhá y El Cayo. Además la zona incluye varios sitios reportados por Charles Golden y Andrew Scherer durante una temporada de campo preliminar en febrero de 2010, de los cuales Rancho Búfalo, Flores Magón, Laguna Oscura y Uch Chan son los más grandes (Golden y Scherer 2010). El proyecto siguió en 2014 con reconocimiento de asentamiento Preclásico alrededor de Rancho Bufalo y asentamiento Clásico en los ejidos La Selva, Margaritas/Masa de Juárez, y Arroyo Jerusalén (Golden y Scherer 2011; Scherer y Golden 2012; Scherer, Golden, y Dobereiner 2013, Schroder, Dobereiner, Golden, y Scherer 2014). Los objetivos de la sexta temporada de investigación eran los siguientes:

- 1) Establecer la cronología del asentamiento en la región de estudio.
- 2) Entender el comercio entre los sitios y la economía antigua.

- 3) Conocer los patrones de asentamiento, desde el nivel campesino hasta el de la élite de la nobleza.
- 4) Determinar las relaciones espaciales entre los sitios, especialmente en relación con las fronteras políticas antiguas entre reinos distintos.
- 5) Entender la relación entre el paisaje y los patrones de asentamiento.
- 6) Conocer los patrones de agricultura antigua que proporcionaron los medios de subsistencia necesarios para mantener las capitales del mundo maya, como Piedras Negras.
- 7) Comenzar a delimitar las fronteras de las entidades políticas como Piedras Negras y sus reinos vecinos, esto a través del reconocimiento arqueológico en la zona de La Mar, Budilha y otros sitios vecinos, el levantamiento preliminar de sitios arqueológicos, excavaciones menores con el objeto de fechar los sitios y ubicarlos dentro de las esferas cerámicas de la región, y el análisis de los asentamientos antiguos con un Sistema de Información Geográfica (SIG).

En los capítulos siguientes, los arqueólogos responsables de los estudios de campo y laboratorio presentan los resultados de su trabajo.



Figura 1.1 Mapa político actual.

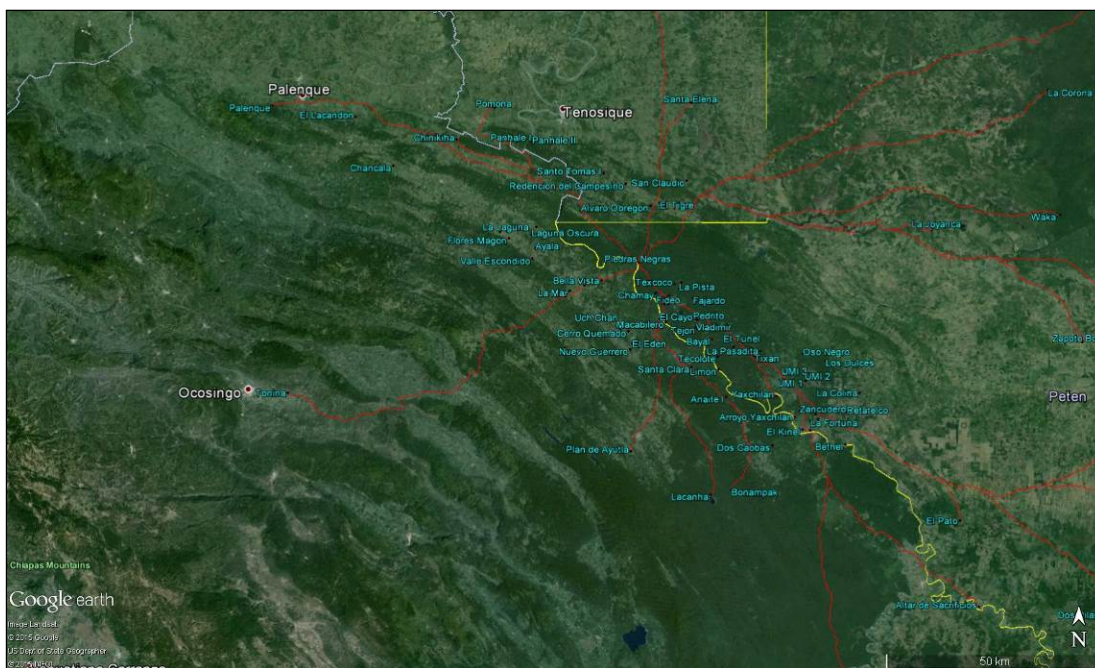


Figura 1.2 Imagen de Google Earth de la región mayor mostrando sitios arqueológicos, ciudades actuales y rutas de costos mínimos de transporte peatonal (líneas rojas) (mapa por C. Golden).

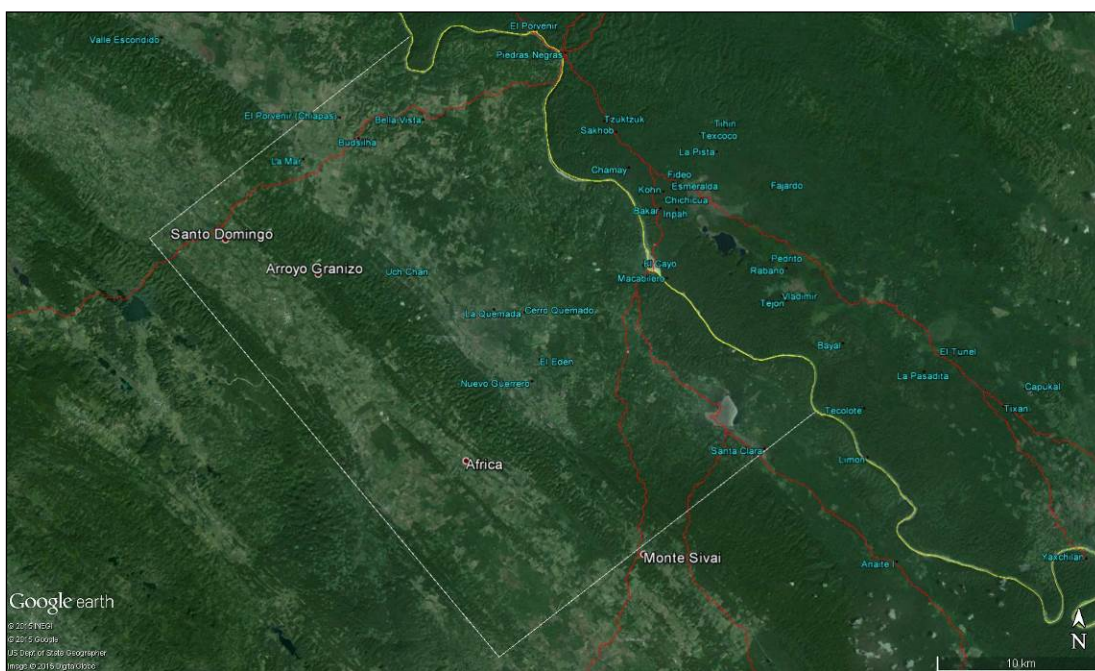


Figura 1.3 Imagen de Google Earth de la región del estudio mostrando sitios identificados, el polígono de investigación (cuadrilateral blanco) y rutas de costos mínimos de transporte (líneas rojas) (mapa por C. Golden).

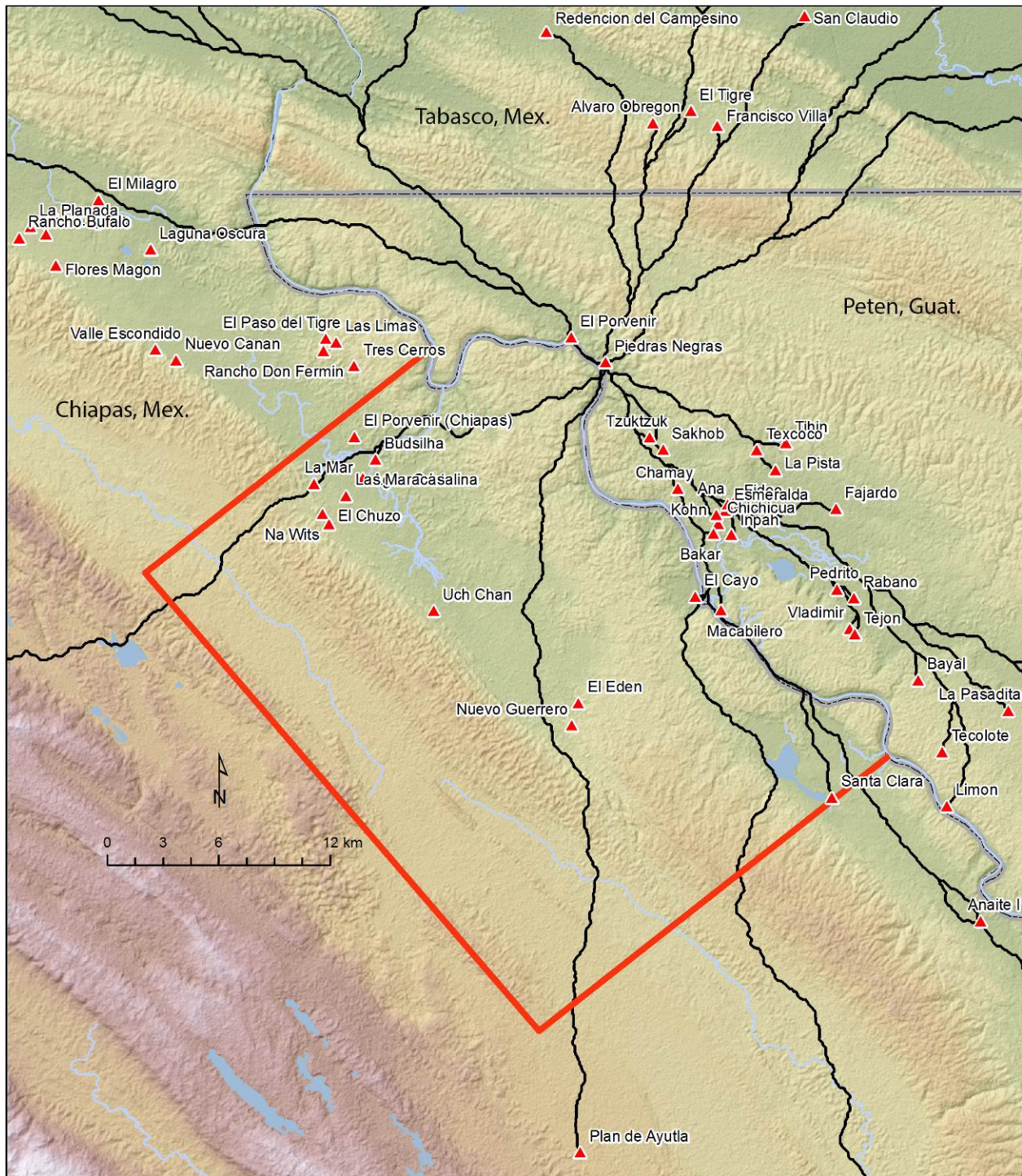


Figura 1.4 Mapa de la región mostrando los sitios identificados, la región del estudio (cuadrilateral rojo), rutas de costos mínimos de transporte (líneas negras) y la topografía regional (mapa por C. Golden).

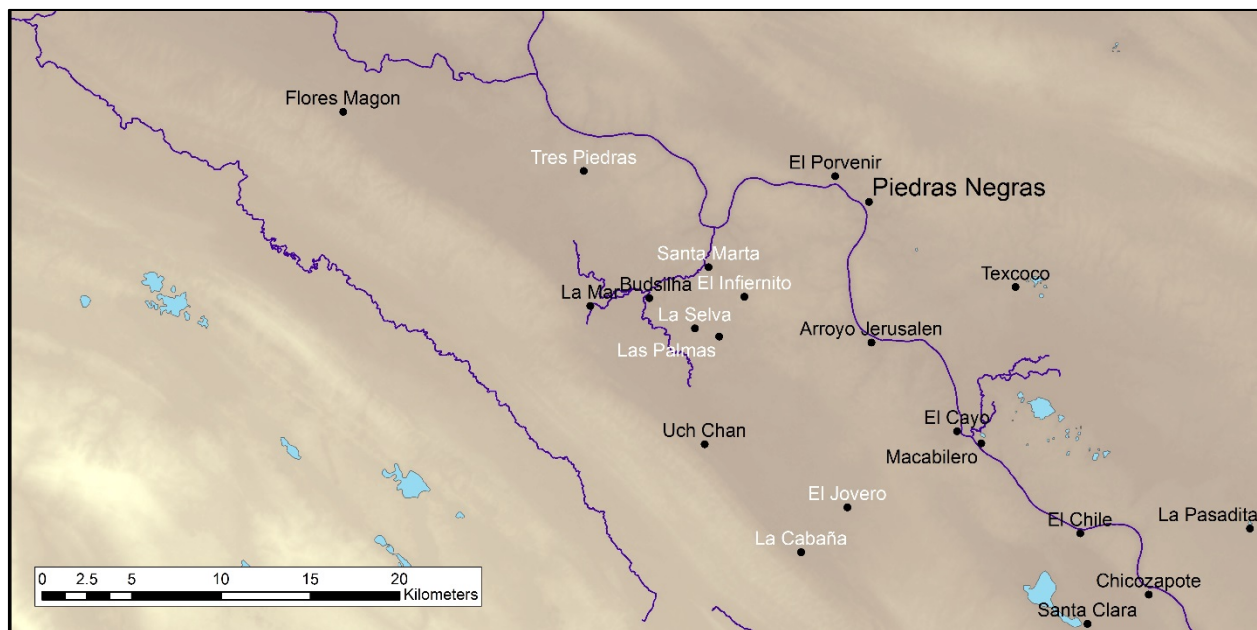


Figura 1.5 Mapa de la región mostrando sitios examinados durante la temporada 2015 en color blanco (mapa por W. Schroder).

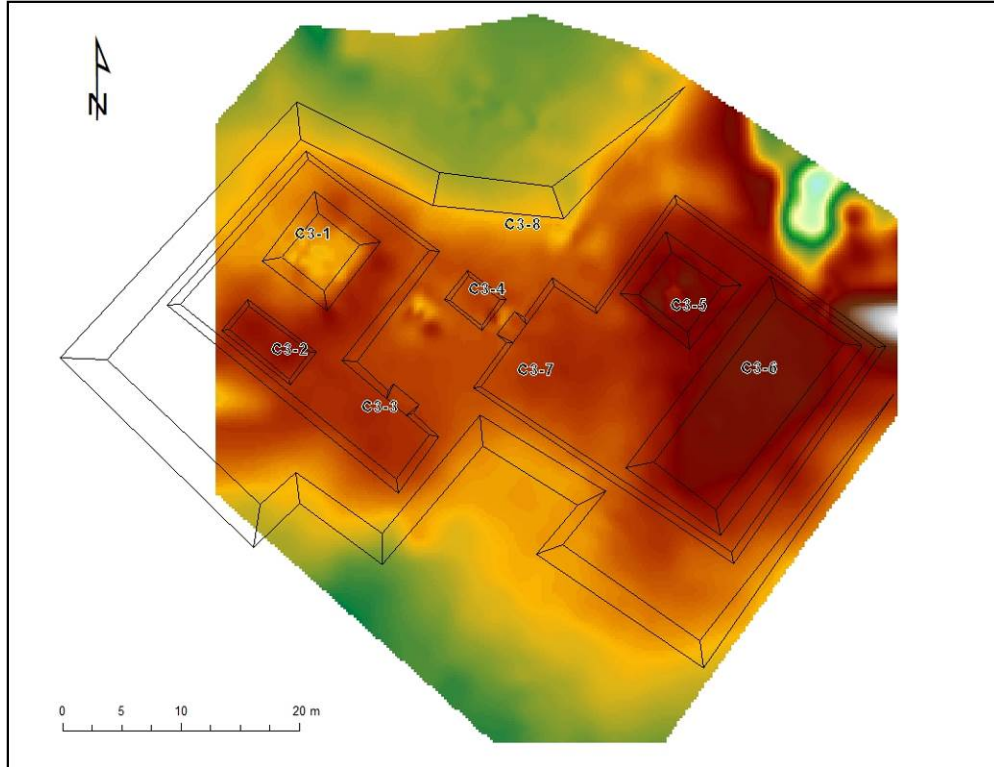


Figura 1.6 Mapa de La Selva, Chiapas, México, 2015 (por W. Schroder).

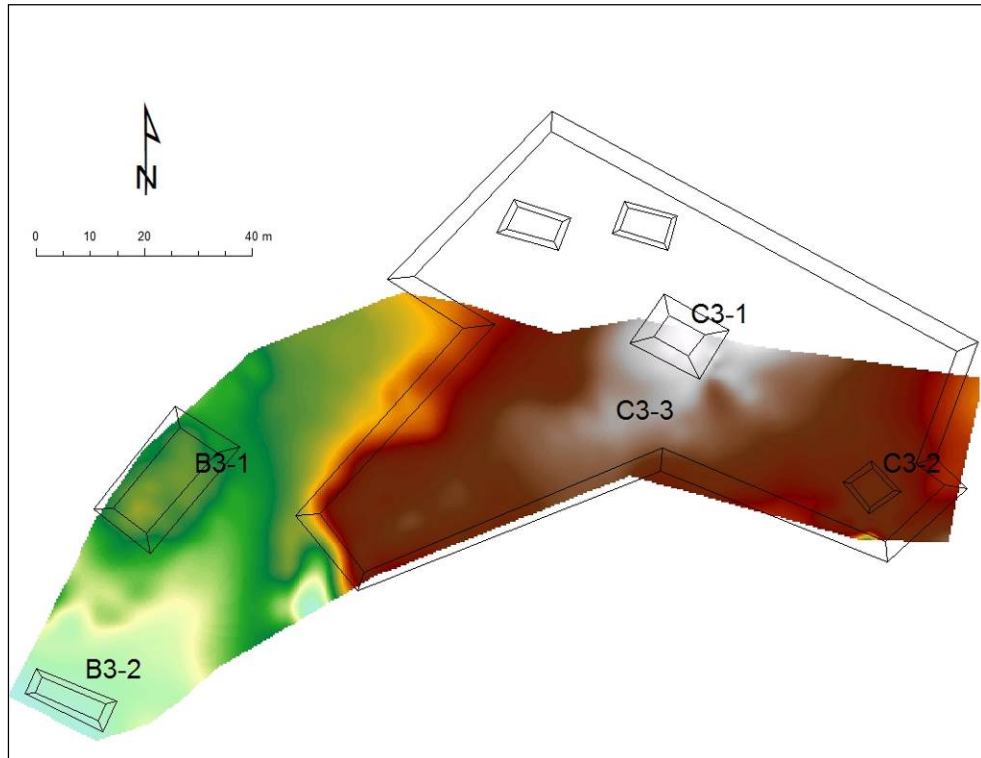


Figura 1.7 Mapa de Santa Marta, Chiapas, México 2015 (por W. Schroder).

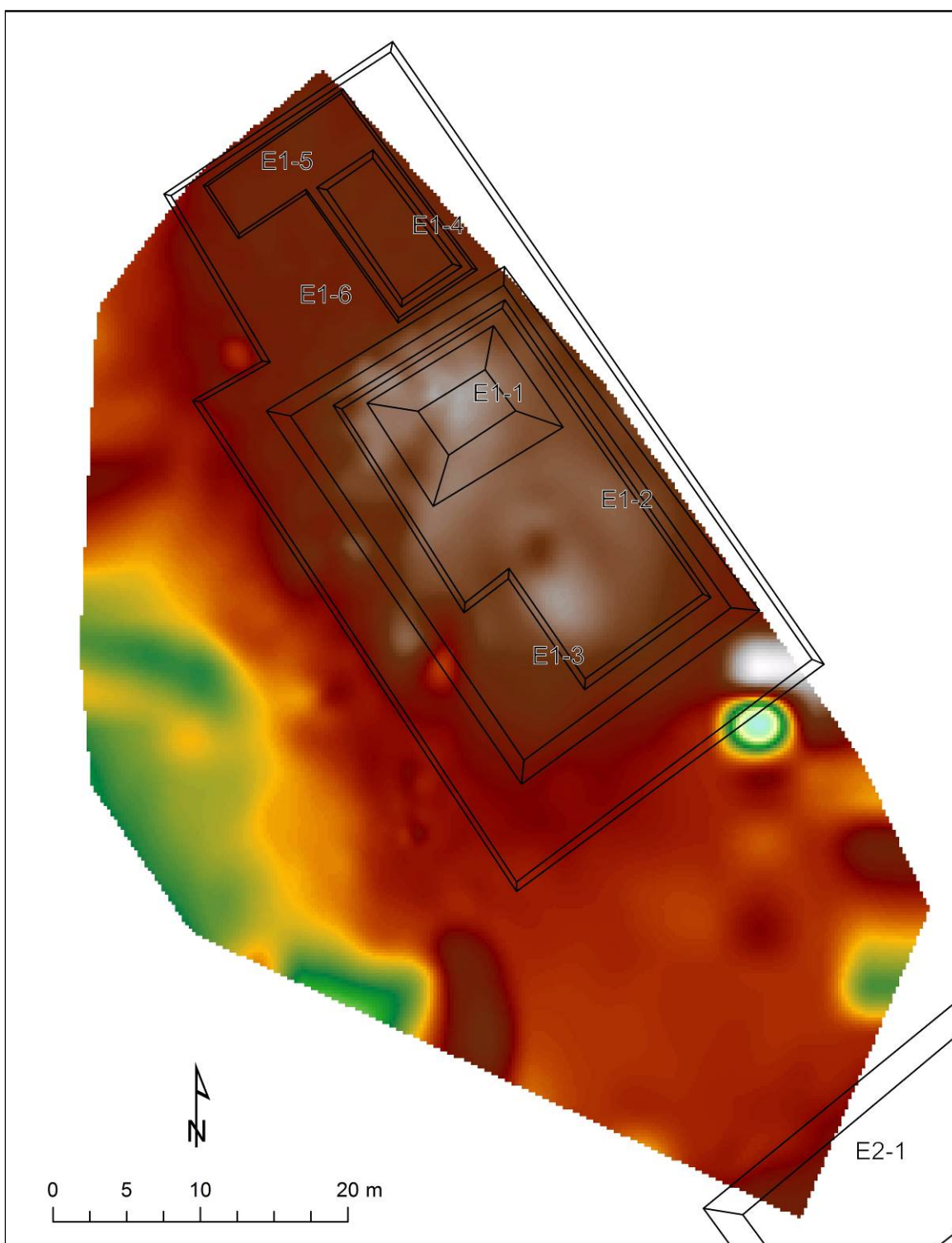


Figura 1.8 Mapa de El Infiernito, Chiapas, México 2015 (por W. Schroder, Y. Cabrera, y C. Medina).

CAPÍTULO 2:

LA SELVA: LEVANTAMIENTO Y EXCAVACIONES PRELIMINARES

Whittaker Schroder, Yesenia Cabrera Tamayo y Cyndi Medina Pimentel

Introducción

Durante el reconocimiento de la temporada de 2014, registramos un sitio en el ejido de La Selva con varias estructuras y por lo menos una plaza. La calidad de la mampostería y el tamaño de las estructuras indicaron que el sitio de La Selva era un asentamiento importante, quizás similar a Budsilha en su relación a la organización política de la región alrededor de Piedras Negras. Con esa posibilidad, un objetivo de la temporada de 2015 fue en empezar un mapa del epicentro del sitio y poner unos pozos de sondeo al lado de las estructuras para establecer la cronología del sitio. El trabajo de la temporada 2015 realizó esas metas y también encontró evidencia de entierros elites con una probable conexión con los reinos de Piedras Negras.

Levantamiento

En 2014, se preparó un croquis sin escala del sitio, enfocando en el epicentro del sitio. Con el permiso del dueño de la parcela, don Benito Sánchez Gutiérrez, empezamos el levantamiento del sitio con una estación total de modelo Leica durante la temporada de 2015. Utilizamos siete datos para coleccionar 1,083 puntos topográficos en un área de 0.27 hectáreas.

El sitio de La Selva está ubicado en un cerro bajo (Figura 4.1) donde el terreno de don Benito Sánchez Gutiérrez colinda con la parcela de otro ejidatario que no nos dio permiso para trabajar. Entonces no fue posible mapear todo el sitio. Sin embargo, la mayoría de construcción está parte del terreno de don Benito Sánchez Gutiérrez. La línea que separa los terrenos pasa más o menos a lo largo de la pared suroeste de la estructura C3-3. Todo el sitio al norte de esa línea fue mapeado.

El levantamiento revela que el epicentro del sitio consiste en ocho estructuras (Figura 4.2). Las dos estructuras mayores del sitio (C3-1 y C3-6) están posicionadas una frente a la otra encima de plataformas grandes (C3-3 y C3-7), respectivamente. Cada plataforma tiene otra estructura más pequeña al lado. En medio de las dos plataformas hay un patio con una estructura más en el centro. Todo el sitio está elevado encima de un cerro bajo modificado y aplanado (C3-8). La estructura C3-6 es de rango y tiene evidencia en la superficie de arquitectura interior. Desafortunadamente,

la estructura mayor, que probablemente fue abovedada, fue destruida en un evento masivo de saqueo. La estructura C3-5 también fue saqueada, pero la estructura de rango parece ser intacto.

Inmediatamente al norte del sitio hay otra área aplanada que parece formar otro patio, y hay dos cerritos naturales que parecen ser montículos o plataformas, pero no es probable que fueron modificados. También al norte de la estructura C3-6 había evidencia de muros o drenajes, pero después de limpiar el lugar, es obvio que son rasgos naturales. Entonces el resto del trabajo enfocó en documentar el epicentro del sitio.

Excavaciones

Para entender mejor la cronología del sitio y empezar a reconstruir su relación al paisaje político de la región, elegimos para colocar una serie de pozos de sondeo en el epicentro de La Selva (Figura 4.3). Con el objetivo de encontrar basureros para coleccionar una muestra de cerámica diagnóstica, abrimos cuatro operaciones.

Operación 1A

La sub-operación 1A, fue un registro del pozo de saqueo en la estructura C3-5. Mientras limpiamos el perfil para dibujar, no encontramos artefactos en contexto. Sin embargo, en la superficie de la estructura sí encontramos tiestos de cerámica del periodo Clásico Tardío. Se dibujó el perfil del pozo de saqueo para documentar la forma de relleno. Aunque no obtuvimos mucha información de aquel perfil, es probable que el lado este del sitio tiene su fase terminal en el Clásico Tardío. Sin más evidencia es difícil llegar a otras conclusiones. Además de la documentación de este pozo de saqueo, no investigamos el lado este del sitio. En años futuros sería útil abrir excavaciones horizontales en la estructura de rango, C3-6 para entender mejor la historia de construcción de esa plataforma.

LS-1A-1

Esta unidad fue puesta encima del pozo de saqueo. No se excavó más debajo del pozo de saqueo; solo se limpiaron los perfiles para un dibujo.

La estructura parece tener un solo fase de construcción. Debajo del humus, hay evidencia de un posible piso de piedra sin estuco. Debajo, hay un metro de relleno típico del resto del sitio

hasta un metro de profundidad cuando el saqueo termina (Figura 4.4). Con esta evidencia es probable que la estructura C3-6 era una plataforma para arquitectura perecedera.

Operación 2A

Esta sub-operación consistió en los trabajos adentro del pozo de saqueo en la estructura principal, C3-1. El pozo de saqueo está amplio y profundo, midiendo siete metros de profundidad y seis metros de largo. Aunque el pozo de saqueo destruyó la mayoría de la estructura, los perfiles sudeste y noreste revelaron bastante información sobre las fases de construcción, con evidencia de tres niveles de piso. La forma de construcción tiene mucho en común con Piedras Negras, en su manera de relleno con piedras grandes e irregulares, pisos gruesos, y en su fase terminal de mampostería bien labrada. También la orientación de la estructura, que parece ser consistente durante cada fase de construcción, coincide con la orientación 30° este del norte de Piedras Negras.

Debido a que el evento de saqueo fue relativamente reciente, hace veinte años, algunos informantes locales podrían describir lo que encontraron. A siete metros de profundidad, encontraron por lo menos tres entierros completos, que desafortunadamente fueron destruidos. Una de las cistas todavía está completa en el perfil noreste, y una laja grande y bien labrada queda en el fondo del pozo de saqueo. Los tres entierros se describen abajo después del reporte de las unidades de la sub-operación.

LS-2A-1

La Unidad 1 midió 2 x 2 m, y fue orientada con la estructura C3-1, 30° azimut. La unidad fue colocada en medio del pozo de saqueo, en el lugar más profundo para buscar evidencia intacta de los entierros descritos por los informantes (Figuras 4.5 y 4.6).

El Lote 1 consistió en una mezcla de humus café muy oscuro (10 YR 2/2) y derrumbe de las paredes del pozo de saqueo. El lote terminó a 152 cm bajo el nivel del dato, ubicado 133 cm arriba de la superficie de la tierra (centro de la unidad). Se dibujaron unas líneas de piedras que parecían formar criptas, dos en total, rectangulares orientadas al 30° azimut. Los artefactos recuperados incluyeron una bolsa mediana de cerámica, una bolsa pequeña de concha, una bolsa pequeña de hueso animal (fragmento de costilla y vertebra), y un martillo pedernal.

El Lote 2 siguió con derrumbe de la pared del pozo de saqueo con tierra café (10 YR 4/3). El lote terminó a 170 cm bajo el nivel del dato (centro de la unidad). Se encontró más evidencia

de lajas potenciales. Los artefactos recuperados incluyeron una bolsa grande de cerámica, una bolsa pequeña de pedernal, una bolsa pequeña de concha, y hueso humano (tres fragmentos del tobillo y el peroné) asociado con el Entierro 1 (ver abajo).

El Lote 3 fue el último nivel de la unidad y representó los restos del Entierro 2.

Entierro 2

El Entierro 2 fue ubicado en la esquina norte de la unidad LS-2A-1 (Figuras 4.7 y 4.8). Es evidente que había un entierro por los restos de una cista en forma rectangular, orientada del norte al sur (el eje largo tiene la orientación 150° este del norte). No se recuperaron restos humanos de la cista, y es probable que el esqueleto fue sacado y destruido durante el evento de saqueo. El interior de la cista mide un metro de largo. Si el cuerpo fue enterrado en una posición decúbito, el espacio solo tendría lugar para un infante, o quizás un adulto encajaría en estática fetal con la cabeza al norte y los pies en la esquina sur, donde la cista está un poco más ancha. El color del suelo adentro del entierro era café (10 YR 5/3). Artefactos recuperados del entierro incluyeron una bolsa mediana de cerámica y una bolsa pequeña de pedernal.

LS-2A-2

La Unidad 2 fue colocada directamente al lado sureste de la Unidad 1, también adentro del pozo de saqueo (Figuras 4.9-4.14). La unidad midió 2 x 2 m y tenía la misma orientación, 30° azimut que la unidad LS-2A-1 y la estructura C3-1. La Unidad 2 contenía la laja grande (midiendo 80 cm por 70 cm) que originalmente cubrió el Entierro 3 – fue movido a esta posición durante el saqueo.

El Lote 1 fue el nivel de humus arriba del derrumbe encima de los entierros y consistió en una tierra de color café muy oscuro (10 YR 2/2). El lote terminó a 112 cm bajo del nivel del dato, que fue colocado 99 cm arriba del nivel del superficie (esquina O de la unidad). La extensión de las piedras que parecían formar criptas fue dibujada. Artefactos encontrados incluyeron una bolsa mediana de cerámica, una bolsa pequeña de estuco, una bolsa pequeña de cuarzo, una bolsa pequeña de concha, y una bolsa pequeña de pedernal.

El Lote 2 fue un nivel lleno de derrumbe de la pared sureste del pozo de saqueo por la concentración de fragmentos de estuco de los varios pisos aparente en el perfil. La tierra tenía un color café oscuro (10 YR 3/3). El lote terminó a 149 cm bajo del nivel del dato (esquina O de la

unidad). El lote cambió cuando se encontró evidencia del Entierro 1 en la esquina norte de la unidad. Materiales recuperados incluyeron una bolsa grande de cerámica, una bolsa pequeña de concha, y una bolsa mediana de estuco.

El Lote 3 fue el último nivel de la unidad y fue la recuperación de los restos humanos del Entierro 1.

Entierro 1

El Entierro 1 fue colocado en la esquina norte de la Unidad LS-2A-2 y la esquina oriental de la Unidad LS-2A-1 (Figura 4.15). El entierro fue contenido adentro de una cista orientada 120° este del norte en su eje largo, con los pies al lado oeste y la cabeza al este. La cista midió 110 x 38 cm, un poco más largo que la cista del Entierro 2. Los restos humanos recuperados incluyeron fragmentos de la tibia y el peroné en el lote LS-2A-2-3 y fragmentos del peroné y el tobillo en el lote LS-2A-1-2, consistente con la orientación sugerida. El color del suelo adentro del entierro era café (10 YR 5/3). Otros artefactos recuperados del entierro incluyeron una bolsa mediana de cerámica, una bolsa pequeña de pedernal, y una punta de lanza.

LS-2A-3

Esta unidad fue la limpieza del perfil sureste de la estructura C3-1, siguiendo la orientación del saqueo, 30° azimut. En esta unidad se documentó la forma de relleno de la estructura, los dos pisos más recientes, y superestructura final de construcción. Bastante de este perfil ha colapsado, y hay peligro de más derrumbe. No se recuperaron artefactos de este perfil. Las fases de construcción están notados en el dibujo de perfil (Figura 4.16 y 4.17).

LS-2A-4

La Unidad 4 fue ubicada al sur de la Unidad 3, siguiendo el perfil de saqueo. En este perfil, hay evidencia similar que la Unidad 3, pero hay menos derrumbe, entonces un piso anterior se nota al fondo del perfil. Es posible que este piso más bajo fue destruido en antigüedad durante los tres eventos de entierro. No encontramos artefactos en este perfil, pero los cambios de suelos están notados en el dibujo de perfil.

LS-2A-5

La Unidad 5 fue la limpieza del saqueo en su perfil noreste. Está ubicado al noreste de la Unidad 2. La mayoría de la unidad consiste en la pared interior del cuarto, notado en el dibujo como LS-2A-5-4. No hay evidencia de pisos de estuco en esta unidad, pero es seguro que continuaron desde las Unidades 6, 3, y 4. No se encontraron artefactos durante la limpieza, pero el perfil fue dibujado (Figura 4.18).

LS-2A-6

La Unidad 6 fue la última limpieza de perfil. La unidad está ubicada al sureste de la Unidad 5 y al noreste de la Unidad 3. En el perfil sureste de la Unidad 6, se nota dos niveles de piso con estuco. En el piso más arriba (más reciente), se documentaron tiestos de cerámica policroma Yaxché consistente con los tiestos recuperados de los Entierros 1 y 2, que sugiere que los entierros tiene la misma fecha relativa de la construcción del último piso. Entonces los entierros probablemente fueron intrusos al tercer piso (el más bajo) y enterrados antes de la construcción del último piso.

En el perfil noreste de la Unidad 6 hay evidencia del primer y el segundo piso pero no del piso más bajo. Esta evidencia apoya la posibilidad que el piso más bajo fue destruido durante el proceso de entierro. En el perfil noreste también hay evidencia de la cista del Entierro 3, que describe abajo.

Entierro 3

El Entierro 3 no fue excavado por arqueólogos, sino como parte del evento de saqueo de la estructura C3-1. Fue colocado en la pared noreste de la estructura C3-1, y parece que fue puesto antes de la construcción en vez de ser insertado debajo de un piso más tarde (Figura 4.19). Es obvio que era una cripta sencilla con lajas labradas. El techo y los muros están preservados y la laja que cubrió el lado suroeste de la cripta fue movida más abajo, adentro del pozo de saqueo y la ubicación de la Unidad LS-2A-2. El eje largo del entierro está orientado a 30° este de norte y mide 75 cm, pero es probable que la cripta fue más larga antes de ser destruida por el saqueo. La cripta mide 70 cm de ancho y 40 cm de altura. El color del suelo adentro de la cripta era un café amarillo (10 YR 5/4). No se recuperaron artefactos ni restos humanos.

Operación 3A

sub-operación 3A fue colocada en frente de las estructuras C3-1 y C3-3 en el patio al sureste de la plataforma. El objetivo era para buscar un basurero entre las estructuras C3-3 y C3-4 para establecer la cronología de la construcción del sitio de La Selva.

LS-3A-1

La Unidad 1 fue el único pozo de la sub-operación 3A, midiendo 2 x 2 m y orientada 30° azimut, siguiendo la orientación de las estructuras adyacentes. Fue situado en el patio C3-8, la plataforma principal apoyando el sitio (Figuras 4.20 y 4.21).

El Lote 1 fue el nivel de humus color negro (10 YR 2/1) debajo de las lajas en el superficie que fueron parte del derrumbe de la estructura C3-3, quizás parte de una escalera para subir a la plataforma. El lote terminó 77 cm bajo el nivel del dato, que fue puesto 62.5 cm arriba de la superficie de la tierra (esquina E de la unidad). Los materiales encontrados incluyeron una bolsa mediana de cerámica y una bolsa pequeña de cuarzo.

El Lote 2 fue el derrumbe arriba del nivel del patio y el relleno debajo del piso con tierra color café amarillo oscuro (10 YR 3/4). El lote terminó 170 cm bajo el nivel del dato. El cambio de lote fue bastante profundo, y aunque no había evidencia de un piso, sí se recuperó fragmentos de estuco y es probable que el piso fue 40 cm bajo el nivel de la superficie, o 100 cm bajo el nivel del dato, pero no se dio cuenta durante las excavaciones. Además de una bolsa pequeña de estuco, se recuperaron muchos materiales, asociados con un nivel de relleno debajo del nivel de piso, incluyendo dos bolsas grandes y una bolsa mediana de cerámica, una bolsa pequeña de estuco, una bolsa pequeña de concha, un bifaz de pedernal, una punta de lanza, una bolsa mediana de pedernal, una bolsa pequeña de obsidiana, y una bolsa pequeña de cuarzo.

El Lote 3 fue otro nivel de relleno de piedras más grandes, pero no parece que fuera otro nivel de piso. El color de la tierra era café amarillo oscuro (10 YR 3/4). El lote terminó 190 cm bajo el nivel del dato con el encuentro de roca madre. La cantidad de artefactos disminuyó; solo se encontró una bolsa mediana de cerámica y un machacador de piedra para hacer papel.

Operación 3B

La sub-operación 3B fue abierta en el mismo patio, C3-8, pero más al lado este, entre las estructuras C3-4 y C3-7. El objetivo de esta sub-operación fue el mismo que la sub-operación 3A

– para encontrar una muestra de cerámica diagnóstica para entender mejor la cronología de la construcción del patio.

LS-3B-1

La Unidad 1 fue el único pozo de la sub-operación 3B, orientado al 30° azimut como la orientación de las estructuras adyacentes. La unidad midió 2 x 2 m y ocupó todo el espacio entre las estructuras C3-4 y C3-7 (Figuras 4.22-4.24).

El Lote 1 fue el nivel de humus de color rojo negro (2.5 YR 2.5/1), con piedras pequeñas de un tamaño 5 x 5 cm. El lote terminó a 84 cm bajo el nivel del dato, ubicado 81 cm arriba de la superficie de la tierra (esquina N de la unidad). Los materiales recuperados del lote incluyeron una bolsa mediana de cerámica, una bolsa mediana de concha, una bolsa pequeña de pedernal, y una bolsa pequeña de cuarzo.

El Lote 2 fue el nivel de derrumbe con tierra de color rojo muy oscuro (10 R 2.5/2). El lote terminó a 95 cm bajo el nivel del dato (esquina N de la unidad). Se encontró una línea de piedra en el lado sureste de la unidad, siguiendo el eje de la estructura C3-7, se concluyó que era parte de una escalera para subir a la estructura C3-7. Artefactos encontrados incluyeron una bolsa mediana de cerámica, una bolsa pequeña de obsidiana, y una bolsa pequeña de pedernal.

El Lote 3 fue un nivel de derrumbe bajo la primera escalinata, buscando evidencia de la segunda escalinata. La tierra era de color rojo negro (10 R 2.5/1) con piedras de tamaño 10 x 20 cm. Siguiendo con el lote 3, sí se encontró la otra escalinata, 20 cm debajo de la primera escalinata. El lote terminó a 120 cm bajo el nivel del dato (esquina N de la unidad). Los artefactos recuperados incluyeron una bolsa mediana de cerámica, una bolsa pequeña de pedernal, un fragmento mano de metate, y una bolsa pequeña de obsidiana.

El Lote 4 fue bajado en el lado noroeste de la unidad, midiendo 1 x 2 m para continuar bajo la escalinata. El lote consistió en el relleno bajo el nivel del piso (tampoco se encontró evidencia formal de un piso en esta sub-operación), con tierra de color negro (10 YR 2/1) con piedras grandes midiendo hasta 20 x 30 cm, consistente con el tipo de relleno documentado en el sitio. El lote terminó a 190 cm bajo el nivel del dato (esquina N de la unidad). Se encontraron pocos materiales, incluyendo una bolsa mediana de cerámica, una bolsa pequeña de huesos de animal, una bolsa pequeña de pedernal, una bolsa pequeña de cuarzo, y una bolsa pequeña de obsidiana.

El Lote 5 fue el último lote en la unidad, también en el lado noroeste midiendo 1 x 2 m. El lote consistió en tierra de color café oscuro (10 R 3/3) con piedras pequeñas de relleno. El lote terminó a 200 cm bajo el nivel del dato (esquina N de la unidad), cuando no fue seguro continuar más profundo. Materiales recuperados incluyeron una bolsa mediana de cerámica y una bolsa pequeña de concha.

Operación 4A

La sub-operación 4A fue situada al norte del epicentro del sitio en un lugar plano rodeado con cerritos posiblemente modificados en forma de plataformas. De hecho, bastante del sitio afuera del epicentro tiene evidencia similar, y la meta de esta sub-operación fue de establecer si estos rasgos naturales fueron utilizados como bases de estructuras efímeras de materiales perecederos. Este lugar probablemente fue un punto de acceso al epicentro, y por eso buscamos evidencia de actividades.

LS-4A-1

La unidad 1 midió 2 x 2 m y fue colocada al lado de una línea de piedras en la base de una posible plataforma. La orientación de la línea de piedras y la unidad fue 40° azimut (Figura 4.25). El objetivo del pozo fue para ver si esta línea de piedras fuera natural o cultural.

El Lote 1 consistió en un nivel muy delgado de humus color café muy oscuro (10 YR 2/2). El Lote terminó a 56 cm bajo el nivel del dato (esquina E de la unidad) – el dato fue colocado 52 cm arriba de la superficie de la tierra. No se encontraron muchos artefactos – solamente una bolsa pequeña de cerámica y una bolsa pequeña de concha.

El Lote 2 siguió la línea de piedras en el lado noroeste de la unidad, revelando que parecen naturales y no modificadas. El color de la tierra fue café amarillo oscuro (10 YR 3/4). El lote terminó a 64 cm bajo el nivel del dato (esquina E de la unidad). Artefactos recuperados incluyeron una bolsa mediana de cerámica.

El Lote 3 fue el último nivel de la unidad. El color de la tierra fue café amarillo oscuro (10 YR 3/4). El lote terminó a 75 cm bajo el nivel del dato (esquina E de la unidad). Artefactos encontrados incluyeron una bolsa pequeña de cerámica y una bolsa pequeña de obsidiana.

Aunque no se encontró mucha evidencia cultural en la sub-operación 4A, fue un éxito en establecer que las actividades de la gente de La Selva fueron limitadas al epicentro mapeado esta

temporada. Es posible que el área planada al sur del epicentro fue usada y modificada, pero sin permiso del dueño de ese terreno, no podemos estar seguro que esa parte formó el acceso al epicentro del sitio.

Reconocimiento en los Alrededores de La Selva

Ya que el epicentro del sitio de La Selva está pequeño, es necesario conducir un programa sistemático de reconocimiento en los cerros bajos al lado del valle que pasa desde el río Busiljá hasta la comunidad actual de La Selva. Mientras empezamos trabajo en el sitio de La Selva, tuvimos permiso de caminar por los terrenos adyacentes, pero sin tomar fotos ni GPS. Sin embargo, hay un montículo bien grande al sureste del epicentro de La Selva, midiendo cuatro metros de altura, y seguramente queda más para documentar en esta región, también al oeste y norte del epicentro del sitio. Con el permiso de los ejidatarios hay mucha oportunidad para continuar estas investigaciones en el futuro.

Rancho Las Palmas

Durante la temporada 2015, un ejidatario de La Selva, don Juan Carlos Pérez, nos dio el permiso de registrar unos montículos en su parcela, el Rancho Las Palmas. Este rancho se ubica 1.5 km al sureste del sitio de La Selva y 1.5 km al nordeste de la comunidad actual de La Selva. El rancho es una combinación de potrero y cerros de una altura de 20 m arriba del valle.

El sitio arqueológico de Las Palmas consiste en cinco estructuras. En el valle, hay tres plataformas habitacionales, con bastante cerámica en la superficie (Figura 4.27). Aproximadamente 100 m al norte, en la cumbre de un cerro, hay dos montículos grandes, el mayor mide quince metros de largo, diez metros de ancho, y tres metros de altura (Figuras 4.28-4.30). Este montículo está asociado con una cueva pequeña y vertical al norte. Investigamos la cueva, pero no había evidencia de materiales adentro.

Haciendo más reconocimiento en los alrededores del rancho, nos dimos cuenta de un grupo de montículos cerca, en la parcela de un don Sebastián, quien no estaba presente. Este grupo de montículos parece consistir en por lo menos diez montículos alineados formalmente (Figura 4.31). Sin permiso para investigar este rancho más cerca, no era posible dibujar un croquis, pero se tomó una foto de largo.

El reconocimiento en el Rancho Las Palmas confirme que había una presencia dispersa de gente en este valle durante el periodo Clásico Tardío, pero la búsqueda para más grupos arquitectónicos como el sitio de La Selva quedará para investigaciones futuras, con el permiso de la INAH y el ejido de La Selva.

Conclusiones

Aunque no hemos completado el análisis de la cerámica recuperada de las excavaciones de La Selva de 2015, sabemos que había ocupaciones durante el fase de cerámica Yaxche (620-750 d.C.) y quizás el fase Balche (560-620 d.C.). El análisis de cerámica completo va a ocurrir el próximo año en el laboratorio de la Universidad Autónoma de Yucatán, Mérida, bajo la supervisión de la doctora Socorro Jiménez, como parte de los estudios doctorados de Whittaker Schroder. Esos resultados van a ser presentados en informes futuros.

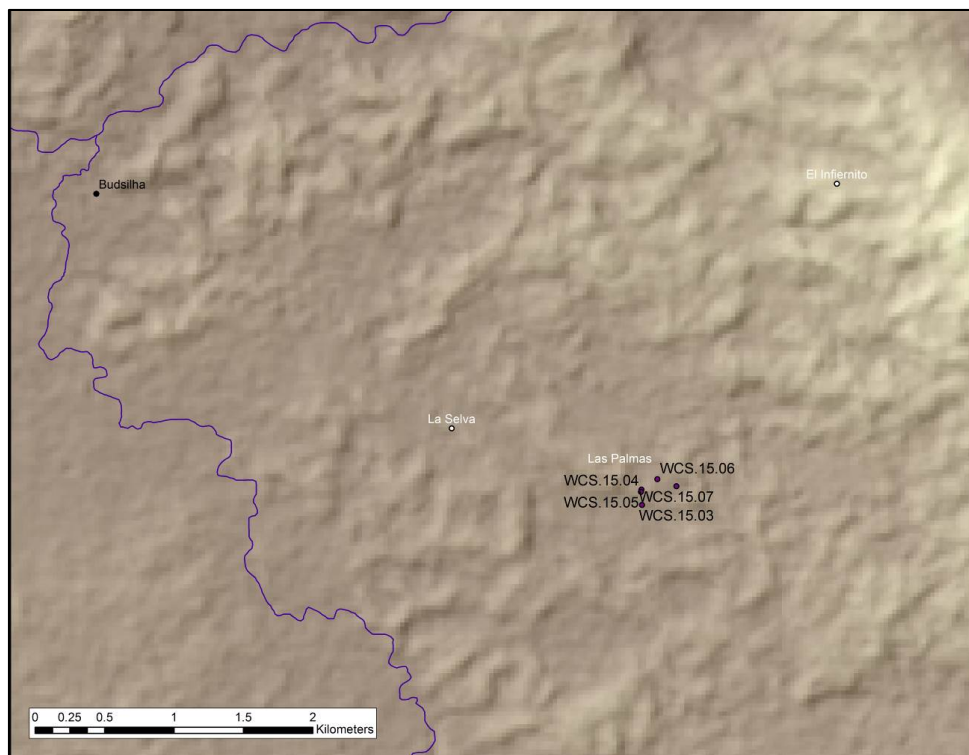


Figura 4.1 Mapa mostrando la relación geográfica entre Budsilha, La Selva, y Las Palmas (por W. Schroder).

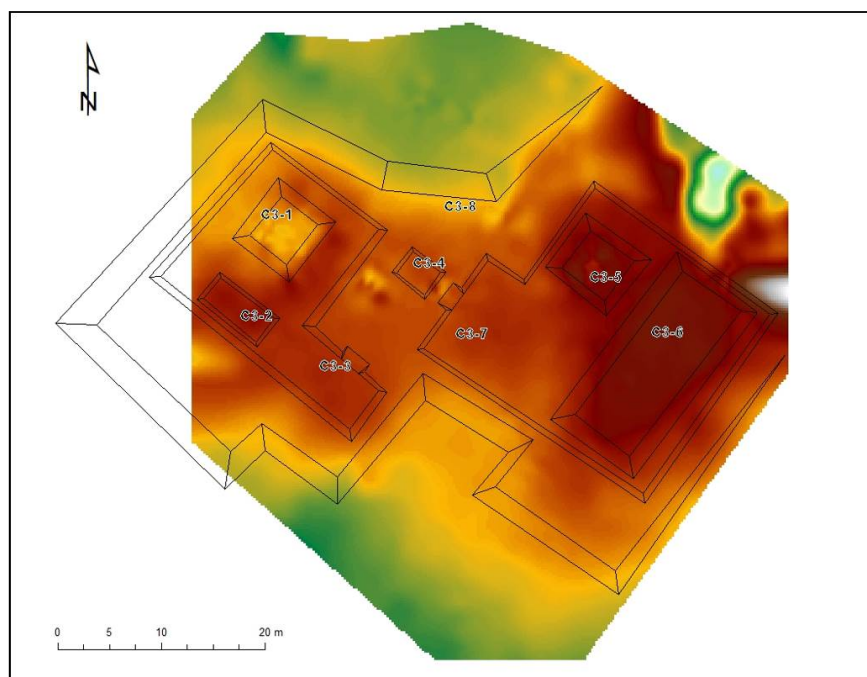


Figura 4.2 Mapa de La Selva, Chiapas, México, 2015 (por W. Schroder).

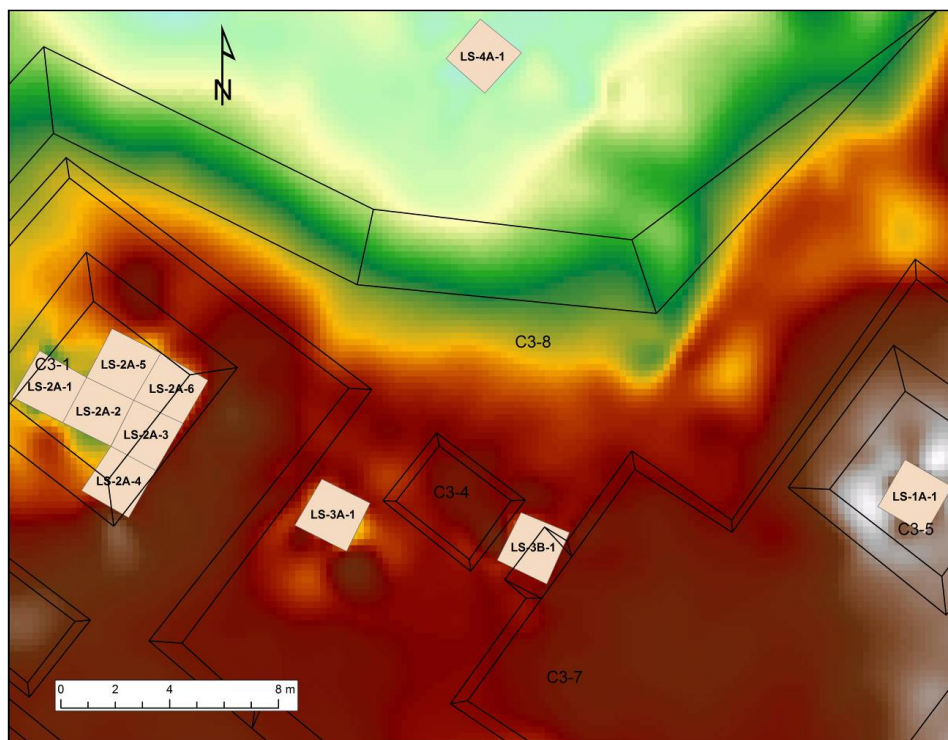


Figura 4.3 Ubicación de las unidades de 2015.

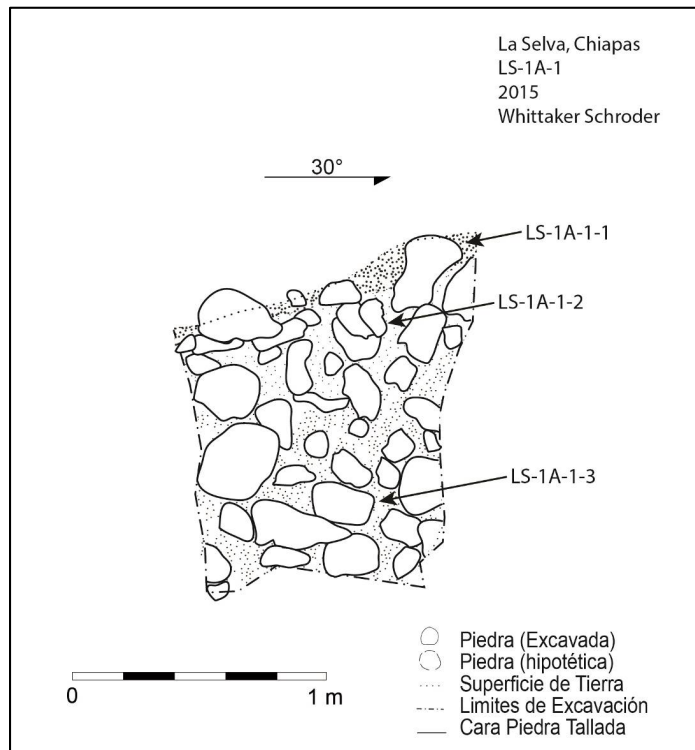


Figura 4.4 Perfil noroeste de LS-1A-1 (dibujo por W. Schroder).

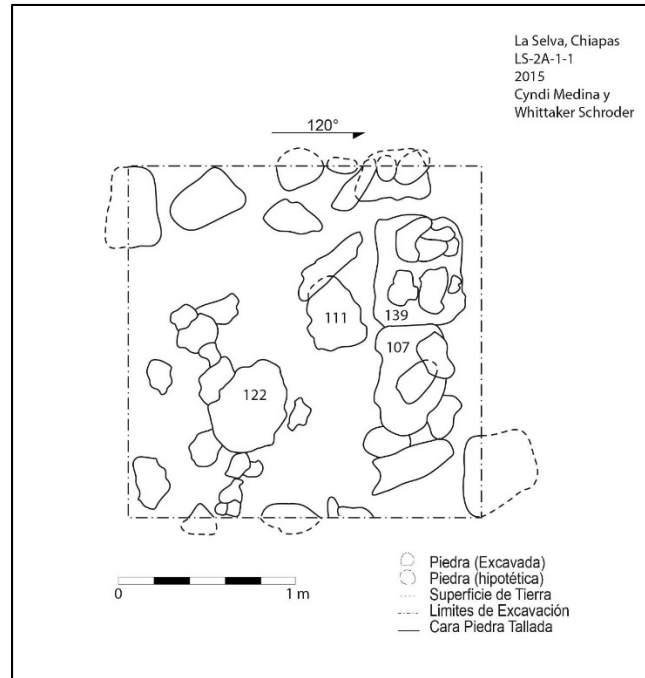


Figura 4.5 Planta de LS-2A-1-1 (dibujo por C. Medina y W. Schroder).

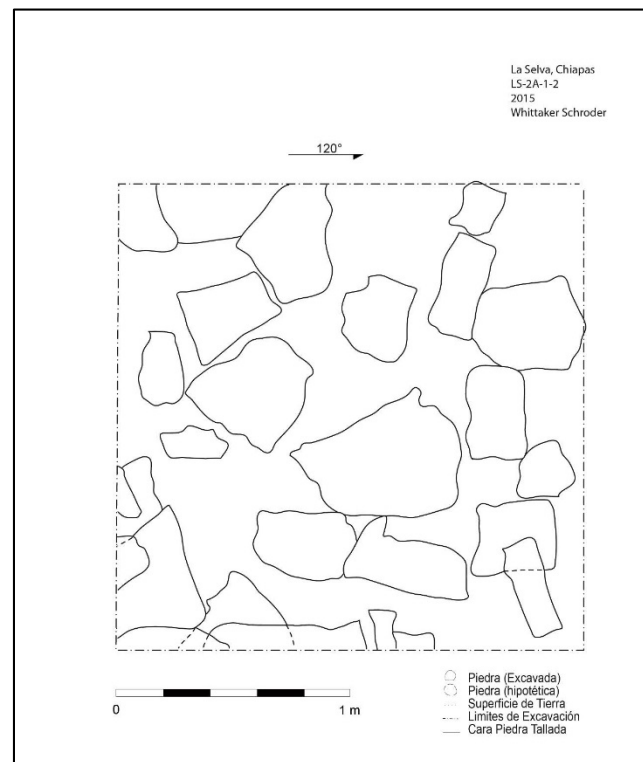


Figura 4.6 Planta de LS-2A-1-2 (dibujo por W. Schroder).

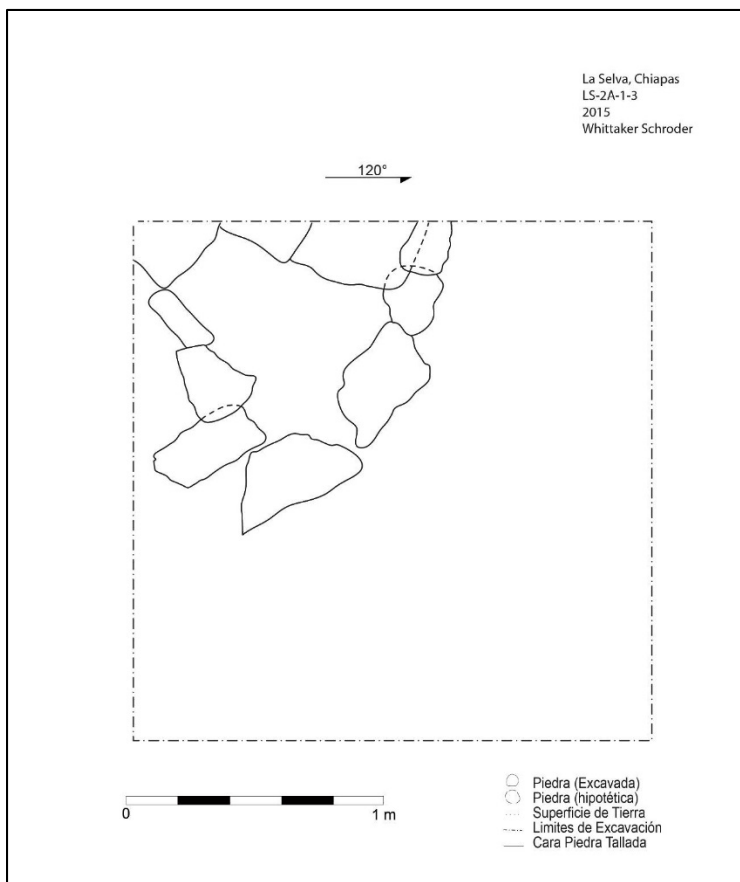


Figura 4.7 Planta de LS-2A-1-3, Entierro 2 (dibujo por W. Schroder).



Figura 4.8 Entierro 2 (foto por W. Schroder).

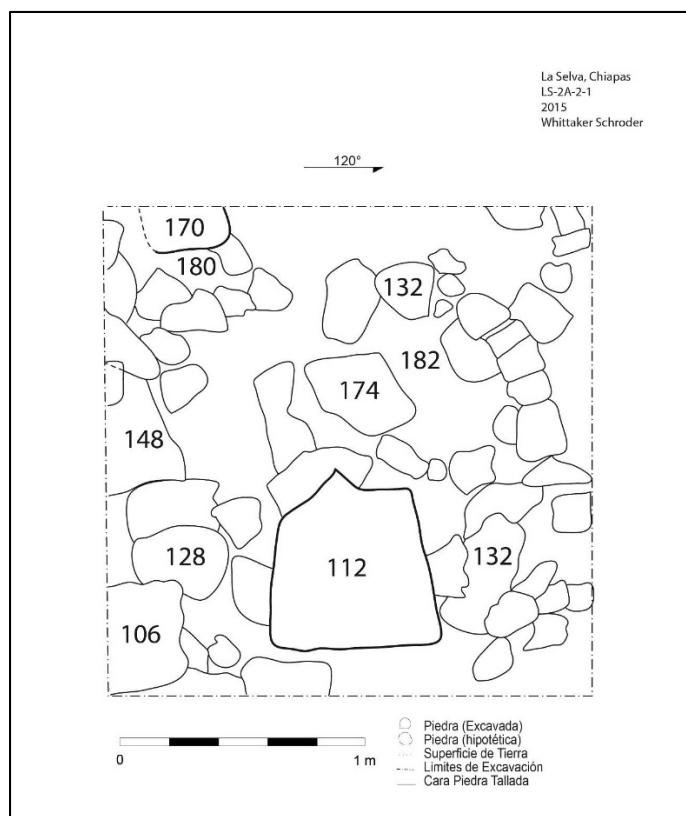


Figura 4.9 Planta de LS-2A-2-1 (dibujo por W. Schroder).



Figura 4.10 LS-2A-2-1 (foto por W. Schroder).

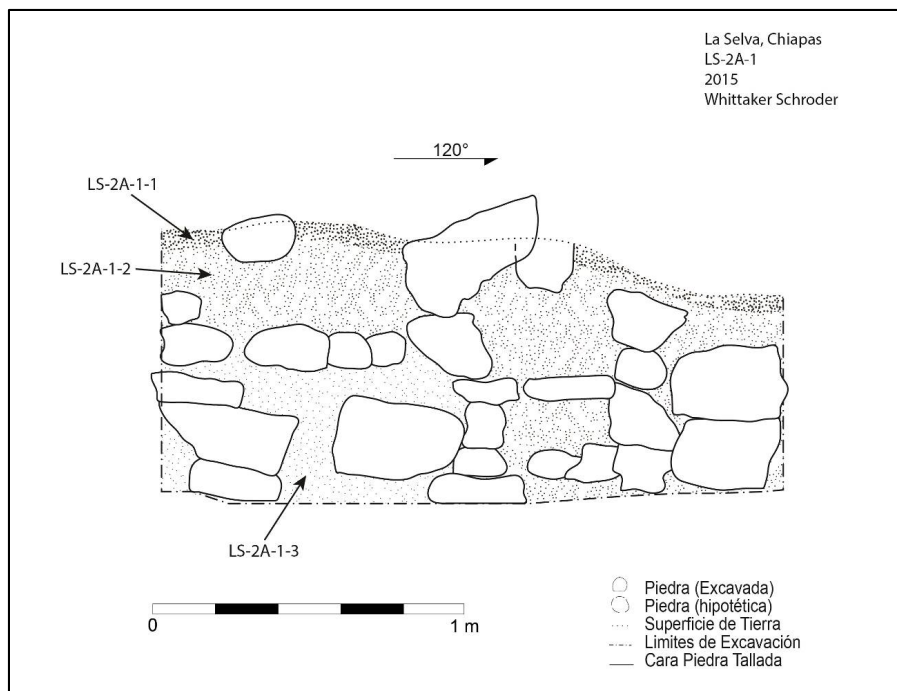


Figura 4.11 Perfil noreste de LS-2A-1 (dibujo por W. Schroder).

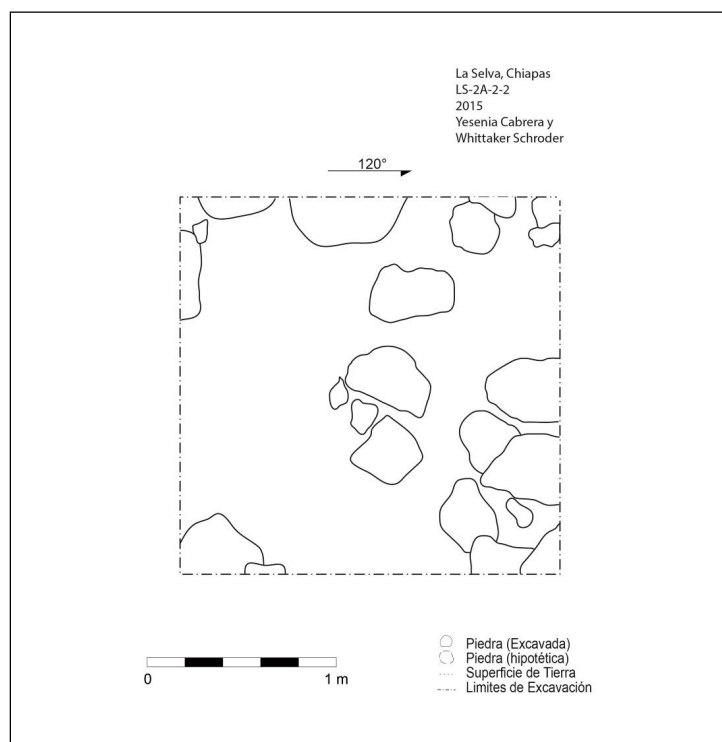


Figura 4.12 Planta de LS-2A-2-2 (dibujo por Y. Cabrera y W. Schroder).

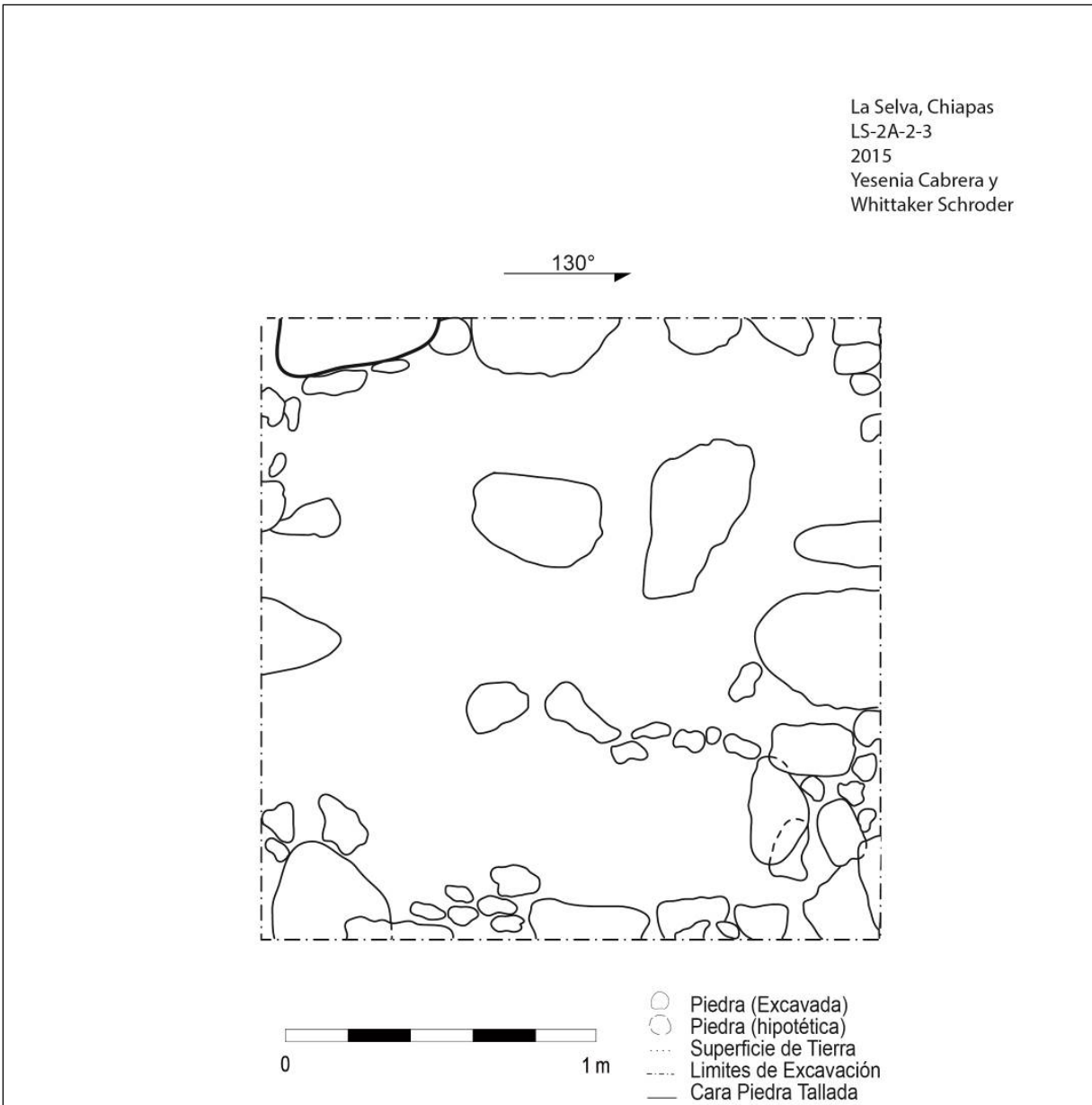


Figura 4.13 Planta de LS-2A-2-3 (dibujo por Y. Cabrera y W. Schroder).

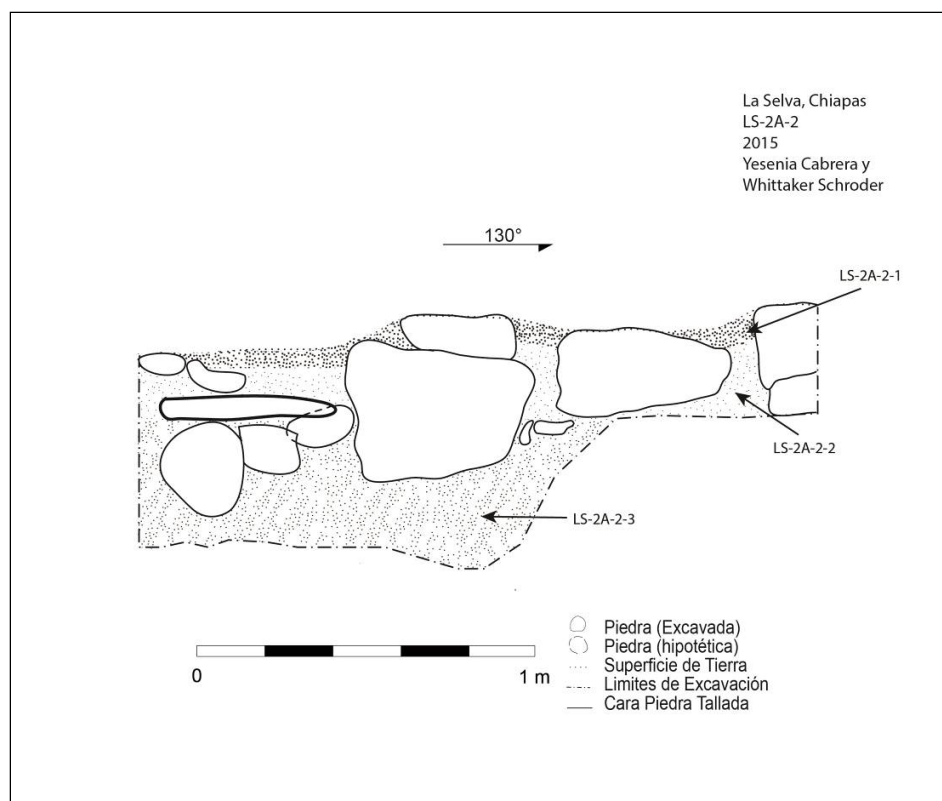


Figura 4.14 Perfil noreste de LS-2A-2 (dibujo por Y. Cabrera y W. Schroder).



Figura 4.15 Entierro 1 (foto por W. Schroder).

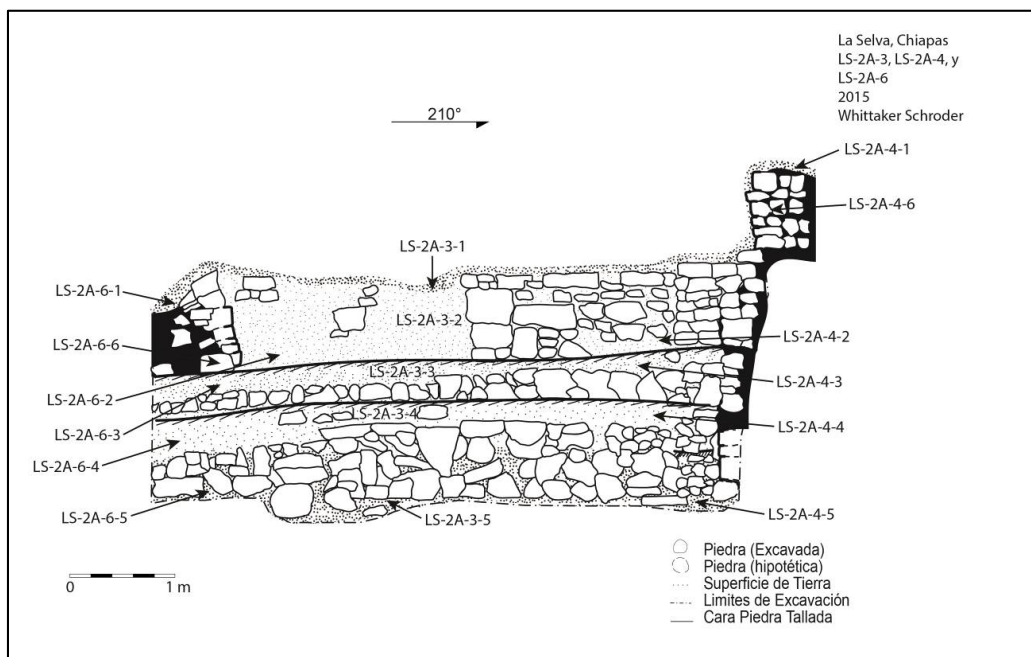


Figura 4.16 Perfil sureste de LS-2A-6, LS-2A-3, LS-2A-4 (dibujo por W. Schroder).



Figura 4.17 Perfil sureste de la estructura C3-1 (foto por W. Schroder).

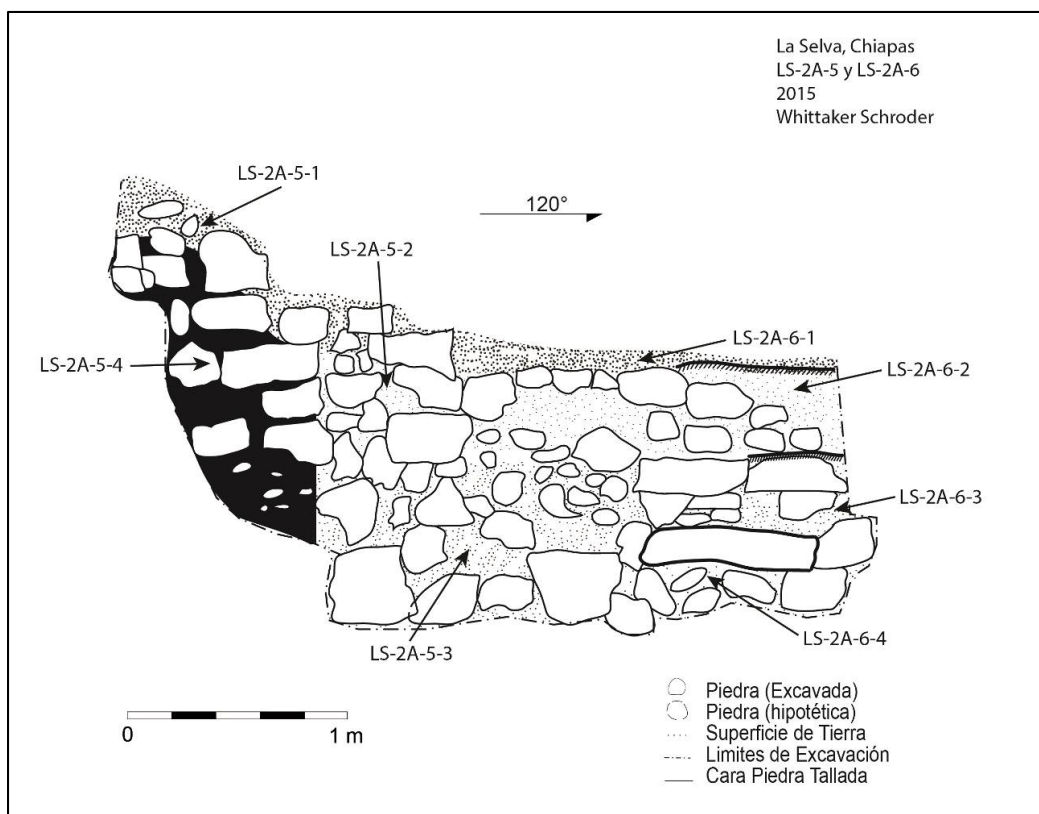


Figura 4.18 Perfil noreste de LS-2A-5, LS-2A-6 (dibujo por W. Schroder).



Figura 4.19 Perfil noreste de la estructura C3-1, Entierro 3 (foto por W. Schroder).

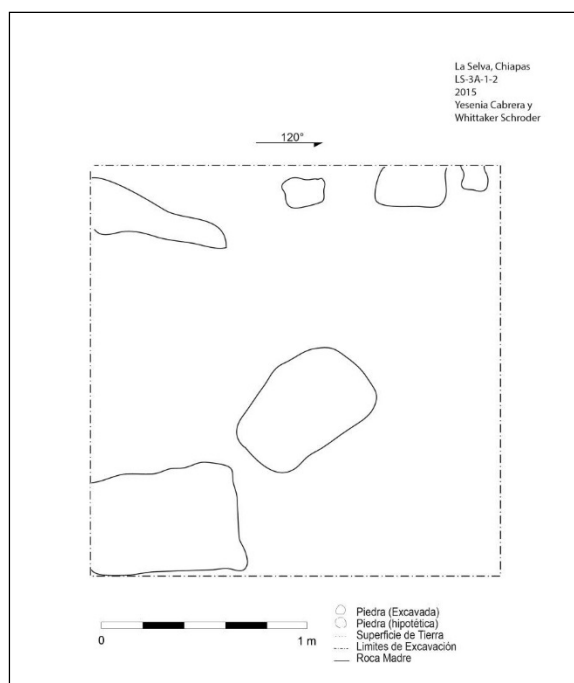


Figura 4.20 Planta de LS-3A-1-2 (dibujo por Y. Cabrera y W. Schroder).

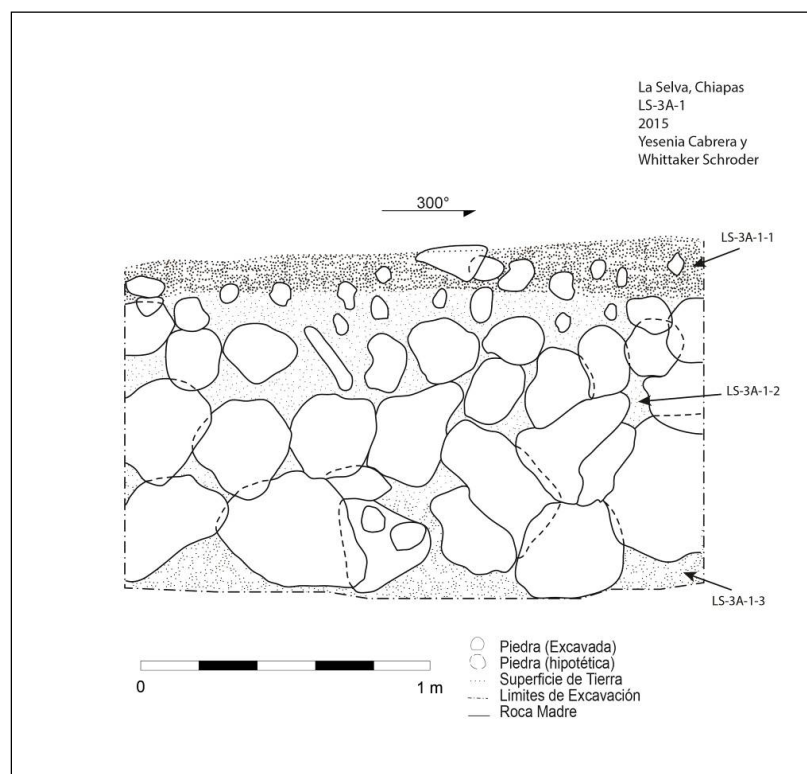


Figura 4.21 Perfil suroeste de LS-3A-1 (dibujo por Y. Cabrera y W. Schroder).

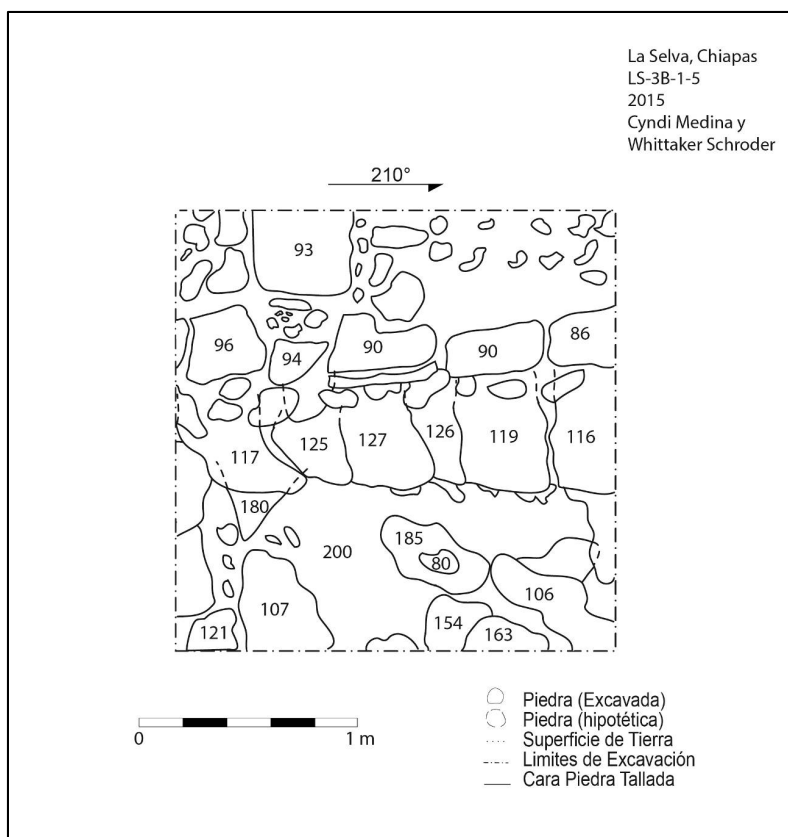


Figura 4.22 Planta de LS-3B-1-5 (dibujo por C. Medina y W. Schroder).



Figura 4.23 Escalera en LS-3B-1-5 (foto por W. Schroder).

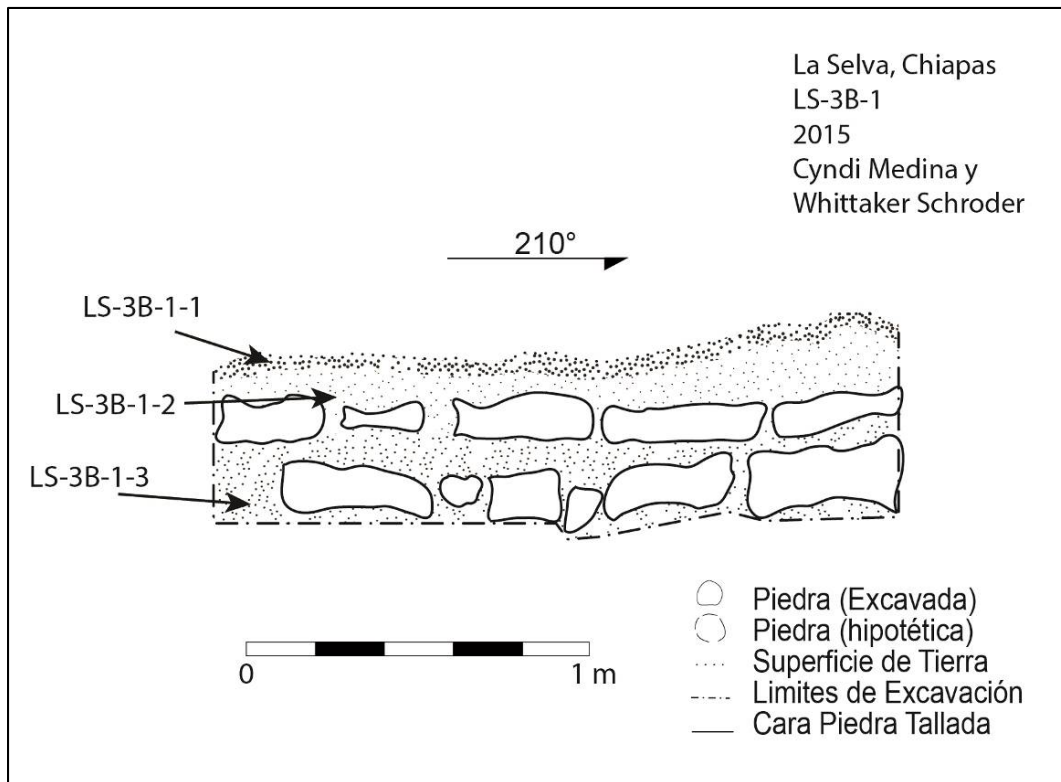


Figura 4.24 Perfil sureste de LS-3B-1 (dibujo por C. Medina y W. Schroder).

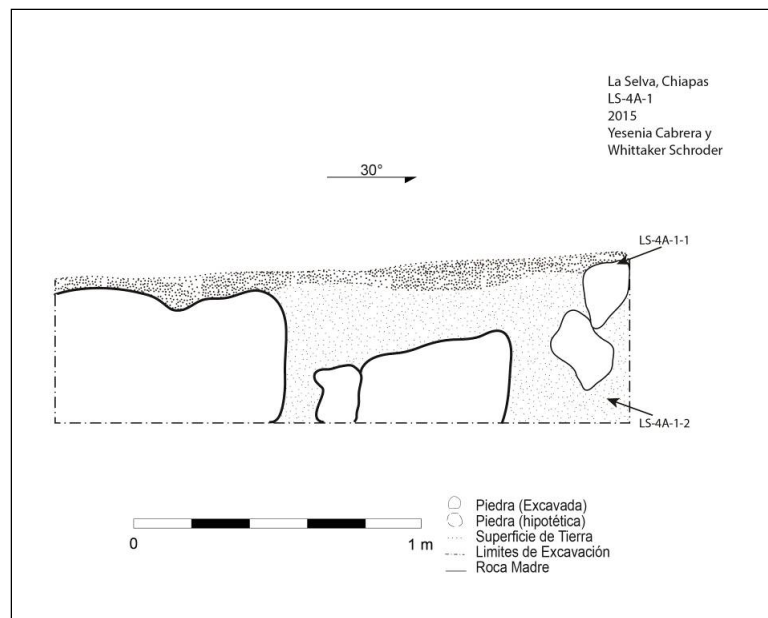


Figura 4.25 Perfil noroeste de LS-4A-1 (dibujo por Y. Cabrera y W. Schroder).



Figura 4.26 Muestra de cerámica de LS-2A-2-2 (foto por W. Schroder).

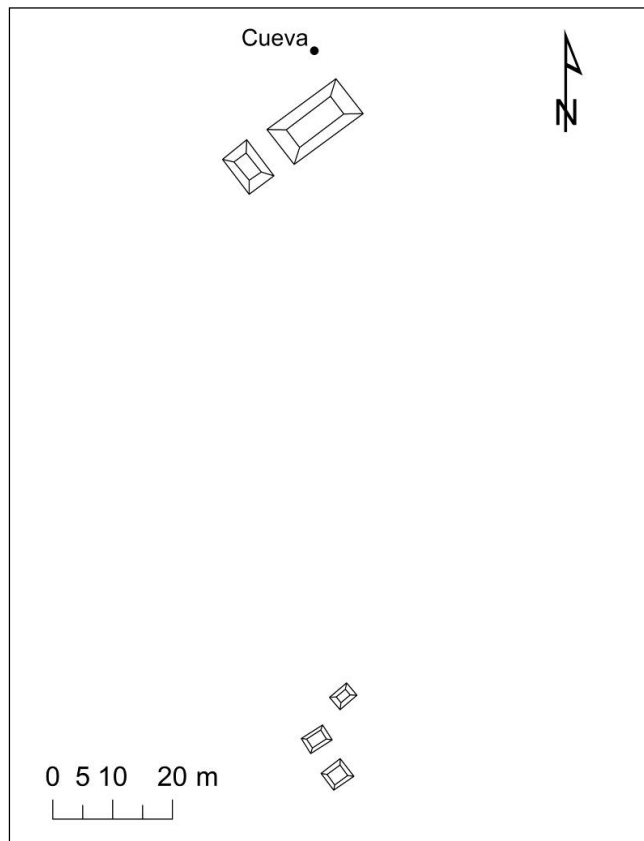


Figura 4.27 Croquis del sitio Las Palmas (por W. Schroder).



Figura 4.28 Montículo mayor en la cumbre del cerro, Rancho Las Palmas (foto por W. Schroder).



Figura 4.29 Dos montículos en la cumbre del cerro, Rancho Las Palmas (foto por W. Schroder).



Figura 4.30 Montículo en la base del cerro, Rancho Las Palmas (foto por W. Schroder).



Figura 4.31 Grupo arquitectónico en el terreno de don Sebastián, adyacente al Rancho Las Palmas (foto por W. Schroder).

CAPÍTULO 3

EL INFIERNITO: INVESTIGACIONES PRELIMINARES

Whittaker Schroder, Yesenia Cabrera Tamayo y Cyndi Medina Pimentel

Introducción

Continuando con los trabajos de reconocimiento en el ejido La Selva, tuvimos la oportunidad de conocer un sitio expansivo al norte del camino hasta Arroyo Jerusalén. Con una semana de trabajo, desde el 13 de junio hasta el 21 de junio, hicimos reconocimiento, levantamiento, y excavaciones preliminares en el Rancho El Infiernito. A continuación se describe los procesos de registro de la temporada de 2015.

Reconocimiento en el Rancho El Infiernito

El rancho está ubicado dentro del ejido La Selva, en la parcela gestionado por el señor Eric Pérez González. Acceso al rancho se encuentra en el camino hasta Arroyo Jerusalén, entre el ejido de Nueva Libertad y la bifurcación del camino hasta el ejido de La Selva. El sitio de El Infiernito queda a 4 km al nordeste de la comunidad de La Selva. El camino al sitio pasa por varias áreas de selva, milpa, y potrero hasta llegar a una serie de cerros.

El sitio de El Infiernito cuenta con varios grupos de montículos que rodean la base de un cerro, y otros patios en la cumbre del cerro (Figuras 5.1-5.5). El cerro es de una forma geográfica peculiar de un creciente, con plataformas por toda su cima (Figura 5.6). La forma del cerro con la existencia de varias cuevas y manantiales de agua sugiere que el lugar sea posiblemente parte de un cenote seco que ha colapsado parcialmente. La geografía natural del rancho divide el sitio en dos partes: la tierra baja y la tierra alta.

En la tierra baja, se identificaron tres grupos de montículos cerca al camino que sube al cerro. El primer grupo consiste en por lo menos cinco plataformas en una loma que domina el valle. Este grupo no fue investigado de cerca, pero se tomó un punto de GPS y dibujó un croquis sencillo. Al norte hay otro grupo más disperso de cuatro montículos en otra loma en el valle. Es evidente que cuando uno acerca el sitio hay varios grupos arquitectónicos que supervisaron la ruta. Es necesario continuar a investigar estos dos grupos para examinar esa posibilidad.

El último grupo en la tierra baja se encuentra en la base del cerro (Figura 5.7). En este lugar hay mejor acceso a un manantial de agua y una vista de una cueva vertical en el acantilado. Otro

rasgo natural interesante es un bloque de caliza de 3 metros de altura que se cayó del acantilado. Examinamos la cima de la roca para evidencia de ofrendas, pero no se encontró nada. Hay una capa delgada de humus encima de la roca que quizás cubre artefactos. Cerca de la roca se encuentra el montículo más grande de la tierra baja, que mide 40 m de largo, 20 m de ancho, y unos 4 m de altura (Figura 5.8). Está inmediatamente adyacente al cerro, y es probable que fue una modificación a la topografía natural. El montículo está hecho con piedra no labrada, que sugiere que fue construido en un periodo tarde. Cerca al cerro hay varias otras modificaciones al terreno, incluyendo dos muros o terrazas.

La característica única del sitio El Infiernito es que la mayoría del asentamiento continúa hasta la cumbre del cerro (Figura 5.9). Allí arriba, hay por lo menos tres patios bien preservados. Desde el primer patio hay una vista dramática de la Carretera Fronteriza de Taniperlas hasta la comunidad de Busiljá (Figura 5.10). Es obvio que este lugar sería útil para observar el movimiento de personas por aquel valle.

Subiendo más al cerro, hay bastante área plana. Aquí hay una plaza de 20 metros por 20 metros sin plataformas grandes. Más búsquedas en esta plaza quizás encontrarán evidencia de actividades rituales. Siguiendo la cumbre, se encuentran dos patios, uno bien grande con varias estructuras.

Levantamiento

El patio más grande en la tierra alta fue el foco del levantamiento de la temporada 2015. Levantamiento fue conducido con una estación total, modelo Leica. Utilizamos cuatro datos y tomamos 655 puntos topográficos en una área de 80 m por 30 m (0.24 hectáreas).

El patio mayor consiste en seis estructuras. La estructura E1-1 es el más grande y está totalmente saqueado (Figura 5.11 y 5.12). Mide 4 m de altura, y 10 m por 8 m. La estructura E1-1 fue construida encima de una plataforma (E1-3) de 2 m de altura, rodeada con una pared parcialmente preservada con estuco (Figura 5.13). Al noroeste de la plataforma hay un patio (E1-6) con dos estructuras (E1-4 y E1-5) (Figura 5.14). En el centro del patio hay un altar redondo midiendo 30 cm de diámetro (Figura 5.15). Inmediatamente al sur de este grupo hay una plaza plana donde encontramos cerámica en la superficie. Un poco más al sur está la estructura E2-1, que es realmente otra plaza plana elevada. Según una búsqueda con Google Earth, hay más asentamiento al este hasta el ejido de Las Margaritas/Masa de Juárez. En el futuro, falta bastante

reconocimiento y levantamiento en los alrededores de El Infiernito, continuando con el asentamiento en la cumbre del cerro y luego en las tierras bajas.

Excavaciones

Con el reconocimiento y el levantamiento en el Rancho El Infiernito, era necesario empezar excavaciones en el sitio, con el permiso del dueño Eric Pérez González e INAH, para entender la cronología y la función del sitio, especialmente en relación a Piedras Negras, que queda solo 8 km al nordeste. Con esa meta, buscamos evidencia de basureros para encontrar cerámica diagnóstica. También documentamos el pozo de saqueo de la estructura E1-1 para entender la forma de construcción y examinamos un hueco en la estructura E1-2 para ver su función (Figura 5.16 y 5.17).

Operación 1A

Esta operación se llevó a cabo al lado del patio E1-6, en una esquina donde encontramos bastante cerámica en la superficie. Por esa razón, decidimos abrir un pozo de sondeo para averiguar que ese lugar fue un basurero.

IN-1A-1

La Unidad 1 midió 2 x 2 m, orientada a 50° azimut. La unidad se ubicó en el eje principal N de E de la estructura E1-6 y las otras estructuras del sitio (Figuras 5.18-5.20).

El Lote 1 consistió en el nivel de humus negro (10 YR 2/1) y terminó a 114 cm bajo el nivel del dato, ubicado 93 cm arriba de la superficie de la tierra (esquina NE de la unidad). El suelo y los artefactos eran bastante quemado, probablemente en un evento natural reciente. La cantidad de cerámica fue sorprendente: se obtuvo dos bolsas grandes y dos bolsas medianas de cerámica. También se encontró tres navajas de obsidiana, una bolsa pequeña de lascas de pedernal, una bolsa pequeña de concha, un fragmento de metate, y dos puntas de lanza.

El Lote 2 consistió en tierra de color negro (10 YR 2/1), que terminó a 131 cm bajo el nivel del dato (esquina E de la unidad). En el lado nordeste de la unidad se encontró un línea de piedras paralela con la estructura E1-6, representando probablemente una escalera que subió al patio. Los artefactos recuperados incluyeron cuatro bolsas grandes y una bolsa mediana de cerámica, dos navajas de obsidiana, un fragmento de un espejo de piedra serpentina, una bolsa mediana de estuco,

dos fragmentos mano de metate, una bolsa mediana de lascas de pedernal, y tres puntos de lanza.

El Lote 3 era el nivel bajo la escalera y consistió en tierra con relleno de piedras de color negro (10 YR 2/1), todavía quemada. Este lote se terminó a 178 cm bajo el nivel del dato (esquina E de la unidad). Los artefactos encontrados fueron tres bolsas grandes y una bolsa mediana de cerámica, una bolsa mediana de lascas de pedernal, y una estalactita.

El Lote 4 era un nivel de tierra y relleno de piedras grandes midiendo 30 x 30 cm. El suelo todavía tenía el color negro (10YR 2/1). Este lote se terminó a 193 cm bajo el nivel del dato (esquina E de la unidad), encontrando la roca madre. Se encontró poco material, incluyendo una bolsa mediana de cerámica y una lasca de pedernal.

Operación 2A

La existencia de un gran asentamiento encima de un cerro sugiere que había alguna forma de colectar agua. Aunque hay un manantial de agua en la base del cerro, es probable que existan cisternas en la cumbre del cerro para el almacenamiento pluvial. Para explorar esa posibilidad, la operación 2A, fue abierto para investigar un hueco en la estructura E1-2 para ver el origen de ese rasgo. La investigación del rasgo resultó con dudas de la función del hueco, pero es seguro que no era una cisterna.

IN-2A-1

Esta unidad se realizó encima de un hueco midiendo 50 cm de diámetro en la estructura E1-2. Para investigar su función, se hizo un pozo de 2 x 2 m, orientado a 50° azimuth, siguiendo el eje principal de la estructura (Figuras 5.21 y 5.22).

El Lote 1 fue el nivel de humus arriba de la posible cisterna. Consistió en tierra color café muy oscuro (10 YR 2/2). El lote se terminó cuando las piedras del rasgo fueron limpiados, 42 cm bajo el nivel del dato, ubicado 39 cm arriba de la superficie de la tierra (centro de la unidad). Desde la esquina este de la unidad, el lote se terminó 21 cm bajo el nivel del dato, ubicado 19 cm arriba de la superficie de la tierra. Se registraron una bolsa mediana de cerámica y un fragmento de una mano de metate.

El Lote 2 fue la excavación del nivel de derrumbe adentro del rasgo circular de 50 cm de diámetro. Consistió en tierra color café muy oscuro (10 YR 2/2). La meta del lote era determinar si las paredes del rasgo continuaran más profundo. La excavación terminó después de un nivel

arbitrario de 20 cm; el centro del lote midió 62 cm debajo del dato. Se encontraron pocos materiales, incluyendo una bolsa pequeña de cerámica y un fragmento de mano de metate quemada.

El Lote 3 continuó la excavación del interior del rasgo, siguiendo niveles arbitrarios. Consistió en derrumbe y tierra color café muy oscuro (10 YR 2/2). El lote se terminó cuando no era posible bajar por la razón de una piedra grande debajo del rasgo, 67 cm debajo del nivel del dato. No se recuperaron artefactos.

El Lote 4 era el nivel de derrumbe debajo del humus, afuera del rasgo circular. El color de la tierra era café muy oscuro (10 YR 2/2). No se encontró más evidencia de un rasgo de piedra, pero sí había bastante material, incluyendo una bolsa grande y una bolsa mediana de cerámica, una bolsa de pedernal (incluyendo quizás un peso para sedal de pescar), una bolsa de concha, un malacate de cerámica inciso con un diseño cuadripartido (Figura 5.23), una bolsa de fragmentos de casco de tortuga quemado (Figura 5.24), dos navajas de obsidiana, y una bolsa pequeña de estuco. Aunque no se encontró un piso formal, es probable que este nivel fuera un nivel de piso de la estructura E1-2 por la presencia de estuco y tanto material. Por esta razón, el rasgo investigado quizás fue dejado por la caída de un árbol, dejando un hueco. Con ese descubrimiento, decidimos terminar el pozo, terminando 53 cm bajo el nivel del dato (esquina E de la unidad).

Operación 2B

Esta sub-operación fue localizada en la estructura principal del grupo, E1-1, y consistió en seis unidades. Estas unidades siguieron el gran pozo de saqueo, y solo trataba de limpiar las paredes para dibujar perfiles (Figura 5.25). Estos dibujos solo son investigaciones preliminares, y la información recuperada está incluida en los dibujos. El pozo de saqueo tiene dos niveles – el primero fue bajar por el montículo al nivel del piso, y el otro nivel fue 1.5 m debajo de ese piso al fondo de la pared que rodea la plataforma E1-3. No se recuperaron artefactos en contexto.

IN-2B-1

La Unidad 1 fue la limpieza del perfil noreste del pozo de saqueo, el nivel debajo del piso. Los cambios de suelos están notados en el dibujo de perfil. Debajo del nivel de humus (IN-2B-1-1), hay el nivel del muro que rodea la plataforma E1-3 (IN-2B-1-2) y el nivel del piso interior de la estructura E1-1 (IN-2B-1-3). El nivel final es el relleno debajo del piso, que consiste en piedras

grandes e irregulares (Figura 5.26).

IN-2B-2

La Unidad 2 está ubicada al lado sureste de la Unidad 1 y sigue el mismo nivel de saqueo debajo del piso interior de la estructura E1-1. El perfil también tiene evidencia del piso y el relleno debajo. Al lado este de la unidad, continúa la pared de la plataforma E1-3.

IN-2B-3

La Unidad 3 está ubicada en medio del pozo de saqueo, entonces no tiene perfil. Este pozo no fue excavado esta temporada pero fue colocado para simplificar la forma de numerar las unidades.

IN-2B-4

La Unidad 4 está ubicada al sureste de la Unidad 3 y fue colocado para limpiar y documentar el perfil sureste del pozo de saqueo arriba del piso interior de la estructura E1-1. Este perfil muestra evidencia del nivel del piso y el relleno arriba para construir el montículo (Figura 5.27).

IN-2B-5

La Unidad 5 fue colocada para limpiar el perfil noreste del pozo de saqueo, arriba del nivel de piso. La unidad está ubicada al noreste de la Unidad 3. Este perfil representa el último nivel de relleno arriba del piso interior de la estructura E1-1. Según los cambios de suelo, hay un lote de relleno (IN-2B-5-2) debajo del humus (IN-2B-5-1) (Figura 5.28).

IN-2B-6

La Unidad 6 fue establecida para limpiar los perfiles noreste y sureste del nivel arriba del piso del pozo de saqueo. El perfil noreste es una continuación de la Unidad 5, y el perfil sureste preserva el nivel de piso y una pared interior de la estructura E1-1. Una sección más alta de la pared se ha colapsado y se ha caído hasta el fondo del pozo de saqueo.

Detección Remota

Queda mucha oportunidad para entender los asentamientos de la región alrededor de El Infiernito, hasta el ejido de Margaritas/Masa de Juárez y Piedras Negras, Guatemala. Usando una combinación de SIG e imágenes de satélite de Google Earth, podemos generar unas hipótesis sobre la función del asentamiento en el cerro.

Es evidente que la ubicación del sitio El Infiernito en la cumbre de un cerro sería una posición bien defensiva y estratégica para observar el paisaje. Pero la orientación del cerro donde está localizado El Infiernito no parece dar una buena vista hasta el noreste o el este (Figura 29), en la dirección a Piedras Negras. La razón por la incapacidad de ver hasta esa dirección es porque hay un cerro largo y más alto entre El Infiernito y Masa de Juárez que oscurece esa vista (Figura 30). En contraste, hasta el noroeste, oeste, suroeste, y sur, no hay barrera para ver (Figura 31). De hecho, desde El Infiernito, es posible ver casi todo el valle entre Flores Magón y Nuevo Francisco León.

Por esa razón, es probable que El Infiernito era un sitio defensivo durante el periodo Clásico Tardío, según las muestras actuales recuperadas durante la temporada 2015 (Figuras 32 y 33). Más trabajos en el futuro pueden examinar esa posibilidad y buscar más asentamiento alrededor del cerro. Con el permiso de la INAH, el ejido La Selva, y ojala los ejidos Margaritas/Masa de Juárez y Río Osumacinta, hay bastante oportunidad para investigar esta región.

Conclusiones

Según el análisis preliminar de cerámica encontrada en El Infiernito esta temporada, sabemos que había por lo menos dos componentes de asentamiento distintos. El primero era durante el periodo Preclásico Tardío, según la presencia de cerámica de las fases Abal (300 a.C.-175 d.C.) y Pom (175-350 d.C.), y el segundo fue durante la fase Chacalhaaz (750-850 d.C.). Hay que realizar estudios más detallados el próximo año para entender la cronología del sitio. Esos datos serán presentados en informes futuros.

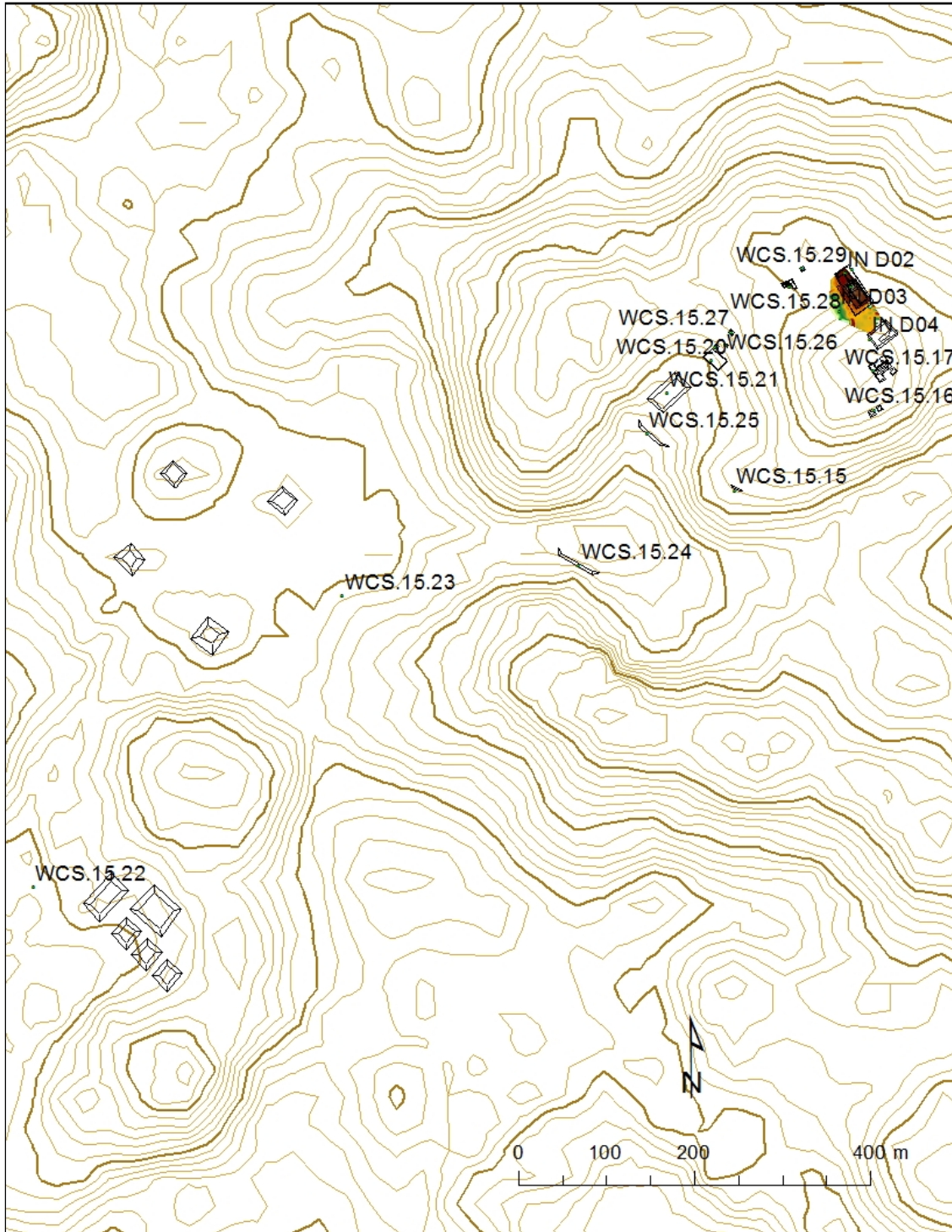


Figura 5.1 Mapa de la región de El Infiernito (por W. Schroder).

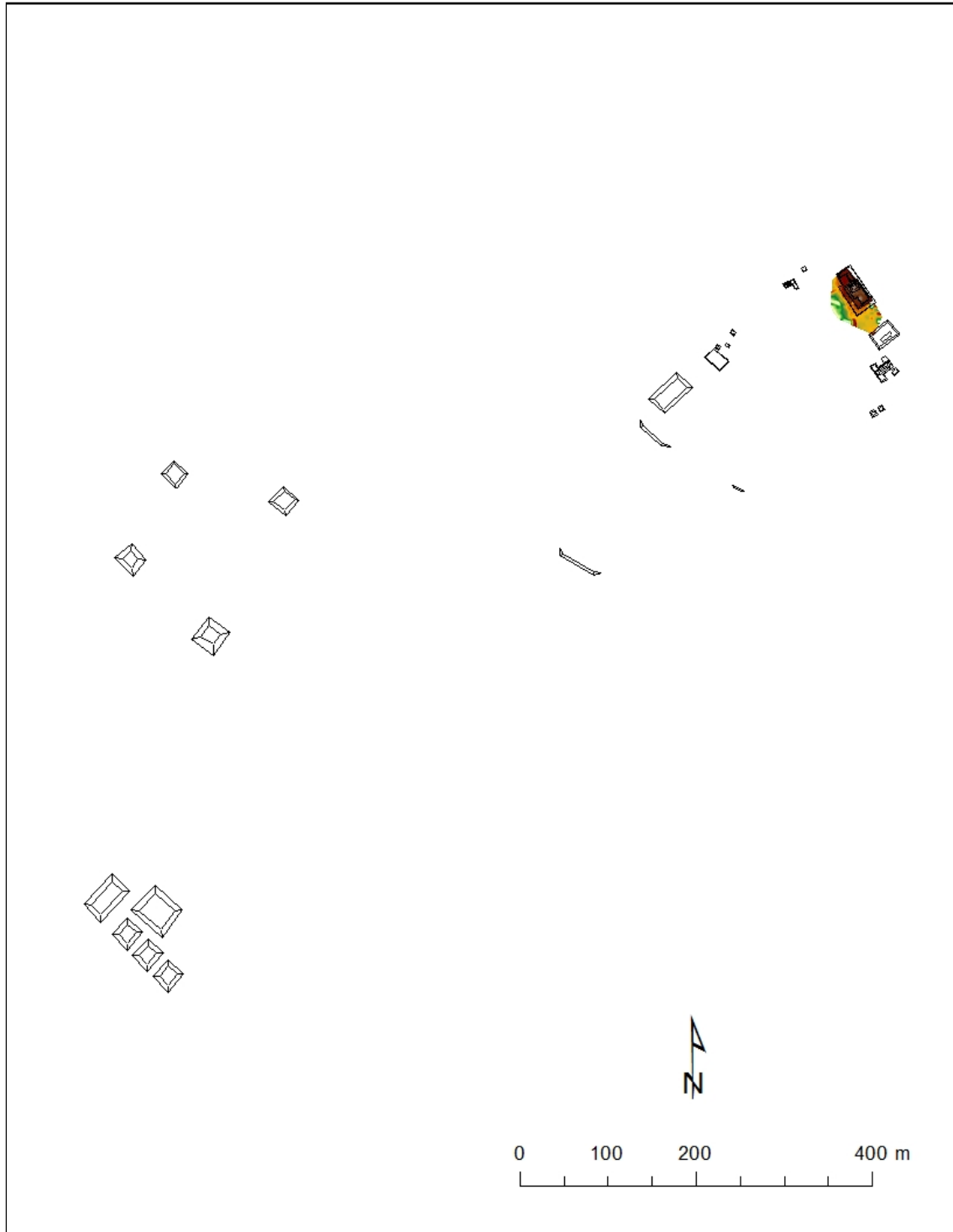


Figura 5.2 Croquis de los grupos de montículos, El Infiernito (por W. Schroder).

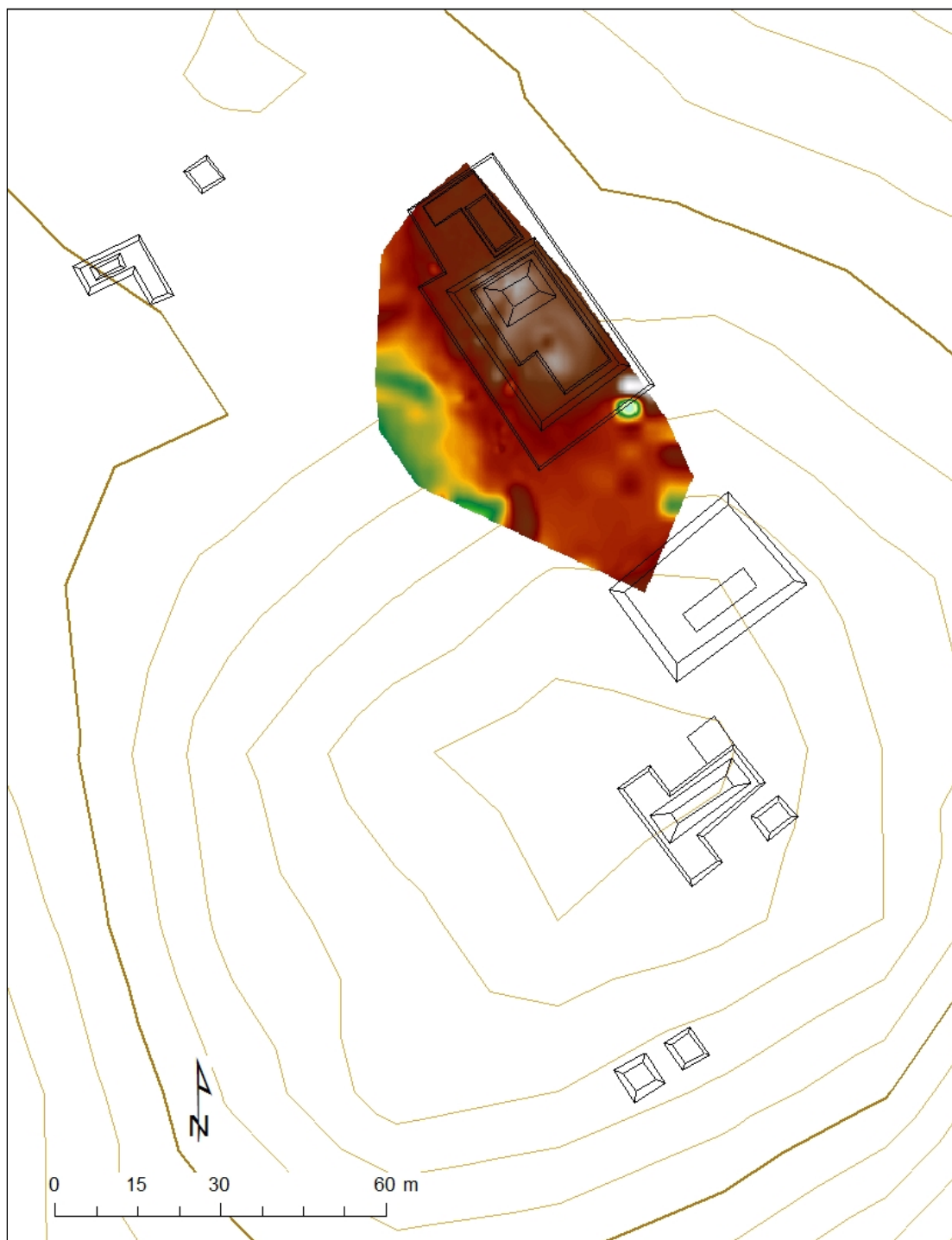


Figura 5.3 Mapa del grupo en el cumbre del cerro, El Infiernito (por W. Schroder).

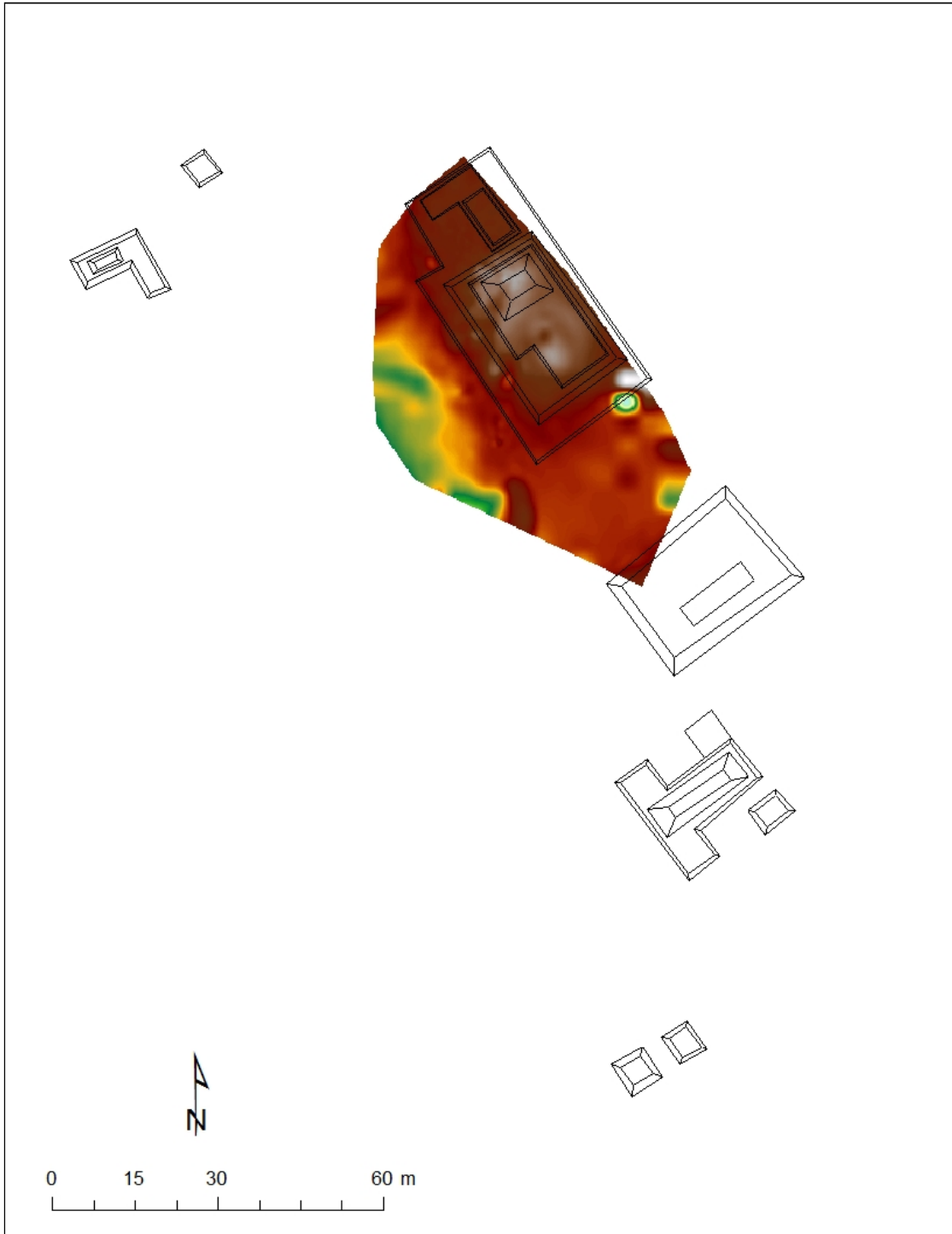


Figura 5.4 Mapa del grupo en el cumbre del cerro, El Infiernito (por W. Schroder).

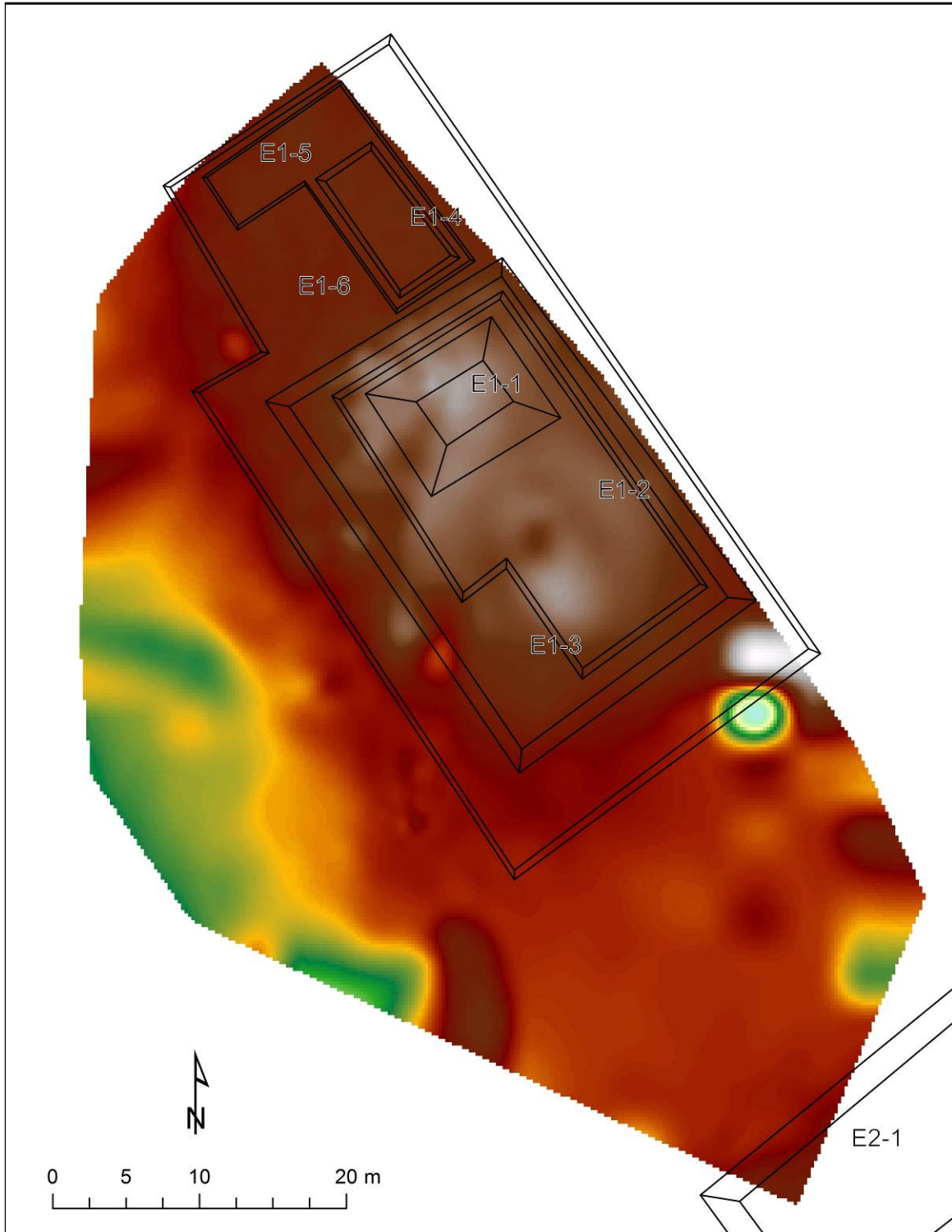


Figura 5.5 Mapa de El Infiernito, Chiapas, México 2015 (por W. Schroder, Y. Cabrera, y C. Medina).



Figura 5.6 Foto del cerro El Infiernito (centro de la foto) (por W. Schroder).



Figura 5.7 Plaza en la base del cerro (foto por W. Schroder).



Figura 5.8 Montículo en la base del cerro (foto por W. Schroder).



Figura 5.9 Montículos encima del cerro (foto por W. Schroder).



Figura 5.10 Vista del mirador, El Infiernito, Chiapas (por W. Schroder).



Figura 5.11 Estructura E1-1, El Infiernito (foto por W. Schroder).



Figura 5.12 Estructura E1-1 desde el patio E1-6 (foto por W. Schroder).



Figura 5.13 La pared que rodea la estructura E1-5 (foto por W. Schroder).



Figura 5.14 Estructuras E1-4 y E1-5 desde el patio E1-6 (foto por W. Schroder).



Figura 5.15 Altar 1 en el patio E1-6 (foto por W. Schroder).



Figura 5.16 Estructura E1-2 (foto por W. Schroder).

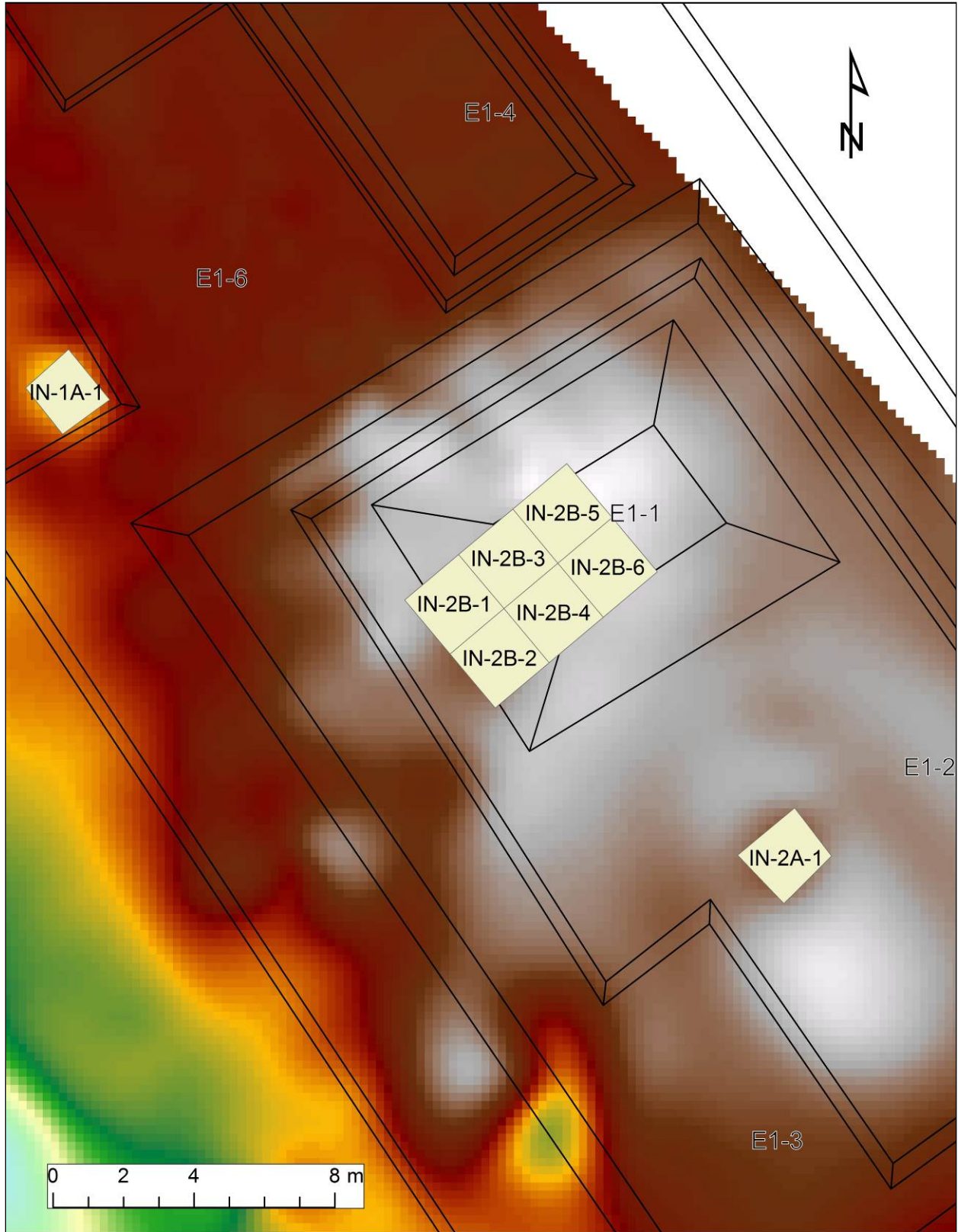


Figura 5.17 Mapa de las unidades de 2015.

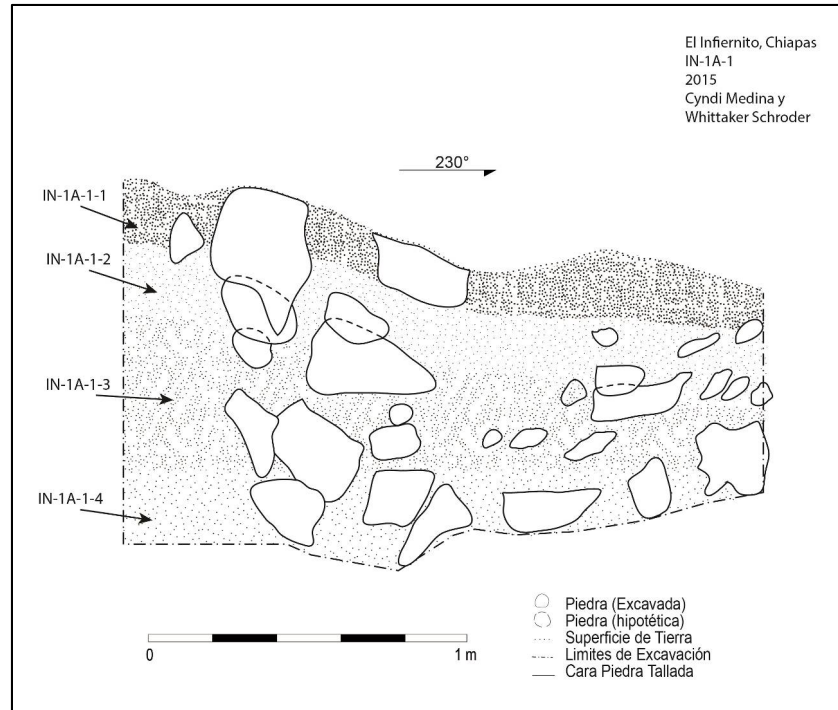


Figura 5.18 Perfil de IN-1A-1 (dibujo por C. Medina y W. Schroder).

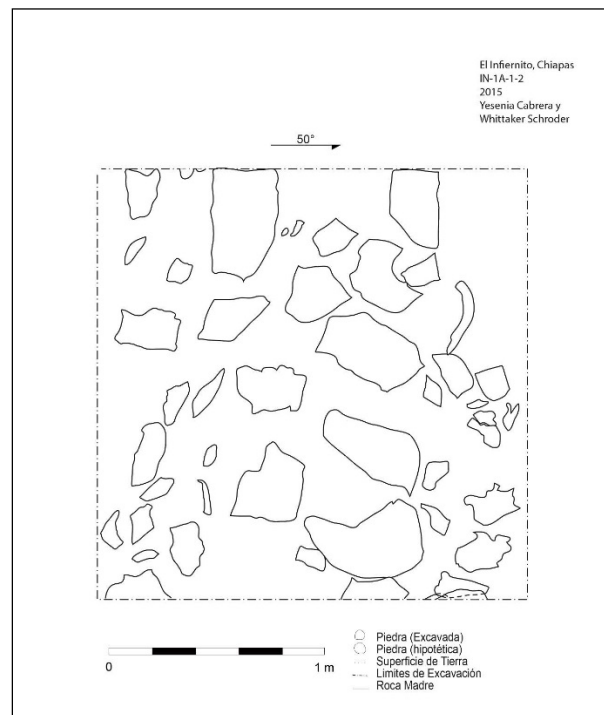


Figura 5.19 Planta de IN-1A-1-2 (dibujo por Y. Cabrera y W. Schroder).



Figura 5.20 Foto de IN-1A-1-2 (foto por W. Schroder).

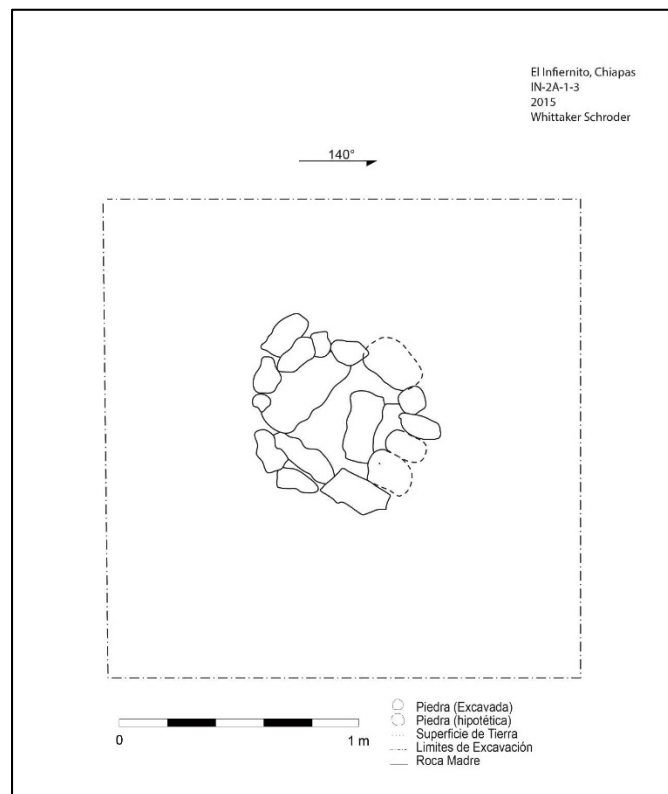


Figura 5.21 Planta de IN-2A-1-3 (dibujo por W. Schroder).

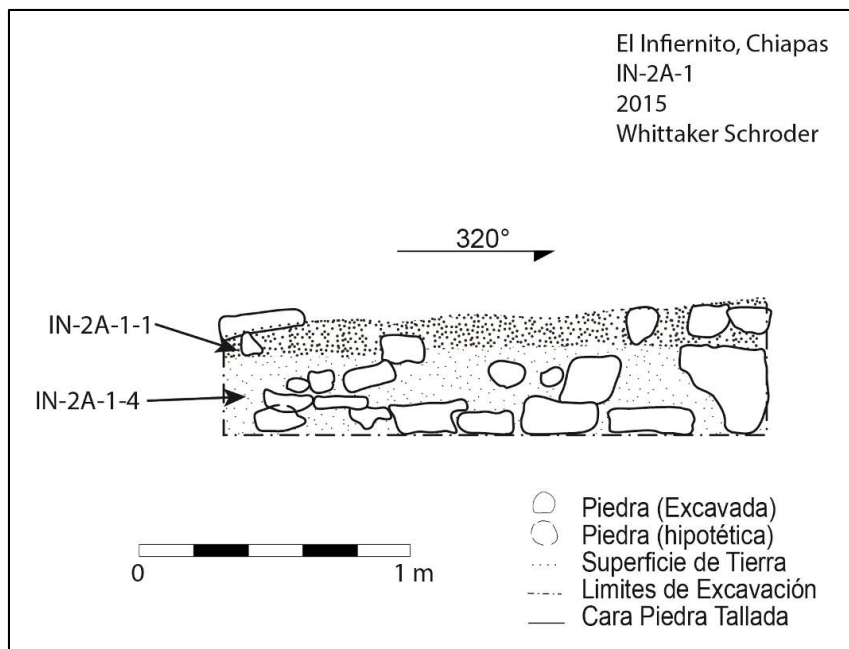


Figura 5.22 Perfil suroeste de IN-2A-1 (dibujo por W. Schroder).



Figura 5.23 Malacate encontrado en IN-2A-1-4 (foto por W. Schroder).



Figura 5.24 Huesos de tortuga encontrados en IN-2A-1-4 (foto por W. Schroder).



Figura 5.25 Interior de la estructura E1-1 mostrando los dos niveles de saqueo en la suboperación 2B (foto por W. Schroder).

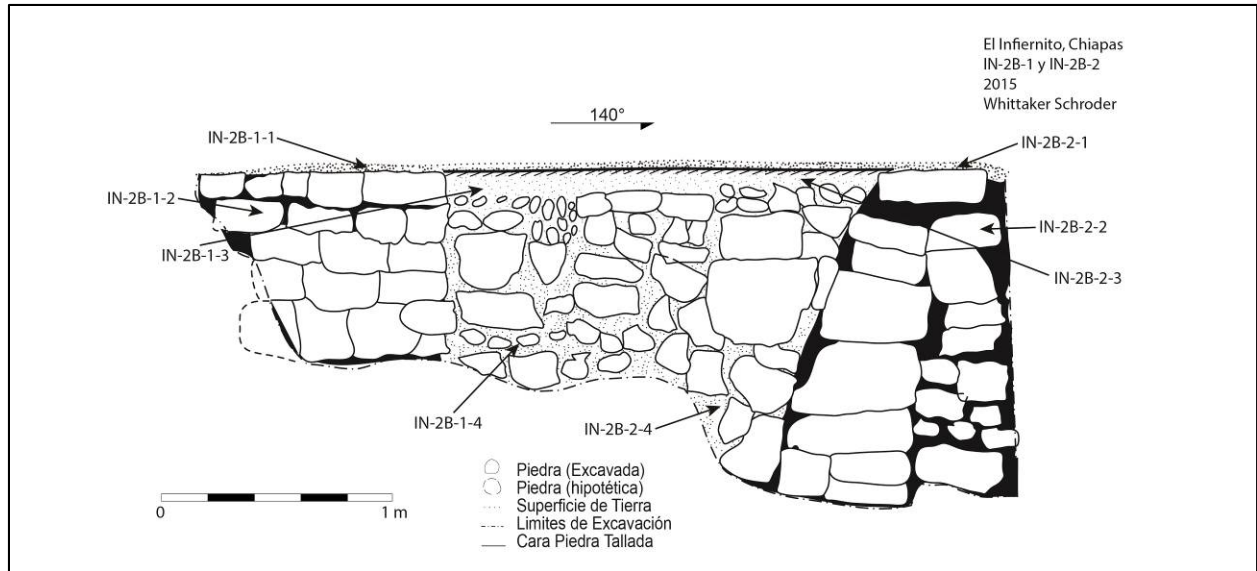


Figura 5.26 Perfil noreste de IN-2B-1 y IN-2B-2 (dibujo por W. Schroder).

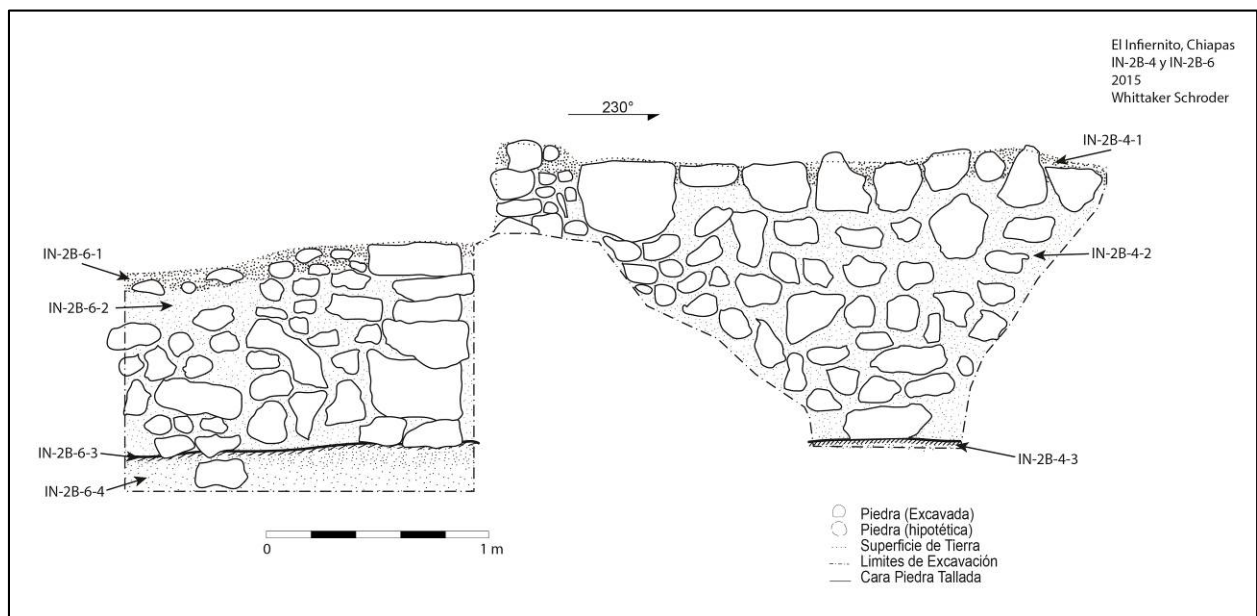


Figura 5.27 Perfil sureste de IN-2B-4 y IN-2B-6 (dibujo por W. Schroder).

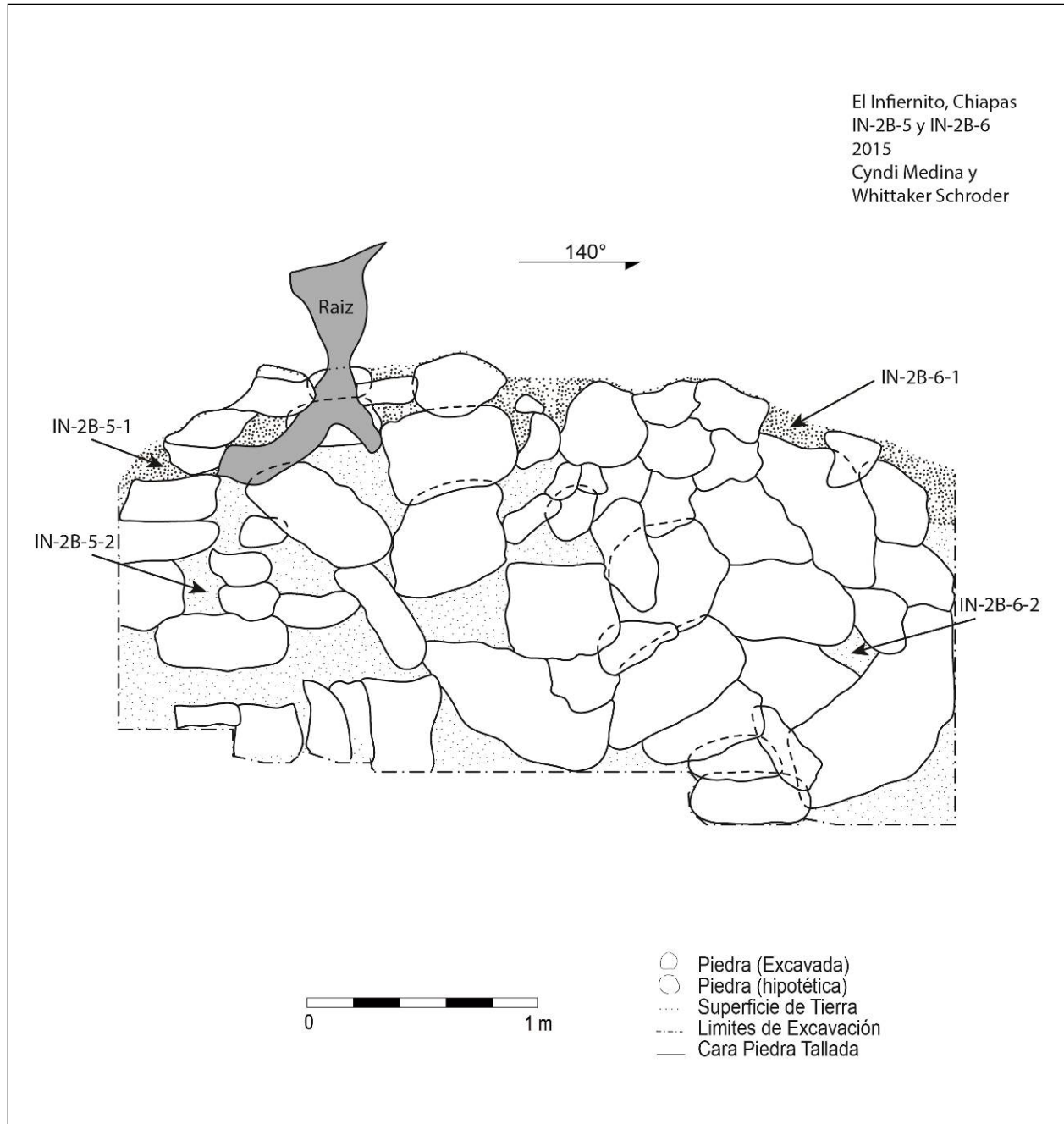


Figura 5.28 Perfil noreste de IN-2B-5 y IN-2B-6 (dibujo por C. Medina y W. Schroder).

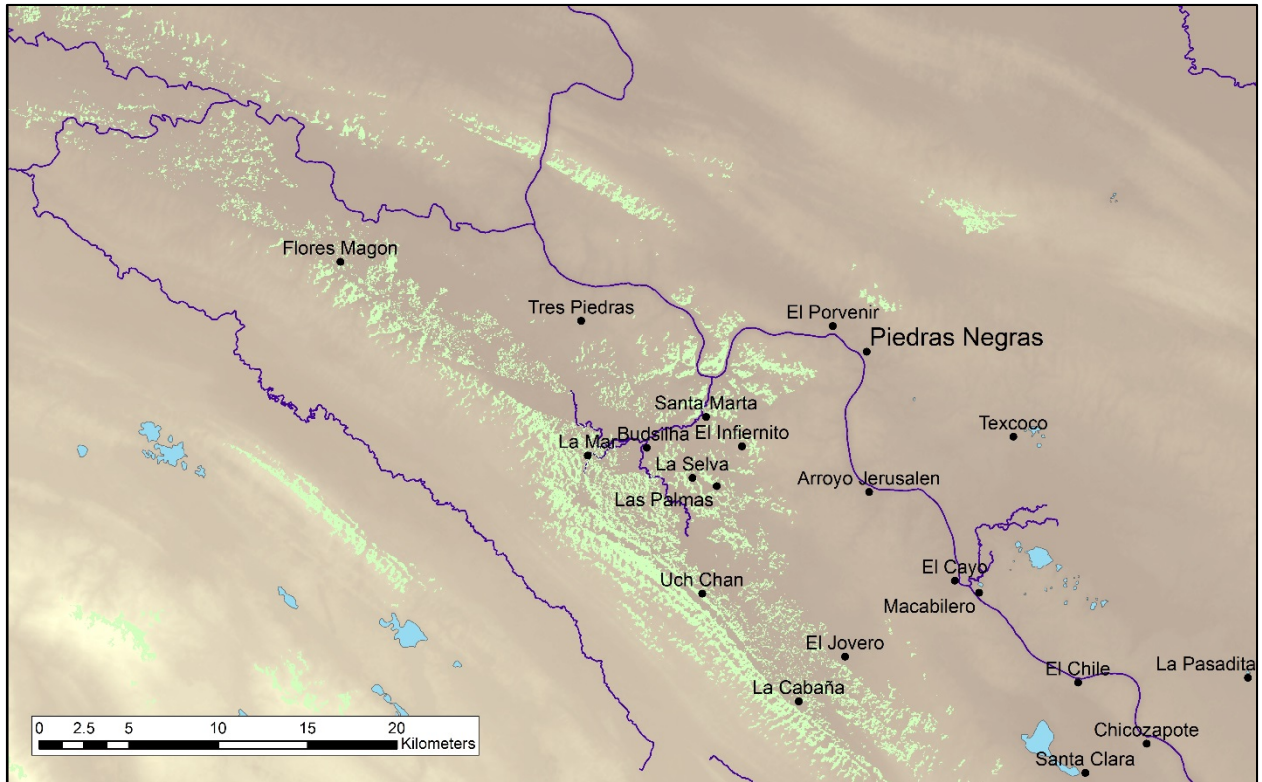


Figura 5.29 Análisis de cuenca visual del mirador de El Infiernito generado con un Modelo Digital de Elevación ASTER (mapa por W. Schroder).

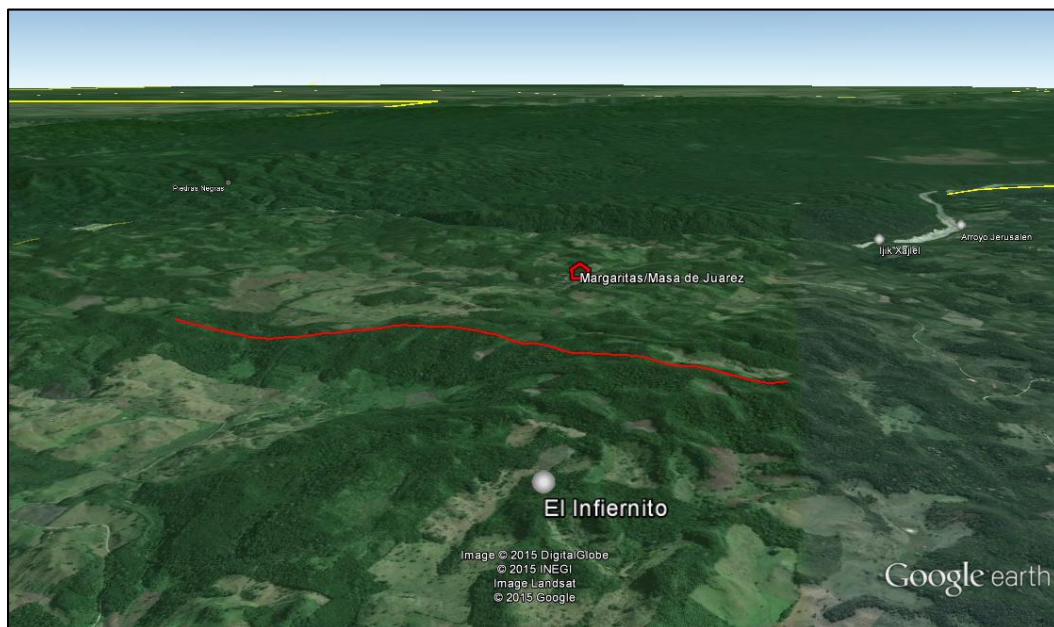


Figura 5.30 Imagen de Google Earth mostrando el cerro que bloquea la cuenca visual de El Infiernito hasta el norte y este.

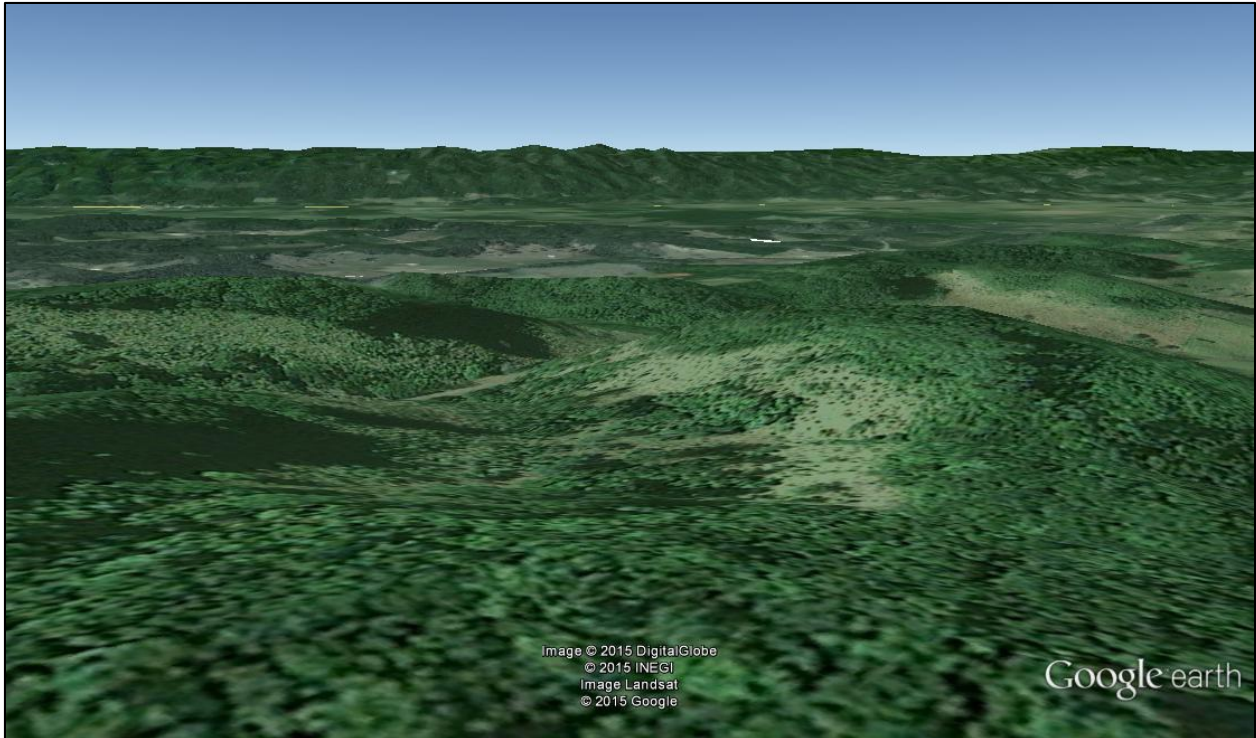


Figura 5.31 Imagen de Google Earth mostrando la cuenca visual de El Infiernito hasta el oeste.



Figura 5.32 Muestra de cerámica de IN-1A-1-3 (foto por W. Schroder).



Figura 5.33 Muestra de cerámica de IN-1A-1-2 (foto por W. Schroder).

CAPÍTULO 4

RECONOCIMIENTO ARQUEOLOGICO EN LOS RANCHOS SANTA MARTA Y TRES PIEDRAS, NUEVA ESPERANZA PROGRESISTA

Whittaker Schroder

Introducción

Durante las últimas seis temporadas, el Proyecto Arqueológico Busiljá-Chocoljá ha llevado a cabo reconocimiento en los cerros alrededor del epicentro de Budsilha con el objetivo de entender mejor el patrón de asentamiento de los sitios secundarios y terciarios de la región. Para continuar ese estudio, se obtuvo el permiso para investigar el Rancho Santa Marta de la colonia Nueva Esperanza Progresista. Dicho reconocimiento se efectuó el 13 de junio. Se tomó nota y registró con GPS cada grupo arquitectónico o rasgo cultural. También se empezó el levantamiento del epicentro con estación total. Los elementos identificados y el proceso de levantamiento se describen a continuación.

Reconocimiento del Rancho Santa Marta

El Rancho Santa Marta es la propiedad de don Andrés Reyes, y se encuentra ubicado aproximadamente cuatro kilómetros al nordeste del centro de Budsilha (Figura 6.1). El rancho está accesible por el camino a las cascadas de Busiljá desde la colonia de Nueva Esperanza Progresista. El rancho cuenta con por lo menos dos grupos menores de montículos, además de varias plataformas habitacionales esparcidos por el rancho.

Investigaciones de la temporada de 2015 se enfocaron en el grupo occidental y mayor de los dos (Figura 6.2). Este grupo consiste en un epicentro de diez montículos en un cerro ubicado 150 metros al este del Río Busiljá, dos kilómetros directamente al sur del Río Usumacinta. Alrededor de este cerro se encuentran varios cerros también con plataformas habitacionales en las cumbres (Figuras 6.3 y 6.4). Por el medio del epicentro del sitio, hay una cerca alineada desde el oeste al este, marcando el límite de la parcela de don Reyes. Sin el permiso del otro dueño, no fue posible investigar esa parte del sitio, pero sí fue posible observar que el sitio sigue en esa parcela porque la zona está deforestada.

El epicentro del sitio no parece ser formal, porque las plataformas no se forman espacio como patios o plazas. La única excepción se encuentra al lado occidental del sitio donde el

paisaje natural forma dos cerros que fueron modificados para crear una plaza grande. Aparte de esa plaza, las plataformas no están orientadas en una eje obvia.

La característica más interesante del epicentro de Santa Marta es que hay bastante espacio abierto encima del cerro donde no se encuentra rasgos culturales. Es posible que el sitio tenía una ocupación pequeña, o quizás el espacio abierto fue usado para la reunión de las poblaciones de los alrededores.

Otro rasgo interesante es que cuando el hijo del dueño, Denis Reyes, estaba limpiando el monte debajo de una de las plataformas, se encontró cuatro machacadoras para hacer papel. Con esa evidencia, es posible que Santa Marta fue no solamente un centro pequeño habitacional, pero quizás algún sitio con una función administrativa. Su ubicación al lado del Río Busiljá, entre el epicentro de Budsilha y el Río Usumacinta sería un lugar de importancia estratégica para los centros de La Mar y Piedras Negras. En temporadas futuras, se recomienda abrir un pozo en el basurero potencial encontrado por Denis Reyes a buscar más evidencia de actividades administrativas.

El otro grupo de montículos se ubica 1 km directamente al este del primer grupo. Este grupo todavía está forestado, y consiste en un cerro de 30 m más alta del valle. En este cerro hay un montículo mayor que cubre la cima y otro montículo más pequeño al norte. También hay una cueva no muy hondo en el lado del cerro donde salen bastante tiestos de cerámica. Es posible que esta cueva era una cantera pequeña para sacar piedras. Hay bastantes montículos al norte, en otro rancho, y es probable que este lugar era un asentamiento importante para controlar acceso a los ríos Busiljá y Usumacinta.

Levantamiento de Santa Marta

La parte del primer grupo de Santa Marta que queda en la parcela de don Reyes cubre bastante área, pero la arquitectura no es tan complicada. Entonces, empezamos el mapeo con cuatro datos y 514 puntos en total. La estructura más alta es la C3-1 (Figura 6.5). Al lado este de la estructura C3-1, el señor Denis Reyes encontró el basurero con las machacadoras. Es probable que esta estructura tenía alguna función administrativa por su tamaño y la evidencia de actividades de hacer papel. También siendo la estructura más alta, era posible controlar la tierra circundante.

Además de esa estructura, al lado este hay una plataforma habitacional, C3-2, todavía

encima del cerro modificado, C3-3. Directamente al suroeste de la estructura C3-1, hay una plaza grande, pero no hay evidencia de rasgos culturales (Figura 6.6). Allí, hay pura roca madre sin modificación. Al oeste del cerro modificado, hay otro cerro largo que fue convertido en una estructura de rango, B3-1, enfrente de otra plaza amplia (Figura 6.7).

Mirando imágenes satélites, está claro que hay grupos arquitectónicos más formales, orientados hasta el río Busiljá (Figura 6.8). Por esa razón, acceso al sitio y la estructura C3-1 probablemente fue desde el norte o el oeste. Por eso, el sitio tiene características en común con el sitio Boca Chinikiha, que ha sido identificado como un asentamiento portuario, donde el río Chinikiha une con el río Usumacinta. La ubicación de Santa Marta al lado del río Busilja, entre Budsilha y las cascadas de Busiljá sugiere que fue un lugar para bajar canoas antes de que empiecen las cataratas. Investigaciones futuras pueden buscar evidencia de esta posibilidad.

Reconocimiento en el Rancho Tres Piedras

El Rancho Tres Piedras es la propiedad de don Concepción Ascencio Rosado. Está ubicado 8 km al noroeste de Nueva Esperanza, cerca al camino desde el ejido Taniperlas hasta el ejido Sacrificios.

El sitio Tres Piedras consiste en dos lados de dos cerros modificados, con dos plataformas habitacionales (Figuras 6.10-6.13). Es un sitio pequeño, pero es probable que haya más plataformas habitacionales en los cerros alrededor del sitio. Según uno de nuestros informantes, había una sola estructura abovedado encima de uno de los cerros hace muchos años, pero ahora está destruido. Hicimos reconocimiento en unos cerros en la región, pero no encontramos evidencia de estructuras similares. En un cerro, había una piedra posiblemente sacada y labrada en antigüedad, pero fue dejada en su lugar y no terminada (Figura 6.14).

Aunque el sitio de Tres Piedras es pequeño, hay la necesidad de continuar reconocimiento en el área entre Taniperlas, Sacrificios, y el río Usumacinta para entender los patrones de asentamiento entre el río Busiljá y el río Chocoljá para buscar la periferia entre los sitios de Piedras Negras, Chinikiha, y Palenque.

Conclusiones

La mayoría de esta temporada enfocó en las excavaciones de sitios documentados el año pasado, pero el reconocimiento en la comunidad de Nueva Esperanza Progresista revela que hay

bastante prospección arqueológica para continuar. Con el permiso de la gente de Nueva Esperanza Progresista, esperamos tener más oportunidad de estudiar esta región en años posteriores.

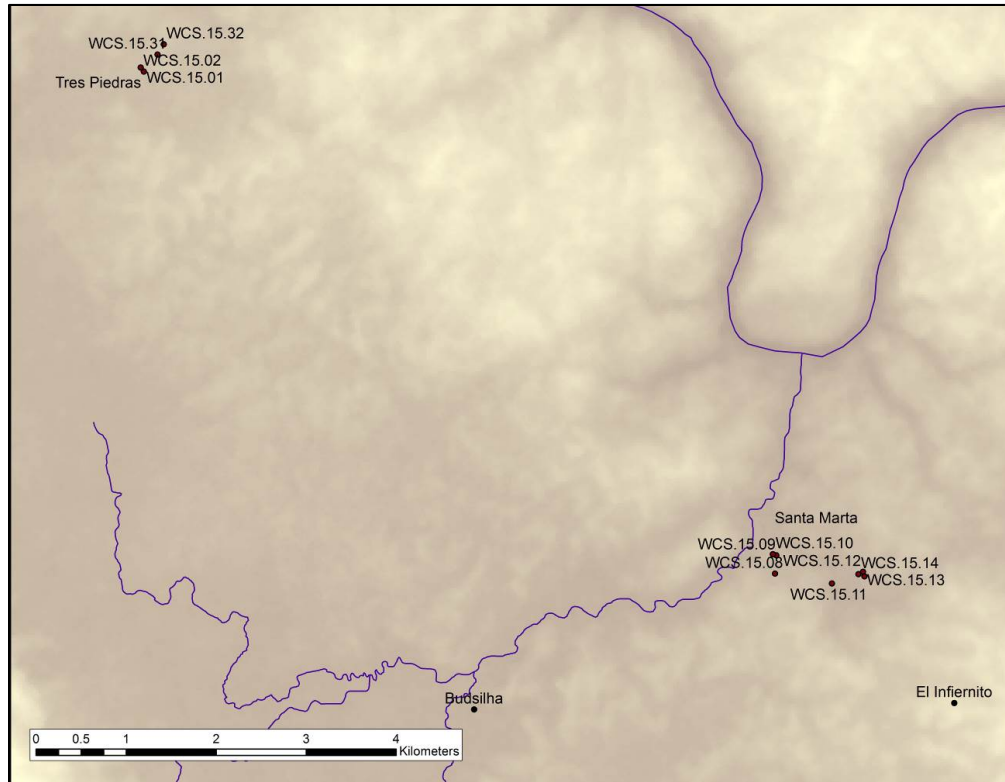


Figura 6.1 Mapa de la región de Budsilha, Santa Mara, y Tres Piedras (por W. Schroder).

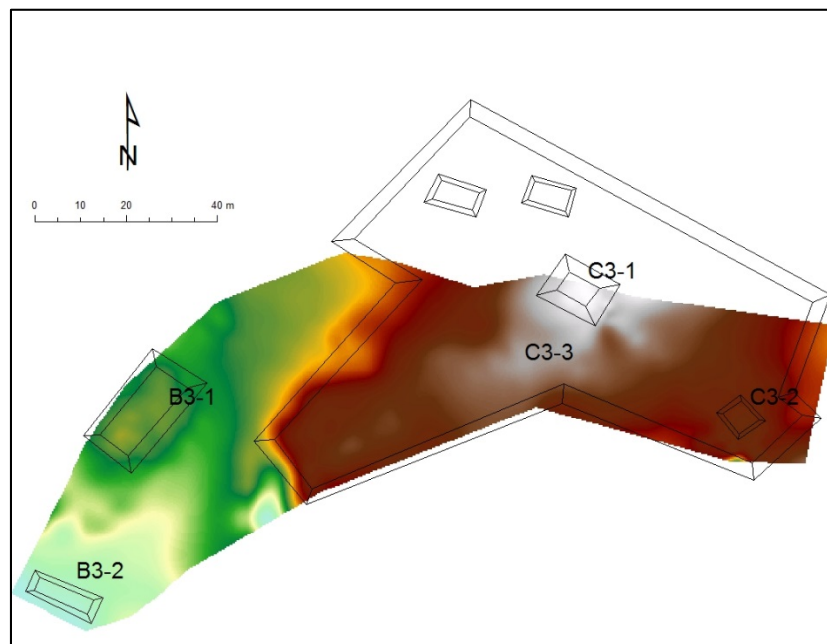


Figura 6.2 Mapa de Santa Marta, Chiapas 2015 (por W. Schroder).



Figura 6.3 Montículo en el rancho Santa Marta (foto por W. Schroder).



Figura 6.4 Plataforma en un cerro en el Rancho Santa Marta (foto por W. Schroder).



Figura 6.5 Estructura C3-1, Santa Marta (foto por W. Schroder).



Figura 6.6 Vista al sur de la estructura C3-1 (foto por W. Schroder).



Figura 6.7 Plaza al oeste del sitio, la estructura B3-1 está a la derecha y la estructura C3-3 está a la izquierda (foto por W. Schroder).



Figura 6.8 Imagen de Google Earth del epicentro de Santa Marta.



Figura 6.9 Montículo en el grupo secundario de Santa Marta (foto por W. Schroder).

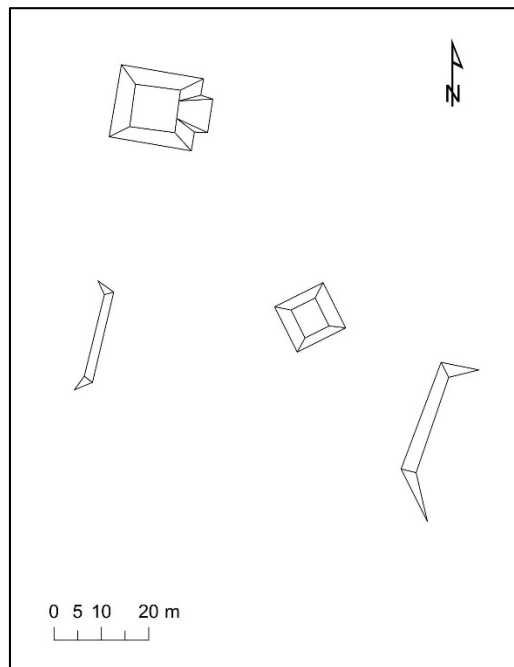


Figura 6.10 Croquis de Tres Piedras, Chiapas (por W. Schroder).



Figura 6.11 Vista del sitio Tres Piedras con un montículo en el primer plano izquierdo y otro en el fondo a la derecha (foto por W. Schroder).



Figura 6.12 Vista del primer montículo, Tres Piedras (foto por W. Schroder).



Figura 6.13 Vista del segundo montículo, Tres Piedras (foto por W. Schroder).



Figura 6.14 Una laja parcialmente labrada en una terraza, Tres Piedras (foto por W. Schroder).

CAPÍTULO 5

RECONOCIMIENTO ARQUEOLOGICO EN LOS ALREDEDORES DE NUEVO GUERRERO, OCOSINGO

Whittaker Schroder

Introducción

Cuando el Proyecto Arqueológico Busiljá-Chocoljá empezó a hacer reconocimiento durante la temporada de 2011, investigaron unos ranchos en los alrededores de la comunidad de Nuevo Francisco León. Durante la temporada de 2015, tuvimos la oportunidad de regresar al sur del área del proyecto para documentar unos sitios en la colonia de Nuevo Guerrero, Ocosingo (Figura 7.1). Este trabajo se realizó entre el 22 y el 26 de junio. Cada rasgo cultural fue registrado con GPS, y los grupos arquitectónicos fueron mapeado con croquis. Los dos ranchos investigados se describen a continuación.

Rancho La Cabaña

El Rancho La Cabaña está ubicado al lado de la Carretera Fronteriza, aproximadamente 2 km al noroeste de la colonia Nuevo Guerrero. El rancho es la propiedad de doña Amalia Mendoza López. Con su permiso, investigamos un sitio arqueológico en su terreno, al otro lado de la carretera del restaurante La Cabaña.

El sitio arqueológico queda justamente en las estribaciones de las altas de Chiapas, al lado del río Busiljá. La Cabaña consiste en por lo menos dos grupos arquitectónicos, aunque solo uno fue investigado porque la locación del otro no podría ser descubierta. El grupo principal consiste en dos patios con ocho estructuras (Figura 7.2). Es evidente que por lo menos dos de las estructuras eran formales con techos, posiblemente abovedados, construidas con piedra bien labrada (Figuras 7.3-7.5). Desafortunadamente, esas estructuras fueron saqueadas hace muchos años (Figura 7.6 y 7.7). La única razón que las estructuras quedan parcialmente es porque las raíces de unos árboles grandes han apoyado las estructuras.

Un rasgo raro es una columna de piedra al lado de la estructura principal, construida con piedras labradas (Figura 7.8). Es evidente que el rasgo no es original al sitio, pero según doña Mendoza, estaba en su lugar cuando ella adquirió el terreno. Parece que la misma gente que saqueó la estructura construyó la columna con las piedras sacadas, pero la razón por hacer eso no

es obvio. Quizás los restos de la columna y la estructura formaron algún abrigo para un campo de madereros en el pasado.

El segundo patio inmediatamente al sur del grupo saqueado está en mejor condición. Aquí, deberían de haber depósitos intactos para poner un pozo. Al norte del grupo principal, hay un montículo bien grande en el potrero, hecho de piedras menos elaboradas (Figura 7.9). La función de este montículo y su relación con las estructuras al lado del río Busiljaá no está clara.

En el futuro, es recomendable buscar una muestra de cerámica en el segundo patio del grupo principal para entender la relación del sitio con la periferia de los reinos de Piedras Negras, El Cayo, Sak Tz'i', y Yaxchilan. También sería necesario conducir más reconocimiento con doña Mendoza de los cerros en su terreno para buscar más asentamiento.

Rancho El Jovero

Durante la temporada de 2015, también obtuvimos el permiso de don Indolfo Islas Galeana para conocer unos montículos en su terreno, ubicado en el camino desde Nuevo Francisco León hasta El Desempeño. El Rancho El Jovero está amplio y totalmente deforestada, entonces es posible ver bastante asentamiento alrededor del rancho.

No era posible caminar por todo el terreno, pero don Islas nos dio permiso a conocer un solo montículo, con una pared intacta. Don Islas también habló de una cueva en el terreno, pero no quiso buscar el lugar. Con su permiso, sería importante regresar a entender mejor este asentamiento.

Una búsqueda en Google Earth revela que el asentamiento en el Rancho El Jovero es expansivo y más formal que parece desde el suelo. Según las fotografías aéreas, toda la colina al sur del rancho está modificada en una forma rectilínea para formar un espacio para una plaza y las estructuras que rodean ese lugar (Figuras 10-15). Sin la oportunidad de caminar por ese lugar durante la temporada de 2015, no es posible averiguar esa posibilidad. Esperamos regresar en temporadas futuras, con el permiso de don Islas para examinar mejor este asentamiento amplio cerca de El Cayo. Con la participación de otros dueños de terrenos en esta región, hay mucha oportunidad para trabajos futuros.

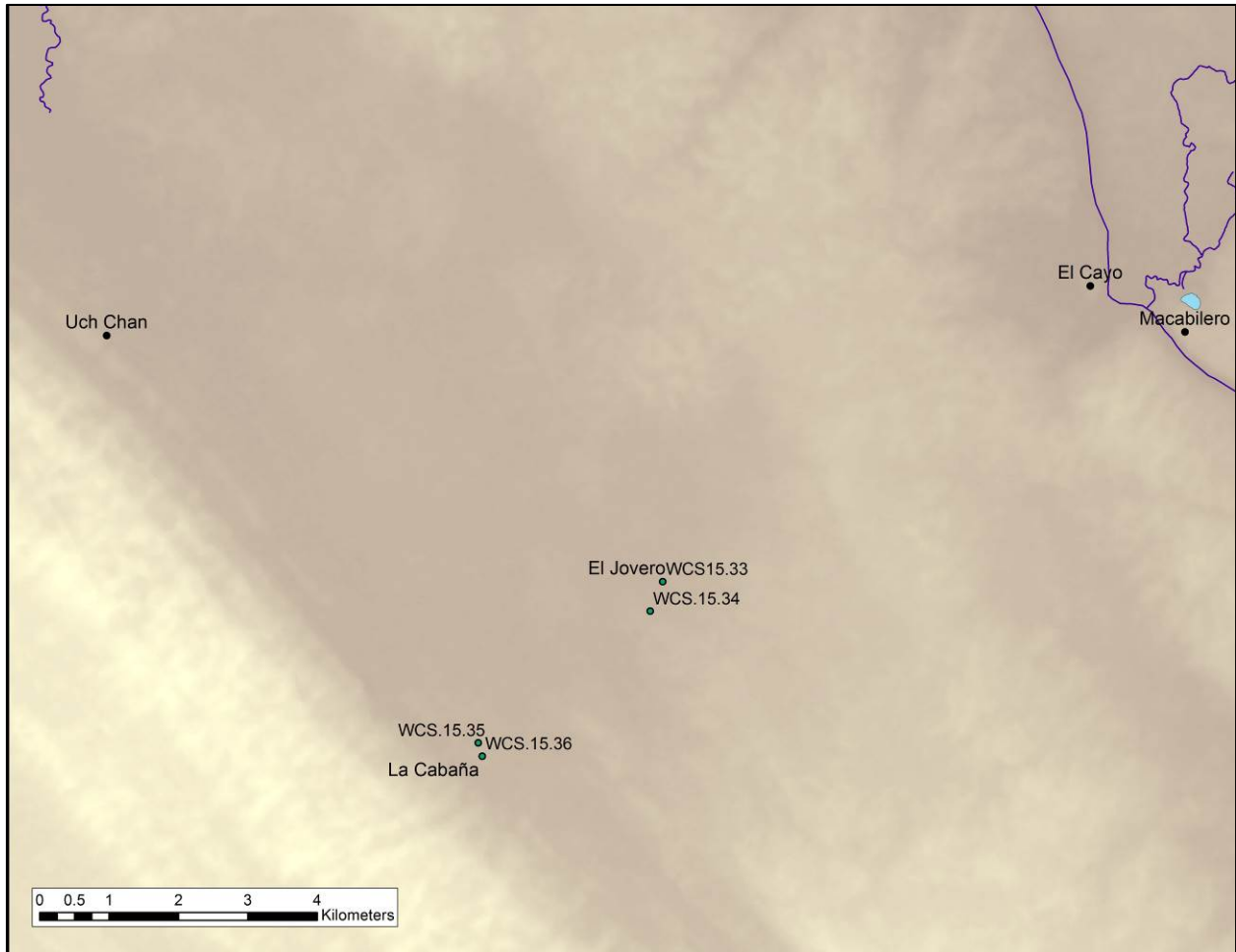


Figura 7.1 Mapa mostrando la relación geográfica entre La Cabaña, El Jovero, Uch Chan, y El Cayo (por W. Schroder).

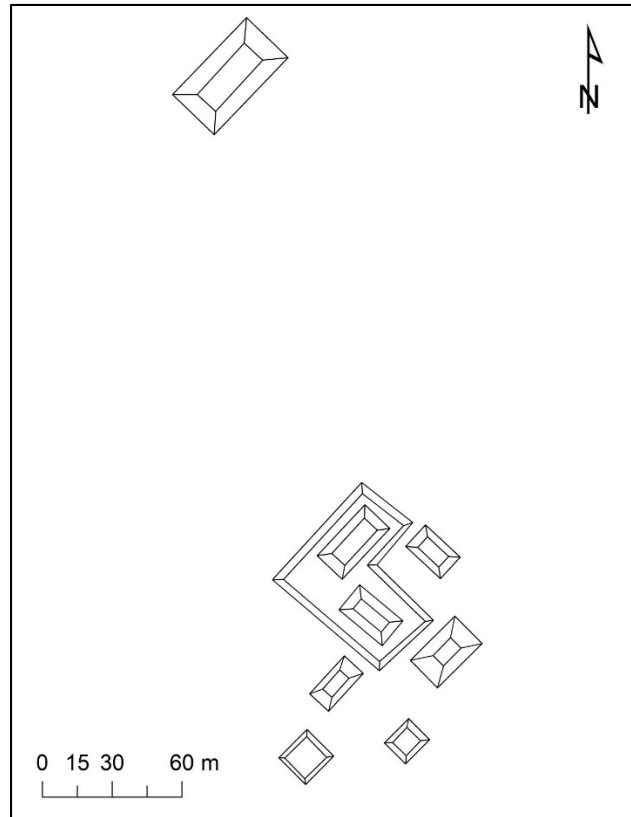


Figura 7.2 Croquis de La Cabaña, Chiapas (por W. Schroder).



Figura 7.3 Montículo mayor, La Cabaña (foto por W. Schroder).



Figura 7.4 Primer patio, La Cabaña (foto por W. Schroder).



Figura 7.5 Montículos, La Cabaña (foto por W. Schroder).



Figura 7.6 Montículo con pozo de saqueo, La Cabaña (foto por W. Schroder).



Figura 7.7 Montículo saqueado, La Cabaña (foto por W. Schroder).



Figura 7.8 Columna hecho por saqueadores, La Cabaña (foto por W. Schroder).



Figura 7.9 Montículo grande al norte del patio, La Cabaña (foto por W. Schroder).



Figura 7.10 Imagen de Google Earth del Rancho El Jovero (foto por W. Schroder).

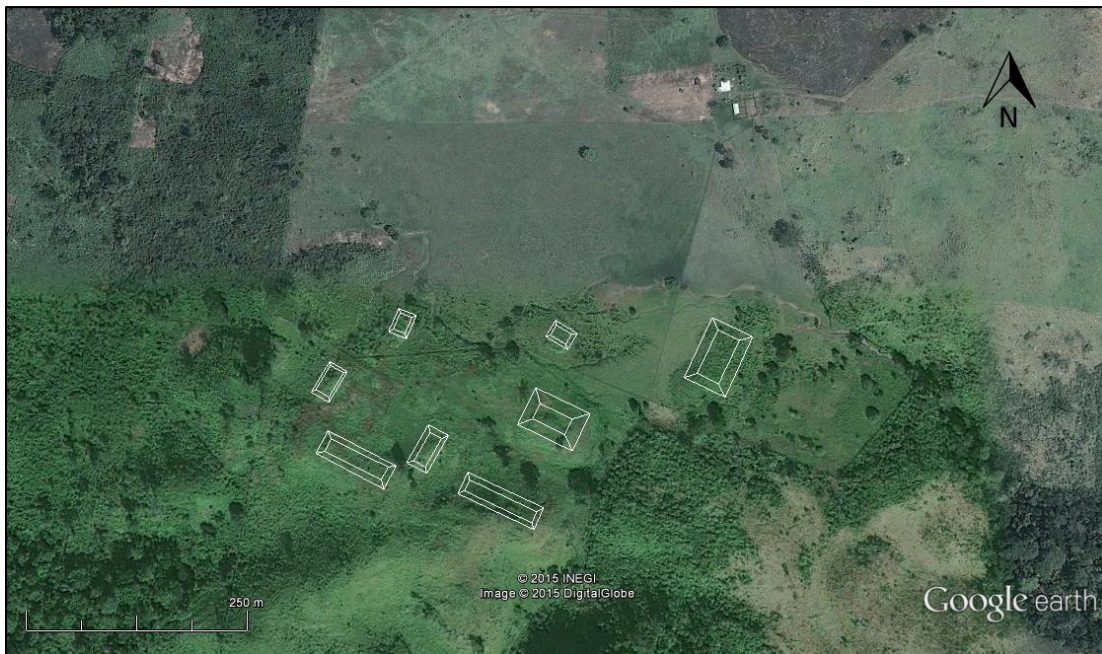


Figura 7.11 Croquis mostrando cerros posiblemente modificados en el Rancho El Jovero, Chiapas (por W. Schroder).



Figura 7.12 Vista de montículos, El Jovero (foto por W. Schroder).



Figura 7.13 Montículos, El Jovero (foto por W. Schroder).



Figura 7.14 Montículo, El Jovero (foto por W. Schroder).



Figura 7.15 Pared preservada en un montículo, El Jovero (foto por W. Schroder).

CAPÍTULO 6
LA CERÁMICA DEL GRUPO PRINCIPAL DE BUDSILHÁ
(OPERACIONES BU-1B-4; 1F, 1G, 6B y 7A)

*Socorro del Pilar Jiménez Alvarez, Patricia Valencia Santiago y Hector Cauich
Caamal*

Los objetivos principales para el 2013 se enfocaron en esclarecer la secuencia constructiva general del sitio, Las excavaciones de 1013 de Busilhá, se centraron en el grupo arquitectónico principal. Estas actividades se enfocaron en ampliar y corregir el mapa topográfico y arquitectónico, así como la excavación de una serie de pozos de sondeo. Las investigaciones se ubicaron en las dos plazas que forman el grupo principal. Estos pozos, por lo general midieron de 2 x 2 m, aunque se realizaron excavaciones de otras dimensiones menores si ocurría la necesidad de excavar rasgos culturales –mayormente entierros– encontrados en el transcurso de estas investigaciones. (Scherer et al. 2013, Figura 8.1).

En la temporada 2013 se siguió investigando la Operación 1B para esclarecer el significado de un depósito ritual de cerámica y de huesos de fauna quemados que fueron hallados en excavaciones previas en la plaza del grupo principal de Budsilhá.

Para entender mejor la función de la estructura D6-5 se realizaron excavaciones asociadas con (operaciones 1F y 1G que corresponden los contextos de la plaza principal).

Con el fin de localizar posibles basureros, se realizaron unidades de excavación en el espacio entre las estructuras D6-5 y D7-3, que fueron asignadas con la nomenclatura de la Operación BU-3A (Scherer et al. 2013).

La Operación 6 correspondió a una serie de unidades, BU-6B excavadas sobre la estructura D7-3. Estas labores arqueológicas de la operación 6 se enfocaron en la búsqueda de evidencia relacionada con la época de uso y abandono de este edificio. Finalmente con la meta de revelar más de la secuencia constructiva y de las modificaciones antropogénicas que forman parte de la isleta se excavaron una serie de unidades como Operación 7A, abajo e inmediatamente al noreste del núcleo monumental del sitio (Scherer et al. 2013).

La cantidad de materiales de Budsilhá hallados en la temporada de campo 2013 fueron analizados en el 2015 en las instalaciones del Laboratorio de la Facultad de Ciencias Antropológicas de la Universidad Autónoma de Yucatán durante los meses de mayo a septiembre de 2105. Estos materiales analizados corresponden a las Operaciones 1B, IF, 1G, 6B y 7A y suman un total de 3,381 fragmentos con un peso de 62519.82 gramos.

Cabe señalar que la Operación 3A que se llevó a cabo entre las estructuras D6-5 y D7-3 corresponde a los resultados del análisis cerámico que forman parte del informe anterior de la temporada 2013. Durante este análisis se tabularon un total de 3704 fragmentos cerámicos con un peso de 32487.86 gramos (Scherer et al. 2013). Sumando los materiales analizados de las Operaciones de 2015 y 2013 de las excavaciones de Budsilhá que fueron excavadas durante la temporada de 2013 el resultado la cantidad total de tiestos analizados suma una cantidad total de 7,085 fragmentos con un peso de 95007.68 gramos. (Tabla 8.1).

La metodología usada para este análisis es el análisis múltiple que ha sido aplicado para las temporadas de análisis cerámicos anteriores del proyecto: pastas y otros análisis de forma, acabados de superficie, decoración que resultan en diferentes tipos de cerámica (Scherer et al. 2013).

Tabla 1.- Lista de pastas y cantidades de la colección cerámica de Budsilhá (Operaciones BU-1B-4; IF, IG, 6B y 7 A.

INSPECCION VISUAL DE PASTAS	TEXTURA "APARENTE"	BUDSILHÁ 2013 (ANÁLISIS 2015)		
		CANTIDADES	PESO EN GRAMOS	PORCENTAJE
1.- Talcosa	fina			
2.- Gris fino	fina	11	16.2	3.0%
3.- Anaranjada fina	fina			
4.-Negro fino	fina	3	22.8	<0.0%
5.-Café fina	fina			
6.- Arenosa	mediana	113	710.2	3.3%
7.- Arenosa con oxidacion completa	mediana			
8.- Micacea	mediana			
9.- Caolinitica	mediana	11	64.1	<0.0%
10.-Aluvion	mediana	1	1.8	<0.0%
11.-Nucleo de textura jabonosa	mediana			
12.-De textura rasposa	mediana			
13.-Arenosa bayo	mediana			
14.-Gredosa crema con oxidacion completa	mediana	1	5.6	<0.0%

15.-Rasposa de paredes delgadas con nucleo negro	mediana	1	4	<0.0%
16.-Crema con nucleo negro pos.lustrosa	mediana			
17.-Gredosa oxidada	mediana			
18.-Arenosa rojiza oxidada	mediana			
19.-Carbonatada con restos de engobe peten lustroso	mediana	4	238	<0.0%
19A.- Carbonatada Peten lustroso (policromos)	mediana	147	714.5	4.4%
20.-Carbonatada compacta	burda	57	347.7	1.68%
21.-Arenosa transicional (incluye estriados)	burda	21	138	0.62%
22.-Carbonatada	burda	1821	23748.6	53.8%
23.- Pomácea	burda			
25.-Miscelanea	variada	52	407.2	1.7%
26.-Miscelanea pos. Preclásica	variada	20	158.3	0.6%
30.- Carbonato burdo	burda	30	802	0.8%
31.- Carbonatada fina	mediana	155	853	4.6%
33.- Carbonatada burda (preclásica)	burda			
34.- Carbonatada amarillenta (preclásica)	mediana			
38.- Pasta Yalkox	fina	3	115.8	<0.0%
54.- Talcosa carbonatada	mediana			
Artefactos varios		22	319.2	0.7%
Erosionados		759	319.2	1.7%
	TOTAL	3381	62519.82	100.0%

Operación 1B

Durante las excavaciones de 2012 se halló un gran depósito de cerámica y de hueso quemado de fauna, ubicado en el frente de la pared enterrada y asociada con la última fase de construcción de la plaza principal. En 2013 se ampliaron las excavaciones para conocer mejor las características del depósito. Las unidades de 2013 fueron ubicadas al noroeste de las unidades del año anterior (Scherer et al., Figura 8.2, perfil del pozo).

BU-1B-4

La Unidad 4 midió 2 x 2 m y estuvo orientada a encontrar la pared enterrada. La unidad se constituyó de 10 lotes de excavación. Un total de 1335 fragmentos fueron recuperados con un peso de 14,666.8 gramos (consúltese anexo de Tablas de pastas)

La gran mayoría (865 fragmentos, 12293.9 gramos) es decir 64.3% de los fragmentos recuperados en los contextos de la 1B-4 corresponden a fragmentos de ollas de pasta carbonatada (Pasta No. 22) de cuello alargado, estriadas y cazuelas con el borde doblado hacia el exterior así como a ollas de carbonato fino de paredes delgadas, alisadas o impresas (Pasta No. 31) (Figura 8.1, 8.2 a g-h, jk) Materiales policromos fueron hallados en casi todos los lotes excavados y representan un 3.5% (48 fragmentos con un peso de 110.5 gramos) (Figura 8.3 b-c)

Por otra parte, un porcentaje significativo de 3.9 % (53 fragmentos, 372.2 gramos) pertenecen a fragmentos de ollas de paredes delgadas, cajetes o platos de paredes delgadas constituidos por pastas Arenosas, Caoliniticas, Pasta semifina (Yalkox) y Rasposa de paredes delgadas. Por su parte, materiales asociados con el preclásico únicamente corresponden a 2 fragmentos con menos del 1% de la muestra analizada en BU-1B-4 (0.14). Fragmentos erosionados representan un 24% (326 fragmentos) de la muestra analizada.

Interesante de mencionar es el hecho de que los materiales de la BU-1B-4 son similares en su tipología y cronología en todos los lotes excavados (del 1 al 10), incluso hasta la roca madre. El entierro No. 8 con los materiales del lote 5 también muestra la misma temporalidad con referencia al resto de los lotes excavados. Los resultados del análisis cerámico sugieren que los dos pisos registrados en la unidad BU-1B-4 que corresponden a la plataforma o plaza principal (último piso de la plaza principal y el piso anterior a este piso) son de la misma época constructiva, y fueron edificados o remodelados durante la última época de ocupación del periodo Clásico Tardío (c. 700/750 - 850 d.C.). Aunque en estos contextos se pueden hallar materiales con características de la primera faceta de ocupación del periodo Clásico Tardío (c. 600 – 700 d.C.) que parecen haber sido reutilizados como relleno constructivo durante la construcción de estos pisos. Gran cantidad de tiestos o fragmentos de cerámica (incluyendo algunos policromos) están recortados así como un “alisador” de cerámica fue hallado entre en el relleno constructivo de los dos pisos explorados (Figura 8.1 a, b, i, 8.2 a, c, d, e)

Operación 1F

Esta operación se llevó a cabo en la Estructura D6-5, la cual fue excavada para entender mejor su función y con ayuda de los materiales extraídos, conocer el papel que desempeñó en su tiempo de ocupación. Dos unidades conforman esta excavación, la BU-1-F1 y BU-1F-2 las cuales fueron excavadas en la plaza principal del conjunto arquitectónico principal. En estas dos unidades se recuperaron un total de 371 fragmentos con un peso de 4074.1 gramos (Scherer et al. 2013, figura 8.4, consúltese anexo de tablas)

BU-1F-1

La Unidad 1 midió 2 X 2 m y se ubicó en el eje central N de E de la plaza principal del sitio. Esta unidad se constituyó de 5 lotes de excavación y se recuperaron un total de 334 fragmentos cerámicos con un peso de 3739 gramos. Fragmentos de ollas y cazuelas, ollas de cuello alargado de la pasta carbonatada (pasta No. 22) y fragmentos de ollas de paredes delgadas de pasta Carbonatada fina (pasta No. 31) con un 66.8% son los materiales de mayor porcentaje (220 fragmentos con un peso de 3268 gramos) (Figura 8.3; 8.4 f,g,h). La policromía está representada por 11 fragmentos (68.7 gramos) con un 3%. (Figura 8.4b). Algunos de estos tiestos policromos están recortados (Figura 8.4 c). Por su parte, fragmentos de pasta Arenosa (No. 6) y

Caolinitica (Pasta No. 9) con un 0.9% suman un total de 3 fragmentos con 5.3 gramos. Materiales Preclásicos suman 6 fragmentos (15 gramos) con un 1.8%. Cerámicas lustrosas del periodo Clásico Temprano con un 1.2% suman un total de 4 fragmentos (37.1 gramos).

Los materiales preclásicos y Peten lustrosos del periodo Clásico Temprano se hallaron en los lotes de excavación 4 y 5, los cuales corresponden al piso y al relleno de construcción del piso inferior de la plaza principal. Es importante señalar, que los fragmentos de cerámicas lustrosas Águila anaranjado, así como los fragmentos de platonos policromos son cerámicas diagnósticos de inicios del periodo Clásico Tardío; sin embargo los datos cerámicos de este relleno constructivo parecen indicar que aunque el contenido material de este relleno tiene mezcla de materiales diagnósticos de inicios del periodo Clásico Tardío este se trata de un piso y relleno de construcción que bien pueden ser fechado para el auge constructivo de la última etapa del periodo Clásico Tardío (c. 700/750-850 d.C.). Es probable que debajo del este piso inferior los materiales cerámicos correspondan a edificaciones previas de este auge constructivo de la plataforma principal (figura 4c). Fragmentos de cerámica estriada recortados abundan en las excavaciones de IF-1 (figura 4 f-h).

BU-1F-2

La Unidad 2 midió 2 x 2 m y se orientó para estar en línea con las estructuras, a 45° azimut (figuras 2.5 y 2.6). La unidad se ubicó en el eje central N de E de la plaza principal del sitio. . Se constituyó de 3 lotes de excavación. En esta unidad, la menos profunda, se halló una cantidad menor de materiales cerámicos con un total de 42 fragmentos con un peso de 372.6 gramos. Al igual que la unidad anterior, fragmentos de ollas y cazuelas, ollas de cuello alargado de la pasta carbonatada (Pasta No. 22) y de fragmentos de ollas de paredes delgadas de la pasta Carbonatada fina (Pasta No. 31) son los materiales de mayor porcentaje (42.8 %)(42 fragmentos con un peso de 2298 gramos). En esta unidad se hallaron pastas Negro fino, Yalkox semifino y Arenosa que suman un total de 13 fragmentos con un peso de 83.4 gramos (esto equivale a un porcentaje del 7.14% estimado de acuerdo al total de 42 fragmentos hallados en esta unidad de excavación). Un fragmento Preclásico fue hallado en esta excavación (Figura 8.4 d). La cronología de los materiales corresponde a la última etapa de auge del Periodo Clásico Tardío (c. 700/750-850 d.C.). Las excavaciones de esta unidad se caracterizan por la presencia importante de pastas finas Yalkox (Figura 8.3 f).

Operación 1G.

Esta operación fue una serie de pozos de sondeo ubicada encima de la plataforma de la Estructura D6-5, en el frente de la superestructura. Todas las unidades estuvieron orientadas a 45° E de N. En esta operación se excavaron las unidades BU-1G-1 ; BU-1G-2 y BU-1G-3- siendo que en esta última que corresponde a un nivel de humus y no se recuperaron materiales culturales. Un total de 15 fragmentos con un peso de 210.2 gramos fueron hallados en las excavaciones de la Operación 1G. (Consúltese anexo de Tablas.)

BU-1G-1

La Unidad 1 estuvo ubicada a algunos metros al noreste de la Unidad 2. El dato se encontró en la base de un árbol cercana a la unidad, a 44 cm por encima de la superficie de tierra. Sólo el primer lote, el nivel de humus negro (10 YR 2/1), fue excavado, y terminó 68 cm por debajo del dato. Únicamente se recuperó un tiesto que corresponde a una olla de cuello largo de pasta carbonatada (pasta No. 22) del periodo Clásico Tardío.

BU-1G-2

La Unidad 2 se ubicó más o menos en el eje principal de la Estructura D6-5 (Figura 8.4). El mismo dato fue usado para las unidades 1 y 2. Se constituyó de 7 lotes de cerámica y se halló el entierro No.7 (lote 4). . Un total de 15 fragmentos con un peso de 210.2 gramos fueron recuperados en los lotes 1, 2 y 3.

7 fragmentos de Ollas de cuello largo de la pasta carbonatada (Pasta No. 22) y 5 fragmentos de las pastas “Yalkox” y Arenosa (Pasta No. 6) constituyen los materiales registrados (Figura 8.3 e). Al igual que la mayoría de las unidades excavadas en el sitio, los materiales de pasta Carbonatada (pasta No. 22) son los mejor representados en las excavaciones de estas unidades excavadas en IG.

Los materiales de las excavaciones de la IG corresponden al auge de ocupación del periodo Clásico Tardío (c. 700/750-850 d.C.), fecha la cual corresponde a la misma ocupación de la Operación 7A y de los lotes superiores de la IF.

Operación 6B

Estas excavaciones se hicieron sobre una plataforma posiblemente habitacional, misma que corresponde a la estructura denominada como D7-3. Ésta es una plataforma baja en el patio sureste del conjunto arquitectónico principal de Budsilhá (Scherer et al 2013; Figura 8.1, ubicación de las operaciones del conjunto arquitectónico principal de Budsilhá)

Es obvio a simple vista que la plataforma representa el basamento que sostuvo paredes parciales de mampostería, las cuales en su momento sostuvieron una superestructura de materiales perecederos. Se realizaron excavaciones horizontales en la Estructura D7-3 con dos objetivos principales: primero, se buscó evidencia de la ocupación final de la plataforma, con la meta de determinar la fecha de abandono del conjunto arquitectónico que forma el centro de Budsilhá; en segundo lugar, las excavaciones horizontales ofrecieron la oportunidad de buscar evidencia no solamente de desecho y basureros, sino también de los usos cotidianos y rituales de los espacios habitacionales. Se hizo una red de cuadrados, de 2 x 2 m cada uno, con una orientación de 58° azimut sobre el límite sureste de la Estructura D7-3, extendiéndose la red cuando fue necesario ampliar las excavaciones para clarificar la función y naturaleza de los rasgos o artefactos encontrados en la red original. No se excavó cada unidad en la red, sino solamente unidades 1-7 y 10-12, de las cuales en varias no se excavó más que el humus. La finalidad de las excavaciones de la unidades 10 y 11, fue la de localizar otra banqueta o algún rasgo arquitectónico similar a la excavada en las unidades anteriores (Scherer et al. 2013).

Las unidades que corresponden a la excavación 6B son la 6B-1; 6B-2; 6B-3; 6B-4; 6B-5; 6B-6; 6B-10; 6B-11, 6B-12, 6B-13 y 6B-14. Esta operación en general arrojó una suma de 1355 fragmentos con un peso de 9684.56 gramos. La Mayor cantidad de materiales cerámicos recuperados corresponden a la Unidad 6B-2 debido a la profundidad de su área excavada. Los materiales de esta unidad suman un total de 768 fragmentos cerámicos con un peso de 6221.6 gramos lo que representan más de la mitad (56.7%) de las cerámicas recuperadas en la Operación 6B. Esta unidad 6B-2 será explicada por separado del resto de las unidades que conforman la Operación 6B. El resto de las unidades de la Operación 6B suman un total de 587 fragmentos con un peso de 5463.3 gramos. (Consúltense anexo de Tablas.)

BU-6B-1

Corresponde a la capa de humus y en esta unidad se hallaron un total de 111 fragmentos cerámicos con un peso de 767.6 gramos.

BU-6B-3

Corresponde a la capa de humus sobre la arquitectura terminal y su derrumbe. No fue posible excavar toda la unidad, debido a un árbol en la esquina este (se ubicó un clavo en su tronco como el dato para las excavaciones). Se constituye por un solo lote. En esta unidad se hallaron un total de 10 fragmentos cerámicos con un peso de 71.8 gramos.

BU-6B-4

Se constituyó de dos lotes. El primer lote corresponde a las capas de humus sobre la arquitectura terminal y su derrumbe. En segundo lote representa el suelo y derrumbe de la arquitectura arriba del nivel del último piso del edificio. En esta unidad se hallaron un total de 35 fragmentos cerámicos con un peso de 609.4 gramos.

BU-6B-5

Se constituyó de dos lotes. El lote 1 fue la capa de humus sobre la arquitectura terminal y su derrumbe. El lote 2 representa el suelo y derrumbe de la arquitectura arriba del último piso del edificio. Se terminó el lote al momento de exponer el nivel del último piso interior de D7-3. En esta unidad se hallaron un total de 59 fragmentos cerámicos con un peso de 395.6 gramos.

BU-6B-6

El lote 1 fue la capa de humus sobre la arquitectura terminal y su derrumbe. El lote 2 representó el suelo y derrumbe de la arquitectura arriba del nivel del último piso del edificio. Se terminó el lote al momento de exponer el nivel del último piso interior de D7-3 y la forma del banco principal del interior del edificio. En esta unidad se hallaron un total de 34 fragmentos cerámicos con un peso de 181.8 gramos.

BU-6B-7

Se constituyó de dos lotes. El Lote 1 consistió en la capa de humus arriba del derrumbe y la arquitectura de D7-3. Se excavó el Lote 2 levantando el derrumbe para buscar la forma final de la arquitectura. Sin embargo, se paró la excavación cuando se detectó que el banco y las paredes de la estructura no se preservaron en el espacio de la unidad, debido a la acción de los árboles. En esta unidad se hallaron un total de 102 fragmentos cerámicos con un peso de 1546.39 gramos.

BU-6B-10

Se constituyó de dos lotes. El contexto del primer lote consistió en tierra suelta de color negro. En la parte oeste de la unidad se hallaron piedras de gran tamaño, al parecer correspondientes a otro muro o a una banquetta; dichas piedras eran muy toscas y ninguna presentó rasgos trabajados. En la esquina sureste se encontraron navajillas pequeñas de obsidiana, la mayoría del tipo proximal. En la parte central de esta unidad se localizaron dos pequeños percutores, evidencia quizá de que por ese lado de la plataforma se trabajaba la obsidiana hallada en la esquina antes mencionada. Para el segundo lote correspondió a la localización de piedras de relleno y posible piso. Se excavaron los muros localizados en la capa anterior; al descender, se encontraron más piedras toscas de caliza, no mayores de 15 cm, posiblemente parte del relleno de la plataforma. También se excavaron pequeñas lascas de obsidiana, la mayoría de ellas del tipo proximal. Se dejó de excavar en dicha unidad hasta que se localizó mucho pedrín en la parte central, evidencia probable del nivel del piso.

En esta unidad se hallaron un total de 114 fragmentos cerámicos con un peso de 874.2 gramos.

BU-6B-11

Se constituyó de dos lotes. El objetivo de la excavación de BU-6B-11 fue ver la continuación del posible muro localizado en la unidad anteriormente descrita, así como hallar algún rasgo que asemeje alguna banquetta habitacional. El lote número 1 consistió en raíces y humus. La finalidad de la excavación del lote número 2 consistió en la excavación y remoción de las piedras que estaban en la parte central de la unidad; dicha sustracción nos ayudaría a revelar la existencia de alguna banquetta o de algún rasgo que se asemejara. Al quitar las piedras se localizaron otras de tamaño considerable, utilizadas como parte del relleno de la plataforma. Los

artefactos excavados en este lote fueron tres fragmentos de obsidiana, dos de ellos pequeñas lascas, y una navajilla del tipo proximal.

En esta unidad se hallaron un total de 17 fragmentos cerámicos con un peso de 63.2 gramos.

BU-6B-12

Se realizó la Unidad 12 como una extensión al lado suroeste de la Unidad 1, para descubrir la entrada del espacio interior de D7-3.

BU-6B-12-1 fue la capa de humus. Se recuperó mucha obsidiana en la unidad, con cantidades elevadas en la esquina sur. Se constituyó de 3 lotes. El Lote 2 consistió en el nivel de derrumbe debajo del humus y encima de la arquitectura conservada descubriéndose las gradas de entrada a D7-3. Que dejar al descubierto una cantidad concentrada de obsidiana en el patio y en las zonas adyacentes a la unidad, tratándose quizá de un taller de obsidiana enfocado en la producción de navajas prismáticas de fábrica especializada. Dadas estas concentraciones elevadas de obsidiana, se decidió dejar aparte un cuadrado de 40 x 40 cm en la esquina oeste de la unidad, para obtener una idea más clara de las cantidades. El Lote 3 midió, entonces, 40 x 40 x 15 cm.

En esta unidad se hallaron un total de 105 fragmentos cerámicos con un peso de 928.2 gramos.

Lo interesante de los materiales hallados en estas excavaciones de las unidades señaladas de la Operación 6B, sobre todo en los lotes que corresponden al relleno constructivo mezclado con el derrumbe y el piso de la estructura D7-3 es el hecho de que todas las unidades y lotes excavados (exceptuando la unidad 6B-2) muestran materiales similares en cuanto cronología se refiere. La presencia de pastas finas, anaranjadas finas (pasta No. 3), Arenosas (pasta No. 6) asociadas con pastas carbonatada (pasta No. 22) carbonatada fina (pasta No. 31) y la cantidad poco numerosa de la pasta Carbonatada burda (pasta No. 30) son materiales cerámicos que se asocian con rasgos arquitectónicos y actividades humanas que se remiten a la segunda parte del periodo Clásico Tardío (c. 700/750-850 d.C.) (Figuras 8.5 h; 8.6 a-b).

Para esta época surgieron las ollas carbonatadas (pasta No. 22) de paredes gruesas con la superficie exterior que fue alisada de manera burda. En algunos ejemplares hallados en la Operación 6B de las unidades arriba señaladas, se pueden observar huellas quizá de dedos o del instrumento usado durante el proceso de alisado (Figura 8.6 i-j). En estas unidades excavadas también se registraron algunos materiales escasos que pertenecen a épocas anteriores al periodo Clásico Tardío como el fragmento de cajete de cerámica negra lustrosa (ref. Tipo Balanza negro) y el fragmento de cajete decorado con diseños geométricos en su exterior (ref. Tipo Polvero Negro, Figura 8.5 j, ll). Un fragmento de figurilla (Figura 8.6 c) y un fragmento de posible molde (figura 6d) y un ornamento o botón (Figura 8.6 a) fueron hallados en las unidades de la Operación 6B.

BU-6B-2

Se constituyó de 14 lotes. El lote 1, 2 y 3 corresponden a la capa de humus, al derrumbe y parte del relleno que fueron excavados con el fin de localizar el nivel del piso interior de la estructura D7-3. Por la acción de las raíces el piso fue destruido al igual que gran parte del relleno constructivo. El lote 4 se siguió por debajo del relleno constructivo constituyendo de 1 a 2 metros de área excavada y corresponde al interior de la plataforma D7-3. El lote 5 se excavo debajo del piso destruido de la estructura D7-3 hasta encontrar una laja que fue parte del rasgo de la sub 1. El lote 6 corresponde al mismo nivel del relleno constructivo registrado en el lote 4. El lote 7 concierne al relleno constructivo debajo del piso de la estructura D73. Sub 1. Las lajas fueron excavadas en el lote 8 y corresponden a un rasgo arquitectónico anterior y fue denominada como D7-3 sub. 2 El lote 11 pertenece a las excavaciones debajo del piso de D7-3 sub 2. El lote 12 concierne a las excavaciones del entierro 10. El lote 13 corresponde debajo del relleno de la D7-3 sub 2. El lote 14 corresponde al entierro 11 hallado debajo del relleno de la D7-3 sub. 2. (Scherer et al 2013; Figuras 8.12; 8.13, 8.14 y 8.15, perfiles del pozo y ubicación de las sub-rasgos).

En esta unidad se hallaron un total de 768 fragmentos cerámicos con un peso de 6221.6 gramos (cónsultese anexo de Tablas de pastas).

La unidad 6B-2, se caracteriza por la presencia abundante de materiales con engobe Peten lustroso ya sea monocromos o policromados, representado por un 14% de la muestra analizada (95 fragmentos) (Figura 8.4 j-l). La pasta Carbonatada (pasta No. 22) con un 38.91 % representa la mayor cantidad de fragmentos de la muestra analizada (Figuras 8.5 d-h, j-k; 8.6 f-h). Varios fragmentos con restos de mica en la pasta fueron clasificados dentro de la Miscelánea (figura 8.4 i). Los materiales preclásicos son escasos debido a que solo se registraron un total de 6 fragmentos que representan menos del 1% de la muestra analizada y es a partir del lote 6 donde se registró la presencia mayor de estos materiales preclásicos. Los cambios importantes de unidad se reflejan a partir del Lote 8 (con excepción del lote 12) con la presencia abundante de cerámicas carbonatada burda (pasta No. 30) con fragmentos que muestran una superficie alisada y estrías profundas (Figuras 8.5 j-k). La pasta muestra partículas grandes de arena de cuarzo y quizá caracoles triturados. Desde el punto de vista de las formas, las ollas de cuello alargado y las cazuelas que tienen esta pasta muestran los bordes sumamente aplanados (Figuras 8.6 e-h). La policromía es abundante estos lotes y muestran la presencia de fragmentos de platones anulares, cajetes y tambores (Figuras 8.6 j - l).

Como dato interesante se puede observar una total ausencia de pasta fina y de pastas arenosas (pasta No. 6). En el caso de la pasta Arenosa esta solo se evidenció en el lote 2 y el 12 (que corresponde al entierro) de la unidad excavada.

Con base a los resultados obtenidos en el análisis cerámico, se puede argumentar que la excavación de la unidad 6B-2 corresponde un momento importante de la primera parte del periodo Clásico Tardío. La ausencia de pastas finas en correspondencia con la abundancia de la policromía en la forma de platones y con diseños al espacio reservado en esta unidad parece corroborar este argumento. Las pastas Arenosas pueden corresponder a ambos momentos el periodo Clásico Tardío dependiendo de su asociación con otros materiales cerámicos. En el caso de la Unidad 6B-2 podrían representar dos cosas: 1) que los materiales de los lotes donde no aparecen las subestructuras son más tardíos (700/750-850 d.C.) como el caso de los lotes 1, 2, 3, 6, 7 y lote 12 (asociado al entierro) o bien 2) estos materiales de pasta arenosa se filtraron y corresponden a las etapas de ocupación tardía y última de la plataforma del grupo principal de Budsilhá. No cabe

duda, que las sub-estructuras de la unidad 6B-2 parecen corresponder a la primera parte del periodo Clásico Tardío (600-700 d.C.)

Operación 7A

La finalidad de las excavaciones de esta operación fue conocer y liberar una serie de alineaciones de piedra, debido a que éstas podrían formar parte de alguna plataforma o de una serie de plataformas diferentes utilizadas como habitacionales o comerciales. En total se excavaron tres unidades de 2 x 2 m. Estas unidades que constituyen la Operación 7 A son **BU-7A- 1; BU-7A-2 y BU 7A-3**. Una suma de 305 fragmentos cerámicos con un peso de 1422.7 gramos se hallaron en esta unidad excavada (Cónsultese anexo de tablas de pastas).

BU-7A-1

Esta unidad se constituyó de dos lotes con un total 89 fragmentos cerámicos con un peso de 354.4 gramos. En esta misma unidad se extrajeron lascas de pedernal y pequeñas lascas de obsidiana.

BU-7A-2

Esta unidad se constituyó de 3 lotes con un total 172 fragmentos cerámicos con un peso de 541.2 gramos. Esta unidad presentó una serie de modificaciones, lo que confirma que este lado del sitio fue un punto de extracción de piedra caliza destinada a la edificación de los monumentos. En la parte oeste de la unidad se encontraron restos de un posible muro o de parte del relleno de la plataforma. En la parte norte se localizó otra alineación de piedras, lo que confirmó, después de la extracción, que los restos fueron parte del relleno empleado para construir la plataforma. Los artefactos localizados fueron navajillas y lascas de obsidiana, dos navajillas de pedernal (que presentaron huellas de uso).

BU-7A-3

Esta unidad midió 2 x 2 m y se constituyó 2 lotes con un total de 44 fragmentos cerámicos con un peso de 176.3 gramos. En esta unidad se recuperaron 4 fragmentos de una navajilla y una pieza de cuarzo. Las unidades excavadas en la Operación a la 7 A son diagnósticas de la última ocupación del asentamiento debido a las siguientes observaciones.

- 1) Cantidad importante de pasta gris fina (pasta No. 3) y negro fino (pasta No. 4) que tienen un porcentaje del 4% (11 fragmentos) con referencia al porcentaje de fragmentos pertenecientes a otras pastas halladas en la unidad (Figura 8.4 e);
- 2) Presencia de la pasta Arenosa-Transicional (pasta No. 21) la cual ha sido documentada como una pasta diagnóstica de la etapa tardía del Periodo Clásico Tardío en otros sitios de la cuenca media del río Usumacinta (Jiménez 2015)(figura 3h).
- 3) Estos fragmentos de pasta fina y de la Arenosa Transicional se hallaron dispersos en los lotes más profundos hasta la roca madre
- 4) y ausencia de estas pastas finas con cerámicas Peten lustrosas tanto monocromas como policromadas.

Por otra parte, como en el resto de las áreas excavadas en el sitio, el mayor porcentaje de materiales corresponde a la pasta Carbonatada (Pasta No. 22) (Figuras 8.3 g, i-j) El resto de los materiales estuvieron erosionados (63.27% de la muestra analizada en estas unidades). Los resultados del análisis cerámico parecen indicar que estas modificaciones y los mismos rasgos arquitectónicos corresponden a edificaciones u ocupaciones tardías del asentamiento (c. 700/750-850 d.C.).

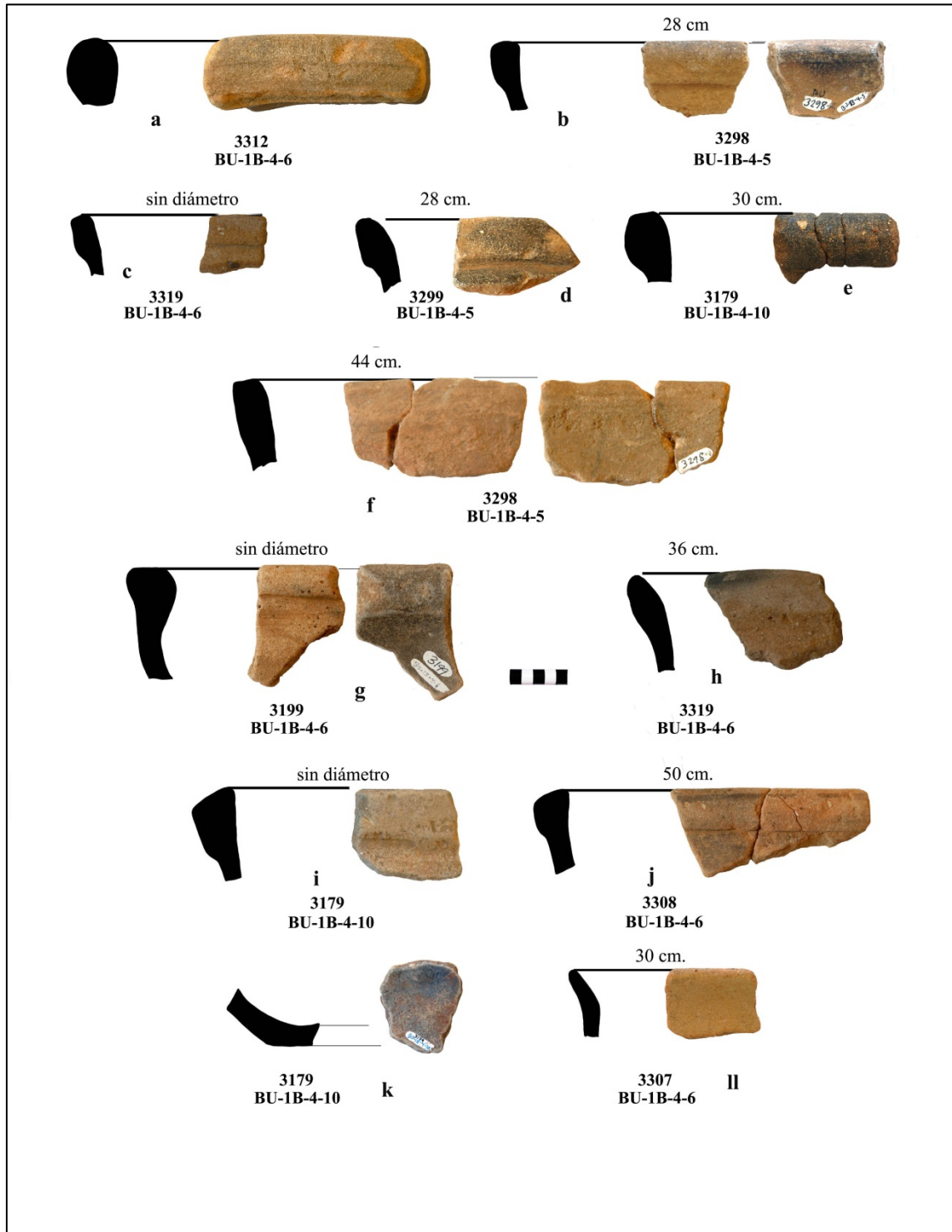


Figura 8.1 Colección cerámica Budsilhá. Temporada de excavación 2013 (análisis 2015).

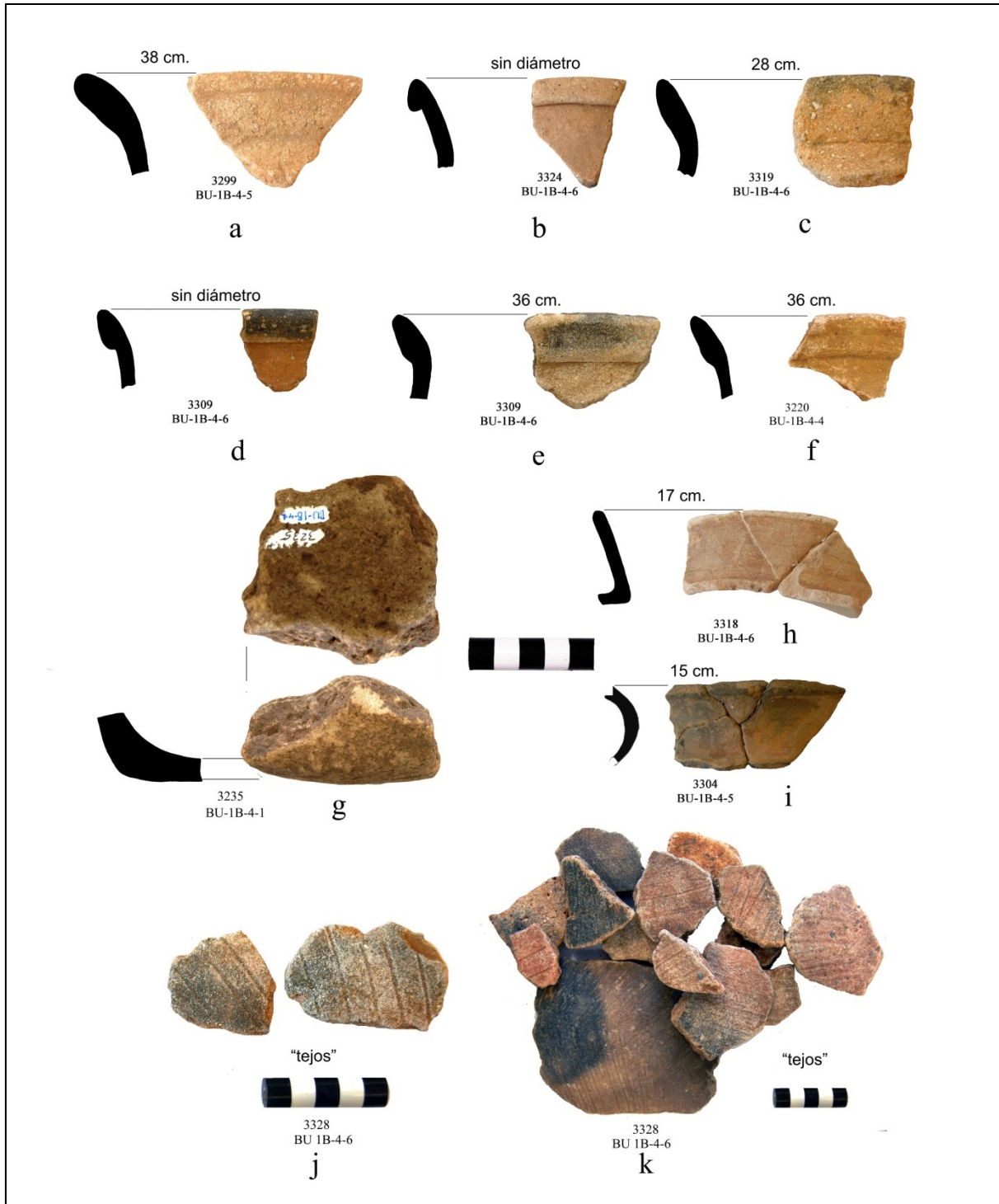


Figura 8.2 Colección cerámica Budsilhá. Temporada de excavación 2013 (análisis 2015).

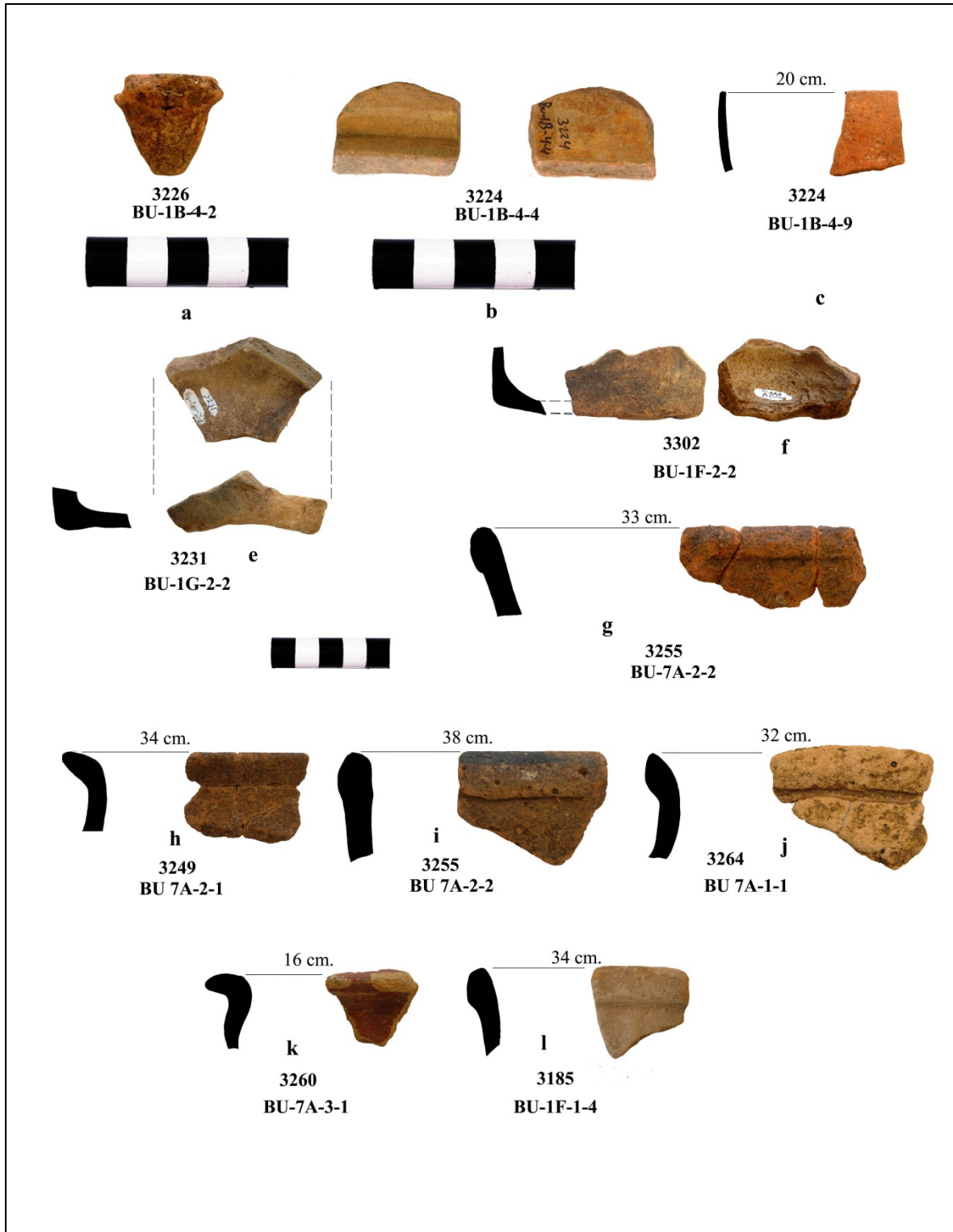


Figura 8.3 Cerámica Budsilhá. Temporada de excavación 2013 (análisis 2015).

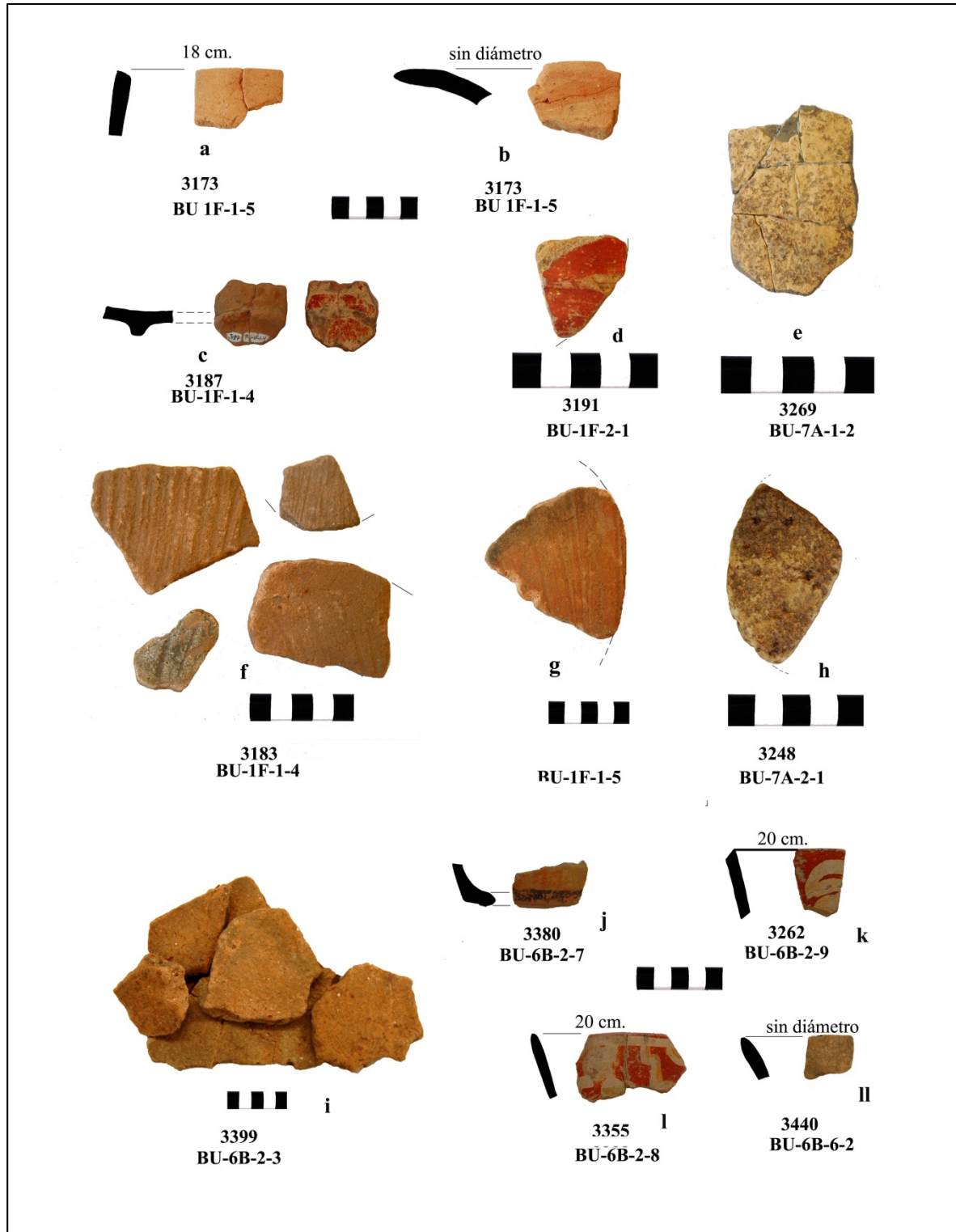


Figura 8.4 Colección cerámica Budsilhá. Temporada de excavación 2013 (análisis 2015).

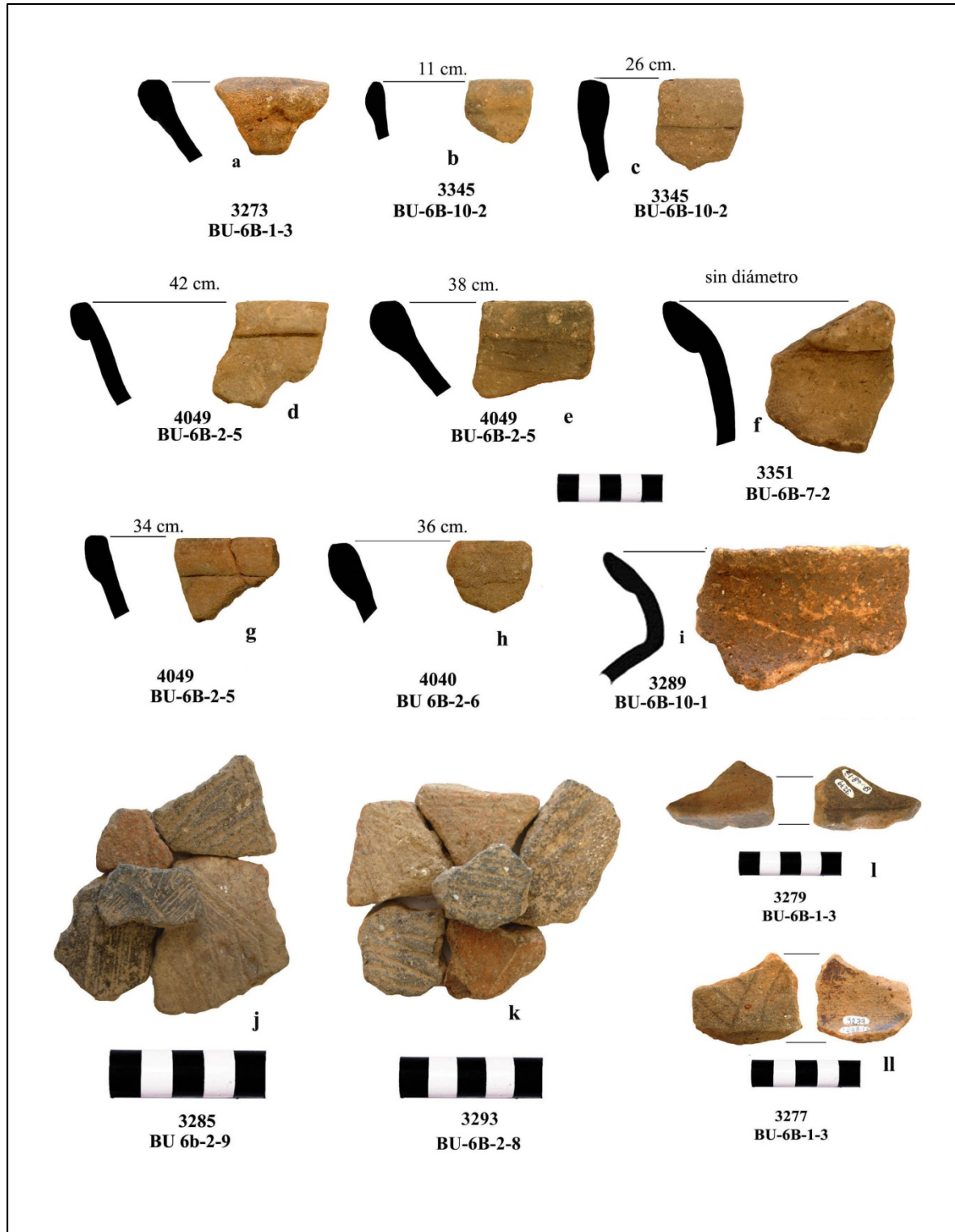


Figura 8.5 Colección cerámica Budsilhá. Temporada de excavación 2013 (análisis 2015).

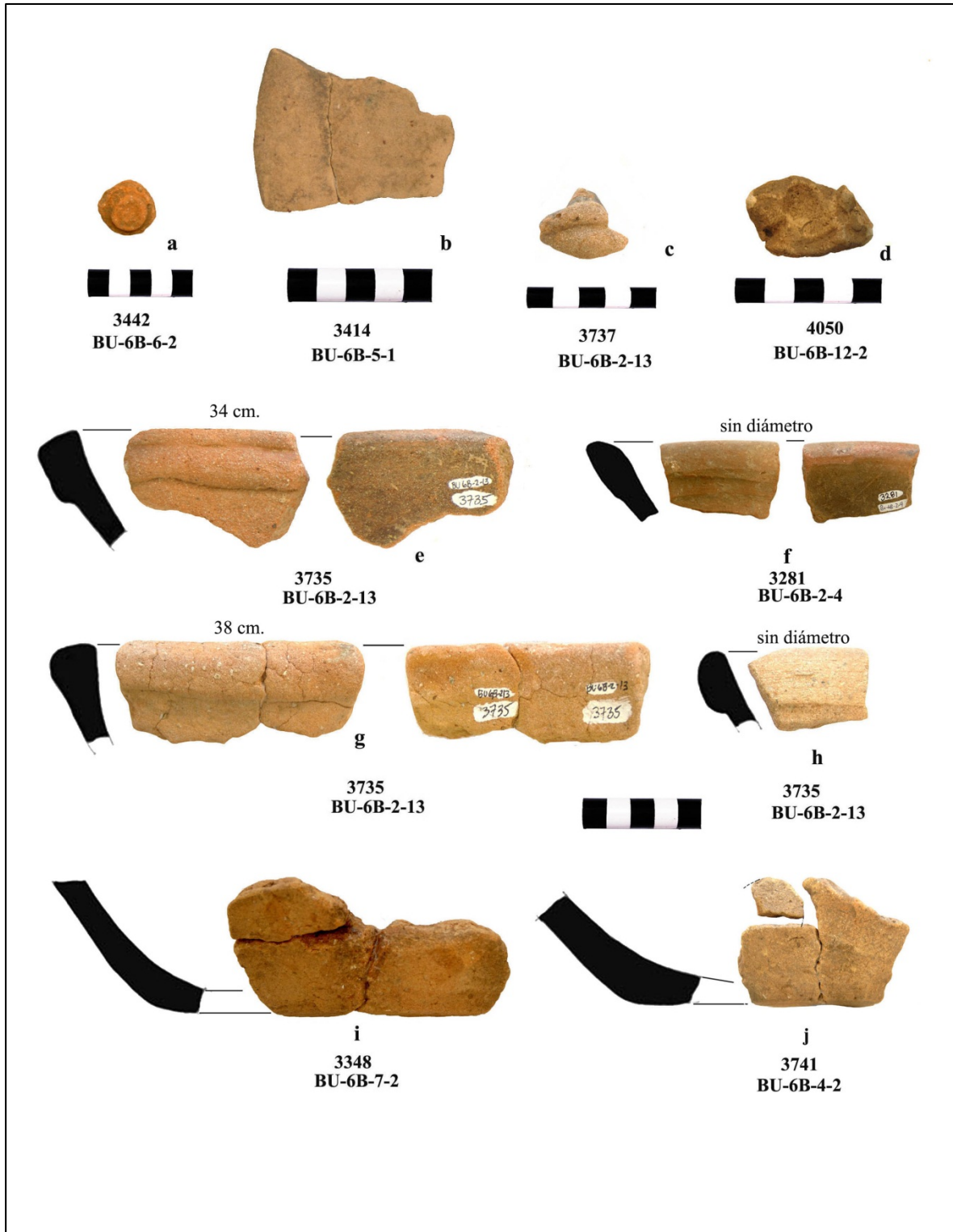


Figura 8.6 Colección cerámica Budsilhá. Temporada de excavación 2013 (análisis 2015).

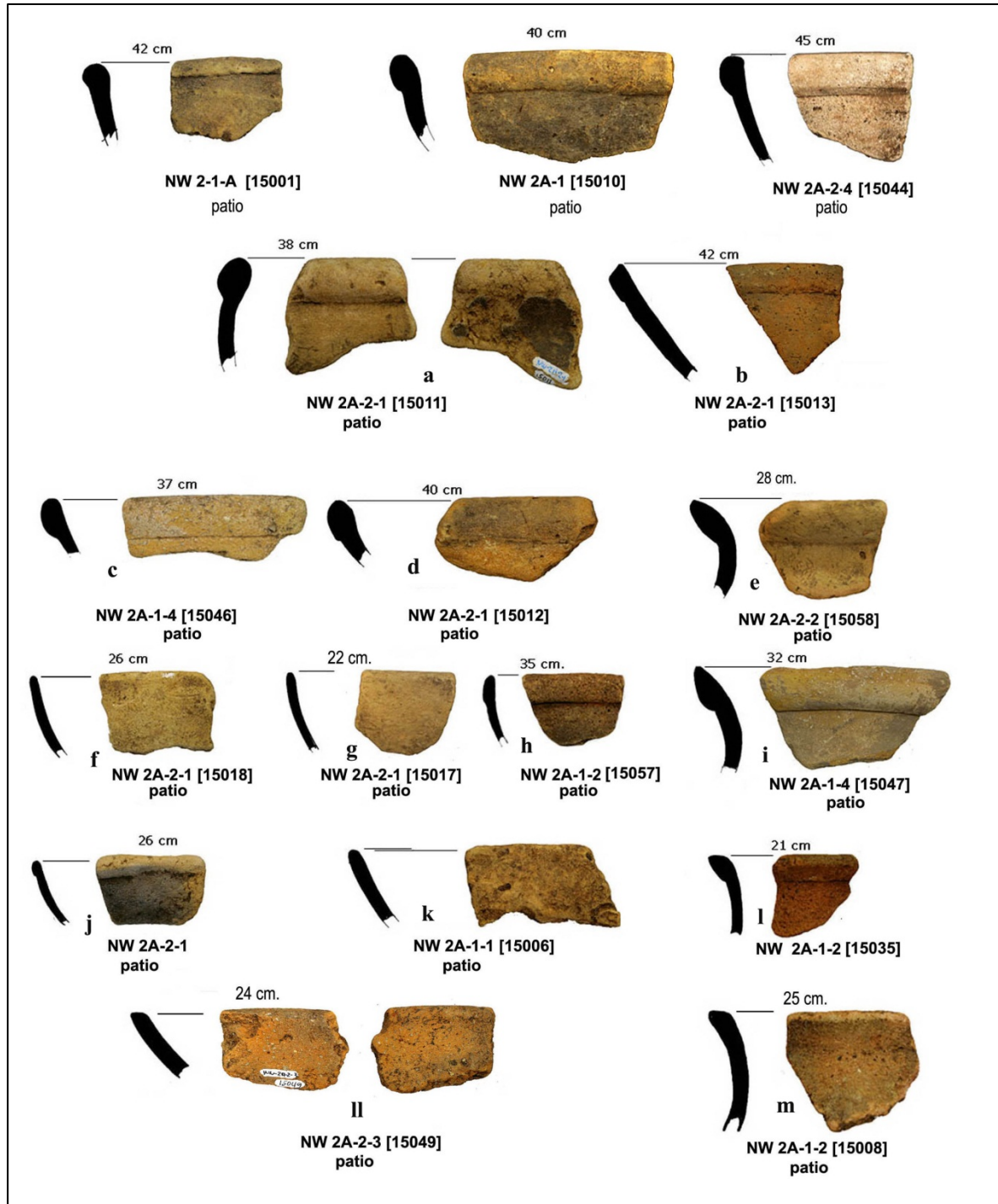


Figura 8.7 Colección cerámica Na Wits. Temporada de excavación 2013 (análisis 2015).



Figura 8.8 Colección cerámica Na Wits. Temporada de excavación 2013 (análisis 2015).

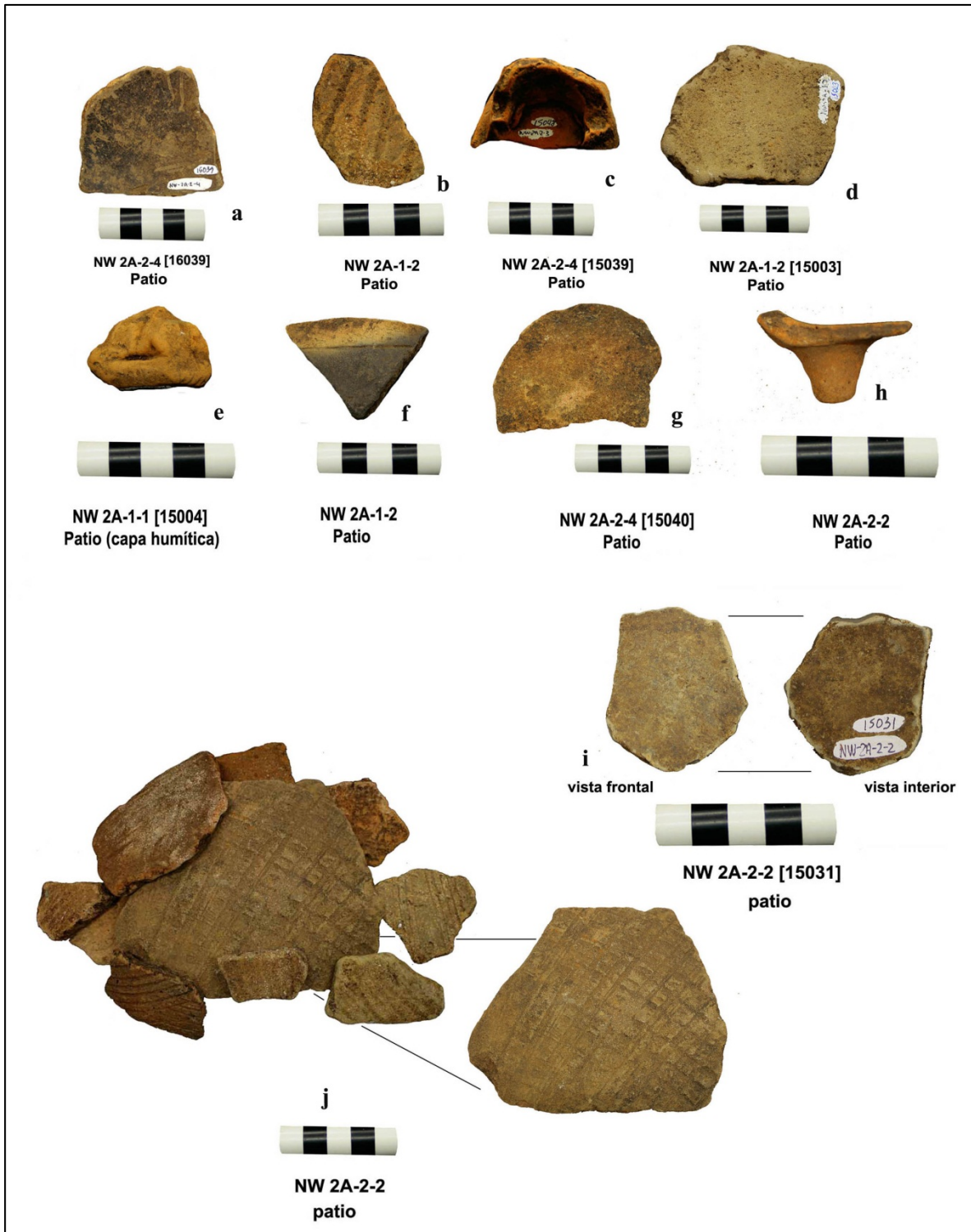


Figura 8.9 Colección cerámica Na Wits. Temporada de excavación 2013 (análisis 2015).

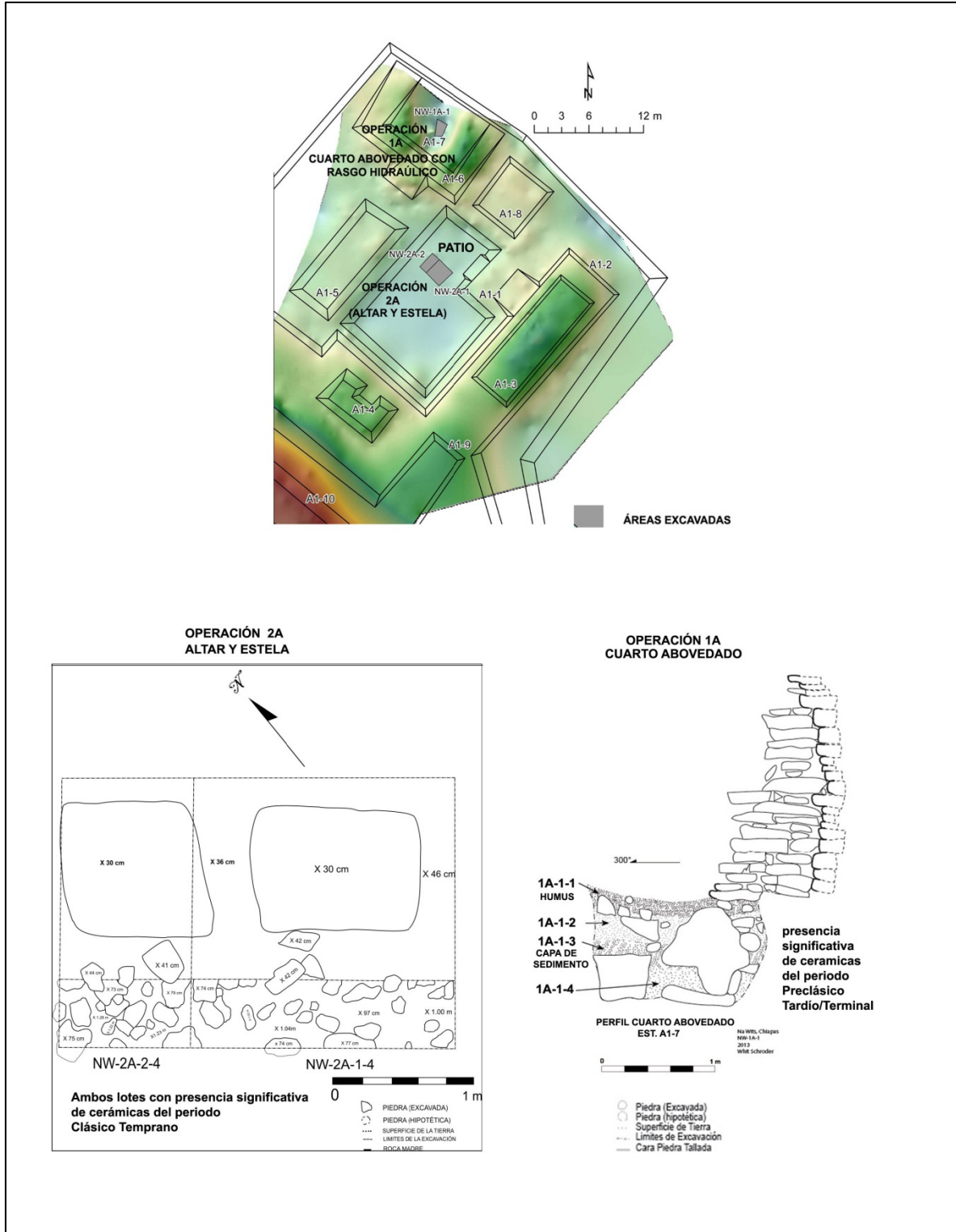


Figura 8.10 Contextos de Na Wits (Tomado de Scherer et al. 2013).

LISTA DE FIGURAS DEL ANÁLISIS CERÁMICO DE BUDSILHÁ Y NA WITS

Figura 8.1 (Budsilhá)

- 1 a.- artefacto “alisador”.
- 1b.- Fragmento de cazuela, pasta Carbonatada (pasta No. 22)
- 1c.- Fragmento de cazuela, pasta Carbonatada (pasta No. 22)
- 1d.- Fragmento de cazuela, pasta Carbonatada (pasta No. 22)
- 1e.- Fragmento de cazuela, pasta Carbonatada (pasta No. 22)
- 1f.- Fragmento de cazuela, pasta Carbonatada (pasta No. 22)
- 1g.- Fragmento de cazuela, pasta Carbonatada (pasta No. 22)
- 1h.- Fragmento de cazuela, pasta Carbonatada (pasta No. 22)
- 1i.- Fragmento de cazuela, pasta Carbonatada (pasta No. 22)
- 1j.- Fragmento de cazuela, pasta Carbonatada (pasta No. 22)
- 1k.- Fragmento de olla, pasta Carbonatada (pasta No.22)
- 1l.- Fragmento de olla de paredes delgadas, pasta Carbonatada (pasta No. 22)

Figura 8.2 (Budsilhá)

- 2a.- fragmento de olla de cuello largo, pasta Carbonatada (pasta No. 22)
- 2b.- fragmento de olla de cuello largo, pasta Carbonatada (pasta No. 22)
- 2d.- fragmento olla de cuello largo, pasta Carbonatada (pasta No. 22)
- 2e.- fragmento de olla de cuello largo, pasta Carbonatada (pasta No. 22)
- 2f.- fragmento de olla de cuello largo, pasta Carbonatada (pasta No. 22)
- 2g.- fragmento de fondo de olla de cuello largo, pasta Carbonatada (No. 22)
- 2h.- fragmento de olla de paredes delgadas, pasta Carbonatada fina. Restos de pintura roja (pasta No. 31)
- 2i.- fragmento de olla de paredes delgadas, pasta Carbonatada fina. Restos de pintura roja (pasta No.31)
- 2j.- “Tejos”. Tiestos recortados, pasta Carbonatada (pasta No. 22)
- 2k.- “Tejos”. Tiestos recortados, pasta Carbonatada (pasta No.22)

Figura 8.3 (Budsilhá)

- 3 a.- Soporte de plato, pasta de Carbonatada (pasta No. 22)
- 3b.- Fragmento de platón policromada, pasta Peten lustrosa (pasta No. 19 A)
- 3c.- Fragmento de cuenco en forma de “barril” (barril shape)
- 3e.- Fragmento de olla con fondo cóncavo, pasta “Yalkox” (pasta No. 38)
- 3f.- Fragmento de posible vaso, pasta “Yalkox” (pasta No. 38)
- 3g.- Fragmento de cazuela, pasta Carbonatada (pasta No. 22)
- 3h.- Fragmento de olla, pasta Arenosa-Transicional (pasta No. 21)
- 3i.- Fragmento de cazuela, pasta Carbonatada (pasta No. 22)
- 3j.- Fragmento de olla, pasta Carbonatada (pasta No. 22)
- 3k.- Fragmento de cajete, Miscelánea Preclásica (No. 26)
- 3l.- Fragmento de cazuela, pasta Carbonatada (pasta No. 22)

Figura 8.4 (Budsilhá)

- 4 a.- Fragmento de cajete, pasta Peten lustrosa policromada (No. 19 A)

- 4b.-Fragmento de platón, pasta Peten lustrosa policromada (No. 19 A)
- 4c.-Fragmento de platón, pasta Peten lustrosa policromada (No. 19 A)
- 4d.-Fragmento de cajete, Miscelánea Preclásica (No. 26)
- 4e.-Fragmento de vaso, pasta Negro fino (No. 4)
- 4f.-Fragmentos de ollas recortados (tejos)
- 4g.- Fragmentos de ollas recortados (tejo)
- 4h.-Fragmento de olla recortado (tejo)
- 4i.-Fragmentos de vasija de formas no conocida, olla? Pasta no identificada con restos de Mica
- 4j.-Fragmento de tambor, pasta Peten lustrosa policromada (No. 19 A)
- 4k.-Fragmento de cajete, pasta Peten lustrosa policromada (No. 19 A)
- 4l.- Fragmento de cajete, pasta Peten lustrosa policromada (No. 19^a)
- 4ll.- Fragmento de plato posiblemente trípode, pasta Caolinitica (No. 9)

Figura 8.5 (Budsilhá)

- 5 a.- Fragmento de cazuela, pasta Carbonatada (No. 22)
- 5b.- Fragmento de cazuela, pasta Carbonatada (No.22)
- 5c.- Fragmento de cazuela, pasta Carbonatada (No. 22)
- 5d.- Fragmento de cazuela, pasta Carbonatada (No. 22)
- 5e.- Fragmento de cazuela, pasta Carbonatada (No. 22)
- 5f.- Fragmento de olla de cuello largo, pasta Carbonatada (pasta No. 22)
- 5g.- Fragmento de cazuela, pasta Carbonatada (No. 22)
- 5h.- Fragmento de cazuela, pasta Carbonatada (No. 22)
- 5i.- Fragmento de olla de cuello largo de paredes delgadas, pasta Carbonatada (pasta No. 22)
- 5j.- Fragmentos de ollas estriadas, pasta Carbonatada burda (No. 30)
- 5k.- Fragmentos de ollas estriadas, pasta Carbonatada burda (No. 30)
- 5l.- Fragmento de cajete, pasta Peten lustrosa (No. 19)
- 5ll.- Fragmento de cajete, Miscelánea preclásico (No. 26)

Figura 8.6 (Busilhá)

- 6 a.- Ornamento “tiesto recortado
- 6b.- “Tejo” o tiesto recortado, fragmento de fondo de vaso o cajete, pasta Arenosa (No. 6)
- 6c.- Fragmento de figurilla
- 6d.- Fragmento de probable molde
- 6e.- Fragmento de cazuela, pasta Carbonatada (No. 22)
- 6f.- Fragmento de cazuela, pasta Carbonatada (No. 22)
- 6g.- Fragmento de cazuela, pasta Carbonatada (No. 22)
- 6h.- Fragmento de cazuela, pasta Carbonatada (No. 22)
- 6i.- Fragmento de olla de paredes gruesas, pasta Carbonatada (No. 22)
- 6j.- Fragmento de olla, de paredes gruesas, pasta Carbonatada (No. 22)

Figura 8.7 (Na Wits)

- 7a.-Fragmento de cazuela, pasta Carbonatada (No. 22)
- 7b.- Fragmento de cazuela, pasta Carbonatada (No. 22)
- 7c.- Fragmento de cazuela, pasta Carbonatada (No. 22)
- 7d.- Fragmento de cazuela, pasta Carbonatada (No. 22)
- 7e.- Fragmento de cazuela, pasta Carbonatada (No. 22)

- 7f.- Fragmento de cazuela, pasta Carbonatada (No. 22)
- 7g.- Fragmento de cazuela, pasta Carbonatada (No. 22)
- 7h.- Fragmento de cuenco, pasta Carbonatada (No. 22)
- 7i.- Fragmento de cuenco, pasta Carbonatada (No. 22)
- 7j.- Fragmento de cuenco, pasta Carbonatada (No. 22)
- 7k.- Fragmento de cuenco, pasta Carbonatada (No. 22)
- 7l.- Fragmento de cuenco, pasta Carbonatada (No. 22)
- 7ll.- Fragmento de cuenco, pasta Carbonatada (No. 22)
- 7m.- Fragmento de olla, pasta Carbonatada (No. 22)
- 7n.- Fragmento de olla, pasta Carbonatada (No. 22)
- 7ñ.- Fragmento de olla, pasta Carbonatada (No. 22)
- 7o.- Fragmento de olla, pasta Carbonatada (No. 22)

Figura 8.8 (Na Wits)

- 8 a.- “Tejo” o fragmento de cerámica recortado (pasta No. 19)
- 8b.- “Tejo” o fragmento de cerámica recortado (pasta No. 22)
- 8c.- Soporte de plato (pasta No. 19A)
- 8d.- “Tejo” o fragmento de cerámica recortado (pasta No. 22)
- 8e.- fragmento de cuenco (pasta No. 22)
- 8f.- Fragmento de figurilla
- 8g.- Fragmento de cajete, pasta de textura rasposa (pasta No. 12)
- 8h.- Soporte de cajete (pasta No. 6)
- 8i.- Fragmento de cajete, pasta Peten Lustrosa (No. 19A)
- 8j.- Fragmento de platón, pasta Peten Lustrosa (No. 19A)
- 8k.- Fragmento de cajete, pasta Peten Lustrosa (No. 19A)
- 8l.- Fragmento de platón, pasta Peten Lustrosa (No. 19A)
- 8ll.- Fragmento de cajete, pasta Peten Lustrosa (No. 19A)
- 8m.- Fragmento de cajete, pasta Peten Lustrosa (Aguila) (No. 19)
- 8ñ.- Fragmento de cazuela, pasta Carbonatada (No. 22)

Figura 8.9 (Na Wits)

- 9 a.- Fragmento de cajete, pasta Gris fina (No. 2)
- 9b.- Fragmentos de ollas estriadas, pasta Carbonatada (No. 22)

Figura 10.- Contextos de Na Wits (Tomado de Scherer et al. 2013)

Anexo 8.1 Tablas Budsilha

INSPECCION VISUAL DE PASTAS	LOTE 1		LOTE 2		LOTE 3		LOTE 5		LOTE 6		LOTE 7		LOTE 8		LOTE 9		LOTE 10		%	PESO	
	CANT.	PESO	CANT.	PESO	CANT.	PESO	CANT.	PESO	CANT.	PESO											
1B-4																					
1.- Talcosa																					
2.- Gris fino																					
3.- Anaranjada fina																					
4.- Negro fino																					
5.- Café fina																					
6.- Arenosa	3	19.2	2	22.8	5	11.2	14	68.2	12	100.1					2	11.6	8	91	46	3.44	121.4
7.- Arenosa con oxidacion completa																					
8.- Micacea																					
9.- Caolinitica																					
10.- Aluvion																					
11.- Nucleo de textura jabonosa																					
12.- De textura rasposa																					
13.- Arenosa bajo																					
14.- Gredosa crema con oxidacion completa																					
15.- Rasposa de paredes delgadas con nucleo negro																					
16.- Crema con nucleo negro pos.lustrosa																					
17.- Gredosa oxidada																					
18.- Arenosa rojiza oxidada																					
19.- Carbonatada con restos de engobe peten lustroso																					
19A.- Carbonatada Peten lustroso policromos																					
20.- Carbonatada compacta																					
21.- Arenosa transicional (incluye estriados)																					
22.- Carbonatada	7	102.2	30	510.4	18	256.4	59	934.8	470	6929.5	80	724.3	58	691.2	71	1028.8	71	1099	864	64.71	12276.4
23.- Pomacea																					
25.- Miscelanea			1	19.4			2	21.4				7	13.9						10	0.74	54.7
26.- Miscelanea pos. Preclásica															1	10.8			1	0.07	10.8
30.- Carbonato burdo																					
31.- Carbonatada fina																					
33.- Carbonatada burda (preclásica)																					
34.- Carbonatada amarillenta (preclásica)																					
38.- Pasta "Yalkox"					2	12.6													1	0.07	18.1
54.- Talcosa carbonatada																					
Artefactos varios									7	141.7	1	25.2	2	21.4				10	0.74		188.3
Erosionados	10	121.4	63	1053	25	280.2	105	1143	722	7962.1	114	819	61	717.1	148	1349.2	87	1222	1335	100.00	14666.8

INSPECCION VISUAL DE PASTAS	68-1			68-2			68-3			68-4			68-5			68-6			68-7			68-10			68-11			68-12			PESO %										
	LOTE 1	LOTE 2	LOTE 3	LOTE 1	LOTE 2	LOTE 3	LOTE 1	LOTE 2	LOTE 3	LOTE 1	LOTE 2	LOTE 3	LOTE 1	LOTE 2	LOTE 3	LOTE 1	LOTE 2	LOTE 3	LOTE 1	LOTE 2	LOTE 3	LOTE 1	LOTE 2	LOTE 3	LOTE 1	LOTE 2	LOTE 3	TOTAL													
	CANT.	PESO	CANT.	PESO																																					
1.- Talosa																																									
2.- Gris fino			1	1.2																																					
3.- Anaranjada fina																																									
4.- Negro fino																																									
5.- Café fina																																									
6.- Arena	2	10.6	2	10	2	2	2	2.8																																	
7.- Arena con oxidacion completa																																									
8.- Micaea																																									
9.- Caolinita																																									
10.- Alurion																																									
11.- Nucleo de textura jabonosa																																									
12.- De textura espesa																																									
13.- Arena bajo																																									
14.- Creos crema con oxidacion completa																																									
15.- Respos de paredes delgadas con nucleo negro																																									
16.- Crema con nucleo negro pro. listosa																																									
17.- Creos oxidada																																									
18.- Arena roja oxidada																																									
19.- Carbonatada peren listoso			1	1.5																																					
19A.- Peen listoso policromos			1	8.6			1	1.2																																	
20.- Carbonatada compacta																																									
21.- Arena transicional (incluye estrados)																																									
22.- Carbonatada	6	34.2	23	196	24	290.6	4	39.4																																	
23.- Pomacea																																									
25.- Miscelanea																																									
26.- Miscelanea pos. Pedastica			2	35.4																																					
30.- Carbonato burdo			4	8.4																																					
31.- Carbonatado fina			4	39.8																																					
33.- Carbonatado burdo (pedastica)																																									
34.- Carbonatado amarillento (pedastica)																																									
38.- Pasta "alkox"																																									
54.- Talosa carbonatada																																									
Aterfados veros	3	20.8	15	75	22	61.2	5	31.2	6	46.8																															
Enstrados	11	66	40	281	60	421	10	71.8	9	51	3	55.9	3	30.2	55	370	7	36.2	27	145.6	10	210	92	1337	43	cc	71	552.8	6	20.2	11	43	17	89	86	858.6	2	34.2	587	100.00	5463.3

INSPECCION VISUAL DE PASTAS	1G-1				1G-2				CANTIDAD	%	PESO GRAMOS
	LOTE 1		LOTE 2		LOTE 3		PESO	PESO			
	CANT.	PESO	CANT.	PESO	CANT.	PESO					
1.- Talcosa											
2.- Gris fino											
3.- Anaranjada fina											
4.- Negro fino											
5.- Café fina											
6.- Arenosa			2	1.2	2	8.8	4	26.67	10.0		
7.- Arenosa con oxidacion completa											
8.- Micacea											
9.- Caolinitica											
10.- Aluvion											
11.- Nucleo de textura jabonosa											
12.- De textura rasposa											
13.- Arenosa bajo											
14.- Gredosa crema con oxidacion completa											
15.- Rasposa de paredes delgadas con nucleo negro											
16.- Crema con nucleo negro pos. lustrosa											
17.- Gredosa oxidada											
18.- Arenosa rojiza oxidada											
19.- Carbonatada con restos de engobe peten lustroso											
19A.- Carbonatada Peten lustroso policromos											
20.- Carbonatada compacta											
21.- Arenosa transicional (incluye estriados)											
22.- Carbonatada	1	38.2	5	106.2	1	9.8	7	46.66	154.2		
23.- Pomácea											
25.- Miscelanea											
26.- Miscelanea pos. Preclásica											
30.- Carbonato burdo											
31.- Carbonatada fina											
33.- Carbonatada burda (preclásica)											
34.- Carbonatada amarillenta (preclásica)											
38.- Pasta "Yalkox"			1	35.6			1	6.67	35.6		
54.- Talcosa carbonatada											
Artefactos varios											
Erosionados			3	10.4			3	20.00	104.0		
							15	100.00	303.8		

INSPECCION VISUAL DE PASTAS	1F - 1										1F - 2						CANT	% CANT.	PESO		
	LOTE 1		LOTE 3		LOTE 4		LOTE 5		LOTE 1		LOTE 2		LOTE 3								
	CANT.	PESO	CANT.	PESO	CANT.	PESO	CANT.	PESO	CANT.	PESO	CANT.	PESO	CANT.	PESO							
1.- Talcosa																					
2.- Gris fino																					
3.- Anaranjada fina																					
4.- Negro fino													1	5	1	0.26	5.0				
5.- Café fina																					
6.- Arenosa					2	3.5				2	10.6				4	0.11	14.3				
7.- Arenosa con oxidacion completa																					
8.- Micacea																					
9.- Caolinitica						1	1.8								1	0.26	1.8				
10.- Aluvion																					
11.-Nucleo de textura jabonosa																					
12.- De textura rasposa																					
13.-Arenosa bajo																					
14.-Gredosa crema con oxidacion completa																					
15.- Rasposa de paredes delgadas con nucleo negro																					
16.-Crema con nucleo negro pos.lustrosa																					
17.-Gredosa oxidada																					
18.-Arenosa rojiza oxidada																					
19.-Carbonatada con restos de engobe peten lustroso										4	37.1				4	0.11	37.1				
19A.- Carbonatada Peten lustroso policromos						11	90.9								11		90.9				
20.-Carbonatada compacta																					
21.-Arenosa transicional (incluye estrizados)																					
22.-Carbonatada	1	15.2	1	11	128	2155.3	85	997.3		16	217	2	12.8	233	2.96	3488.0					
23.- Pomácea																					
25.-Miscelanea																					
26.-Miscelanea pos. Preclástica						6	15			1	9				7	1.87	24.0				
30.-Carbonato burdo																					
31.- Carbonatada fina						3	23.5	1	13.5						4	0.26	37.0				
33.- Carbonatada burda (preclástica)																					
34.- Carbonatada amarillenta (preclástica)																					
38.- Pasta "Yalkox"															4	38.2	6	29.4	10	2.69	67.6
54.- Talcosa carbonatada																					
Artefactos varios																					
Erosionados	1	15.2	4	33.1	212	2512	112	1111.8	5	37	26	281.6	11	53.8	371	100.00	4074.1				

Operación 6B - 2		LOTE 2		LOTE 3		LOTE 4		LOTE 5		LOTE 6		LOTE 7		LOTE 8		LOTE 9		LOTE 11		LOTE 12		LOTE 13		LOTE 14		TOTAL	%	PESO		
		CANT.	PESO	CANT.	PESO	CANT.	PESO	CANT.	PESO	CANT.	PESO	CANT.	PESO	CANT.	PESO	CANT.	PESO	CANT.	PESO	CANT.	PESO	CANT.	PESO	CANT.	PESO			GRAMOS		
INSPECCION VISUAL DE PASTAS																														
1.- Talcosa																														
2.- Gris fino																														
3.- Anarajada fina																														
4.- Negro fino																														
5.- Café fina																														
6.- Arenosa		4	13.2																		15	97.2			19	2.47	110.4			
7.- Arenosa con oxidacion completa																														
8.- Micaea																														
9.- Caolinitica																														
10.- Aluvion																														
11.-Nucleo de textura jabonosa																														
12.-De textura reposa																														
13.-Arenosa bajo																														
14.-Gredosa crema con oxidacion completa																														
15.-Resposa de par. delgadas con nucleo negro																														
16.-Crema con nucleo negro pos.lustrosa																														
17.-Gredosa oxidada																														
18.-Arenosa rojiza oxidada																														
19.-Carbonatada peten lustroso				1	2.8			3	14.4	8	51.2	4	24.2	4	8.4								3	17	1	18.6	25	3.25	136.4	
19A.- Carbonatada Peten lustroso policromos		1	10.4	1	10.4	2	9.2	8	32.4	5	39.2	23	112	3	30	25	157.6	11	42					1	2.6	80	10.41	445.4		
20.-Carbonatada compacta						2	17.4									53	197									55	7.16	109.4		
21.-Arenosa transicional (incluye estridados)																														
22.-Carbonatada		15	17.06	2	38.4	8	122.4	23	256	32	534	45	551	18	504.8	2	112.8	93	695.6	2	48.2	35	382.4	5	61.8	295	38.41	3458.3		
23.- Pomacea																														
24.-Contexto cueva																														
25.-Miscelanea				10	125.5					3	2.6	1	2.6					2	21.4	1	3.2			1	3.8	18	0.09	199.1		
26.-Miscelanea pos. Preclásica										1	er			1	6.8			1	5.8	1	2.6					4	0.52	18.8		
30.-Carbonato burdo										7	74.6			83	528.6	27	122.6	32	122.8	15	133					125	16.27	784.2		
31.- Carbonatada fina		1	7			7	50.6						12	69.6	28	105.2	7	45.6								94	12.23	475.4		
33.- Carbonatada burda (preclásica)																														
34.- Carbonatada amarillenta (preclásica)																														
54.- Talcosa carbonatada																														
Artefactos varios						8	27.8													1	5						3	0.39	13.3	
Erosionados								5	270			4	12.6	20	103.4												50	6.51	445.2	
		20	37.26	13	174.3	25	214	32	552.6	54	658	75	726.2	177	1385	43	319.4	153	1003.2	46	331.2	52	436	8	86.8	768	100.00	6271.3		

CAPÍTULO 7

LA CERÁMICA DE NA WITS

Socorro del Pilar Jiménez Alvarez

Na Wits es un asentamiento arqueológico ubicado sobre un cerro con vista dominante al valle y se encuentra localizado al sureste del sitio de La Mar Es un sitio que por primera vez fue registrado en el año de 2012 y en el 2013, Chales Golden, Pedro Guzmán y Whittaker Schroeder realizaron un estudio preliminar a modo de una serie de excavaciones para poder determinar la cronología del sitio e investigar posibles relaciones y vínculos con La Mar y su asentamiento rural (Scherer et al, 2013:).

Se realizaron dos excavaciones arqueológicas, la Operación 1A y la operación 2A. La Operación 1A se ubicó dentro de un cuarto de mampostería con su bóveda colapsada en la parte inferior de la plataforma, que forma el basamento de la Estructura A1-7. La excavación tuvo como meta principal la explicación de la función del espacio arquitectónico del cuarto abovedado. Se comenzaron las excavaciones con la idea de que el espacio podía representar una tumba funeraria o tal vez una etapa constructiva enterrada de la Estructura A1-7; sin embargo al final de la excavación se pudo evidenciar que se trataba de un rasgo hidráulico que funcionaba como cisterna durante la época prehispánica. La unidad midió aproximadamente 1.40 m, con el eje principal aproximadamente a 30° azimut, igual que el cuarto. La excavación midió 1.20 m de ancho máximo y .90 m mínimo; la diferencia a lo largo de la unidad fue resultado de la forma de la roca madre, que constituyó la base del cuarto (Scherer et al. 2013).

Por su parte, la Operación 2A corresponde a dos excavaciones realizadas en el centro del patio donde se localizó una piedra cuadrada de aproximadamente 90 cm de ancho por 1.20 m de largo. Así que se decidió trazar la primera unidad en ese lugar (NW-2A-1). Conforme las excavaciones iban avanzando en la parte oeste de esta piedra (al parecer un altar) se localizó otra, cuadrada, de menores dimensiones; así que se decidió trazar la otra unidad con medidas de 1 x 1 m, para comprender lo que eran dichas piedras (NW-2A-2) (Scherer et al. 2013). A continuación se detallaran los resultados de los análisis cerámicos realizados en la cerámica del sitio.

TABLA 9.1 NAWITS 2013				
INSPECCION VISUAL DE PASTAS	TEXTURA "APARENTE"	CANTIDADES	PESO	PORCENTAJE
1.- Talcosa	fina			
2.- Gris fino	fina	12	1028	1.3%
3.- Anaranjada fina	fina			
4.-Negro fino	fina			
5.-Café fina	fina			
6.- Arenosa	mediana	53	437.7	1.8%
7.- Arenosa con oxidacion completa	mediana			
8.- Micacea	mediana			
9.- Caolinitica	mediana	10	34.8	0.3%
10.-Aluvion	mediana	1	4.3	<0.0%
11.-Nucleo de textura jabonosa	mediana			
12.-De textura rasposa	mediana	1	23.5	<0.0%
13.-Arenosa bayo	mediana			
14.-Gredosa crema con oxidacion completa	mediana			
15.-Rasposa de paredes delgadas con nucleo negro	mediana			
16.-Crema con nucleo negro pos.lustrosa	mediana			
17.-Gredosa oxidada	mediana			
18.-Arenosa rojiza oxidada	mediana			
19.-Carbonatada con restos de engobe peten lustroso	mediana	56	502.3	1.9%
19A.- Carbonatada Peten lustroso (policromos)	mediana	9	158.3	0.3%
20.-Carbonatada compacta	burda	12	203.3	0.4%
21.-Arenosa transicional (incluye estriados)	burda			
22.-Carbonatada	burda	1168	14438.6	39.3%
23.- Pomácea	burda			
25.-Miscelanea	variada	39	254.6	1.3%
26.-Miscelanea pos. Preclásica	variada	38	653	1.3%
30.- Carbonato burdo	burda			
31.- Carbonatada fina	mediana	235	805	7.9%
33.- Carbonatada burda (preclásica)	burda	96	407	3.2%
34.- Carbonatada amarillenta (preclásica)	mediana	1	2	<0.0%
38.- Pasta Yalkox	fina			
54.- Talcosa carbonatada	mediana	15	172.2	0.5%
Artefactos varios		19		0.6%
erosionados		1200	3726.9	40.4%
	TOTAL	2969	22851.5	100.0%

Tabla 9.1 Tabla de Na Wits (general).

Resultados de la Cerámica Analizada

En Na Wits se recuperaron un total de 2,966 fragmentos cerámicos con un peso de 22851.5 gramos. La gran mayoría de los fragmentos cerámicos corresponden al periodo Clásico Tardío y en menores cantidades al periodo Clásico Temprano. Los materiales del periodo Preclásico Tardío no superan el 2% de la muestra analizada. Estos resultados sugieren que el asentamiento tuvo una ocupación continua y prolongada desde del periodo Preclásico Tardío-Terminal al Periodo Clásico Tardío en su faceta temprana (c. 150 aC -750 d.C.)

La Operación 1A se constituye por cuatro lotes de excavación se recuperaron un total de 20 fragmentos cerámicos (110.1 gramos). Los lotes en general se destacan por la presencia de cerámicas policromas del periodo Clásico Tardío que se hallan en los mismos niveles que las cerámicas con engobes cremas y rojos cerosos del Periodo preclásico Tardío (33.- carbonatos burdos con estrías finas y 26.- Miscelánea Preclásica, 19 A Peten lustroso con evidencia de policromía). Lo interesante de esta Operación es que aunque la evidencia de cerámica es escasa, los materiales que corresponden al periodo Preclásico Tardío-Terminal (15 fragmentos) superan en cantidad a los pertenecientes al periodo Clásico (5 fragmentos). Las exploraciones de la Operación 1 A son interesantes debido a que el resultado del análisis cerámico deja entrever que es un área de excavación potencial para comenzar a investigar la ocupación prehispánica relacionada con el periodo Preclásico Tardío.

La Operación 2A se constituye por dos unidades de excavación (2 A-1 y 2A-2) que arrojaron el mayor volumen de materiales excavados en el sitio de Na Wits, es decir 2,761 fragmentos cerámicos (con un peso de 20677.5 gramos) en los que se incluyen algunos tuestos recortados y fragmentos de figurillas. En la Unidad 2A -1 que corresponde a la liberación de la piedra lisa que corresponde a un altar, se recuperaron un total de 1,246 fragmentos cerámicos (10363.5 gramos). Esta unidad se constituyó de cuatro lotes de excavación.

Lo interesante de la unidad 2 A-1, fue la presencia en el lote 4 (último lote excavado) de ciertas cerámicas Peten lustrosa en colores negro y anaranjado con rasgos modales del periodo Clásico Temprano. Como el caso de las cazuelas con los bordes aplanados y la presencia de ciertas bases anulares (19 Peten Lustrosa). Olla de cuello largo de pasta carbonatada (pasta No. 22) con una tendencia de pasta blanca así como la presencia de Miscelánea Preclásica y carbonatos burdos se hallaron en el lote 4. En este lote no se registró la presencia de pastas silicoclásticas (6-Arenosa,

2.- Gris fino y policromía Tepeu) que son características del periodo Clásico Tardío. Cerámicas del periodo Clásico Tardío, y Preclásico se hallaron mezcladas en los lotes del 1 al 3.

En las excavaciones generales de la Unidad 2A- 1, se puede indicar que solamente 65 fragmentos (2.1%) de los 2966, corresponden al periodo Preclásico Tardío. El resto de los materiales en su mayoría pueden ser ubicados cronológicamente en el periodo Clásico Tardío y con frecuencia menor en el periodo Clásico Temprano.

Por su parte la Unidad 2 A-2 correspondió a la excavación de un fragmento de estela. En esta unidad se recuperaron 1515 fragmentos (con 10314 gramos) y también al igual que la Unidad 2 A-1, fue intervenida con cuatro lotes excavados. Algunos fragmentos de gris fino y de pastas arenosas silicoclásticas del Periodo Clásico Tardío se hallaron únicamente en los lotes 1 y 2 que corresponden a las excavaciones superficiales y antes de las excavaciones del piso del patio.

En el lote 3 y 4 se excavaron los restos de un piso y el relleno constructivo del mismo. En estos dos lotes el registro de cerámica del periodo Clásico Temprano es significativo si se comparan los materiales de las excavaciones generales de Na Wits. En estos dos lotes, se hallaron cerámicas Peten lustrosas con rasgos modales del Periodo Clásico Temprano (Policromía) y algunos del Periodo Clásico Tardío (Policromía). Varias ofrendas de materiales diversos fueron halladas en estos contextos (navajillas de obsidiana, sílex, etc.). Las cerámicas halladas en estos dos lotes se caracterizan por la representación de ollas de cuello alargado de pastas carbonatadas (de una tendencia o incremento de fragmentos con una pasta de tonalidad blanca con fragmentos de Xute) y cerámicas carbonatadas burdas que muestran un estriado fino típico del periodo Clásico Tardío.

En las excavaciones generales de la Unidad 2A- 2, se puede expresar que solamente 52 fragmentos (1.7%) de los 2,966 fragmentos corresponden al periodo Preclásico Tardío. El resto de los materiales en su mayoría pueden ser ubicados cronológicamente en el periodo Clásico Tardío y con frecuencia menor en el periodo Clásico Temprano.

Las exploraciones de la Operación 2A son interesantes debido a que el resultado del análisis cerámico deja a luz que es un área de excavación potencial para comenzar a investigar el auge de la ocupación prehispánica relacionada entre finales del periodo Clásico Temprano e inicios del periodo Clásico Tardío (c. 550/600 d.C.) o quizá un poco antes.

NA WITS	NA WITS 2A-1											
	LOTE 1			LOTE 2			LOTE 3			LOTE 4		
	CANT.	PESO		CANT.	PESO		CANT.	PESO		CANT.	PESO	
IPASTAS												
1.- Talcosa												
2.- Gris fino	3	62.5	6	21.9	1	2.5			10	0.7%	86.9	
3.- Anaranjada fina												
4.- Negro fino												
5.- Café fina												
6.- Arenosa	3	12.8	18	174.4	5	56.2			26	1.8%	243.4	
7.- Arenosa con oxidacion completa												
8.- Micacea												
9.- Caolinitica	5	10.6							6	0.4%	14.7	
10.- Aluvion					1	20.5					20.5	
11.- Nucleo de textura jabonosa												
12.- De textura rasposa	1	23.5							1	0.1%	23.5	
19.- Carbonatada con engobe peten lustroso	1	2.9	22	103.1	5	42.7			37	2.6%	225.4	
19A.- Carbonatada Peten lustroso polic.			4	50.7	2	21.3			6	0.4%	72	
20.- Carbonatada compacta			10	121.5					10	0.7%	121.5	
21.- Arenosa transicional (incluye estriados)												
22.- Carbonatada	93	1042.6	295	3851.2	153	1894			58	869.4	599	7657.2
23.- Pomácea												
24.- Contexto cueva												
25.- Miscelanea			9	52.9	10	108.5			1	9.9	20	171.3
26.- Miscelanea pos. Preclásica	2	14.3	4	74.5	4	78.5			3	79.5	13	246.8
30.- Carbonato burdo			45	284.8					18	220.2	63	505
31.- Carbonatada fina	3	57.9	32	223.9	31	199.4			66	4.6%	481.2	
33.- Carbonatada burda (preclásica)												
34.- Carbonatada amarillenta (preclásica)												
38.- Pasta "Yalkox"			1	4.3					1	0.1%	4.3	
54.- Talcosa carbonatada	3	23.7	12	148.5					15	1.0%	172.2	
Artefactos varios	2	16	12	99.5	2	8.2			2	82.6	18	206.3
Erosionados	70	181.6	224	706.7	220	558.7			28	121.7	542	1568.7
	186	1448.4	694	5917.9	434	2990.5			121	1476.6	1433	11833.40

NA WITS	NA WITS 2A-2												
	LOTE 1			LOTE 2			LOTE 3			LOTE 4			
	CANT.	PESO		CANT.	PESO		CANT.	PESO		CANT.	PESO		
IPASTAS													
1.- Talcosa													
2.- Gris fino			2	14.3							2	0.1%	1
3.- Anaranjada fina													
4.- Negro fino													
5.- Café fina													
6.- Arenosa	6	28.5	9	88.9	10	55.9	18	82.5	43	2.8%	255.8		
7.- Arenosa con oxidacion completa													
8.- Micacea			4	20.1					4	0.3%	20.1		
9.- Caolinitica													
12.- De textura rasposa													
19.- Carbonatada con engobe peten Lust.	6	120.8	9	86.8	1	3	3	68.4	19	1.3%	279		
19A.- Carbonatada Peten lustroso polic.					1	57.2	1	2.4	2	0.1%	59.6		
20.- Carbonatada compacta			2	81.8					2	0.1%	81.8		
21.- Arenosa transicional													
22.- Carbonatada	259	3296.7	244	2642.8	34	292.2	24	240.8	561	37.1%	6472.5		
23.- Pomácea													
24.- Contexto cueva													
25.- Miscelanea			19	83.3					19	1.3%	83.3		
26.- Miscelanea pos. Preclásica	12	81.1			12	164.9			24	1.6%	246		
30.- Carbonato burdo							29	169.4	29	1.9%	169.4		
31.- Carbonatada fina	122	59.4	21	119.3	5	45.8	2	9.1	150	9.9%	233.6		
33.- Carbonatada burda (preclásica)													
34.- Carbonatada amarillenta (preclásica)													
38.- Pasta "Yalkox"													
54.- Talcosa carbonatada							1	68.3	1	0.1%	68.3		
Artefactos varios	258	916.6	280	877.3	120	360.3			658	43.5%	2154.2		
Erosionados	663	4503.1	284	897.4	183	979.3	78	640.9	1514	100.0%	10137.9		

CAPÍTULO 8

CONCLUSIONES

Charles Golden, Andrew K. Scherer, Whittaker Schroder, y Jeffrey Dobereiner

Con los resultados de la temporada de campo de 2015 hemos avanzado en el conocimiento de la región y establecido una base para realizar investigaciones más amplias en las temporadas subsecuentes. En cuanto a las metas principales de la temporada, se conoce más de los patrones de asentamiento, de las relaciones espaciales entre los sitios, del vínculo entre el paisaje y los patrones de asentamiento, y de los patrones agrícolas antiguos. Aunque los resultados son preliminares, podemos juntar los datos de la sexta temporada del PABC con los publicados por otros proyectos en la región del Usumacinta Medio, con el fin de clarificar y llenar los vacíos de información.

Excavaciones Preliminares

Con los trabajos de investigación en los sitios La Selva y El Infiernito, hemos aprendido más sobre el asentamiento Clásico Tardío de la región. El sitio La Selva reveló bastante información aunque ha sido saqueado bastante. Recuperamos una muestra extensiva de cerámica del sitio que en años futuros va a ser analizado en el laboratorio de la Universidad Autónoma de Yucatán, Mérida. Pero es seguro que La Selva era un asentamiento pequeño pero importante durante el periodo Clásico Tardío, según la cantidad de cerámica policroma de la fase Yaxche (620-750 d.C.) de Piedras Negras. Aunque los entierros no fueron completos, sabemos que las personas eran gente importante, y su tumba formó el foco del sitio en el edificio principal. Pero todavía falta bastante trabajo para buscar evidencia de basureros con mejor estratigrafía y artefactos no mezclados. También hay que investigar el lado este del sitio y la estructura de rango aún conservada. Otros trabajos importantes serán conocer mejor la comunidad y los dueños de las parcelas alrededor del sitio, porque estamos seguro que queda bastante asentamiento para entender hasta donde extiende el sitio.

El registro y las excavaciones preliminares de El Infiernito fueron también exitosos en conocer un sitio único en la región por la cantidad de su asentamiento en el alto de un cerro. Las excavaciones en el patio principal encontraron bastante evidencia de un basurero, con cerámica de dos periodos distintos: el periodo Preclásico Tardío y el periodo Clásico Tardío, sin evidencia del tiempo entre ellos. Con esos datos quedan las preguntas sobre la razón que gente quisieran vivir

en el cerro y porque solo en esos periodos. Investigaciones futuras concentrarán en esas preguntas con la hipótesis que vivir en el cerro era una adaptación a las crisis durante el periodo Clásico Tardío. Con excavaciones más completas de los otros grupos encima y abajo del cerro, hay la posibilidad de entender este sitio interesante mejor.

Reconocimiento en los Alrededores de Budsilha y Nuevo Guerrero

Esta temporada tuvimos la oportunidad de conocer otros dueños de terreno en la región y los rasgos culturales que hay. Alrededor de Budsilha, registramos más asentamiento cerca del ejido Sacrificios en el Rancho Tres Piedras, confirmando que había mucho asentamiento disperso en esa área. Por el río Busiljá, se documentó el sitio Santa Marta, y se empezó el levantamiento del mismo. Santa Marta es un sitio interesante por su proximidad a la confluencia de los ríos Busiljá y Usumacinta. Sin excavaciones, es difícil ofrecer interpretaciones concretas, sino es probable que Santa Marta era un sitio en parte habitacional y en parte administrativo para monitorizar la ruta de transporte que sigue el río Busiljá. Una comparación arqueológica entre Santa Marta, La Selva, y Budsilha sería interesante para entender la organización regional de esos sitios en el intercambio del valle.

Al sur, entre los pueblos de Nuevo Francisco León y Nuevo Guerrero también conducimos reconocimiento en terrenos nuevos. Con el desarrollo de nuevas asociaciones con los terratenientes fue posible obtener el acceso a los sitios de La Cabaña y El Jovero. Los dos sitios parecen ser parte de un patrón de asentamiento amplia en esa región, la cual formó el territorio rural entre los reinos del periodo Clásico de Sak Tz'i', Piedras Negras, y El Cayo. Todavía queda mucho para investigar en esa región, y con un poco de paciencia, es probable que haya la oportunidad de hacer más reconocimiento por el camino entre Nuevo Francisco León y El Desempeño. Ese proyecto sería de largo plazo, pero valdría la pena de extender las metas del proyecto a esa región. Queda mucho para aprender de los sitios Uch Chan, La Cabaña, El Jovero, y El Cayo, como una periferia entre reinos grandes del periodo Clásico Tardío.

El sitio de mayor tamaño conocido durante la temporada de 2015 es el lugar conocido de forma preliminar como Lacanja-Tzeltal. Sus edificios imponentes y la cantidad de monumentos erosionados aun obvios en la superficie del sitio sugieren un papel político importante en la zona. El texto del monumento conocido como El Panel 1 menciona principalmente el reino de Sak T'zi', sino también el reino de Ak'e y tal vez más entidades políticas. El saqueo obvio en las piezas de

escultura en Lacanja-Tzeltal sugiere la posibilidad de que varios objetos robados del sitio están hoy en día en museos o colecciones, y tal vez sería posible conectar otros datos epigráficos con el sitio.

Conclusiones

En resumen, la temporada 2015 del Proyecto Arqueológico Busiljá-Chocoljá fue exitosa en términos de ser un paso de un proyecto a largo plazo. Cumplió con las metas propuestas del proyecto, y resultó en un mejor conocimiento de los patrones de asentamiento de los periodos Preclásico Tardío y Clásico Tardío. Y tal vez más importante en términos de posibles investigaciones subsecuentes es que el trabajo de 2015 hizo posible la colaboración de varias comunidades, ejidos y dueños de los terrenos privados donde están ubicados los sitios arqueológicos.

En un proyecto de largo plazo no es posible contestar cada cuestión arqueológica después de una sola temporada. Sin embargo, junto con los datos recolectados durante las primeras temporadas del proyecto, las investigaciones de campo en 2015 han ampliado el conocimiento de la cronología del asentamiento en la región de estudio; han resultado en la documentación de sitios arqueológicos no previamente identificados y en la producción de coquices preliminares de varios sitios anteriormente desconocidos; y han brindado datos preliminares sobre la cerámica regional y otros patrones de los materiales culturales de la zona. Así, los datos recién colectados proveen una comprensión nueva de la distribución temporal y espacial del asentamiento en la región de estudio, además de generar interpretaciones preliminares de los vínculos entre los sitios de ésta y las capitales del periodo Clásico, tales como Piedras Negras y Palenque. La presente investigación también forma una base para los estudios que los miembros del PABC esperan realizar en 2016, con el permiso del Consejo de Arqueología y las autoridades locales.

AGRADECIMIENTOS

Se realizaron las investigaciones del PABC durante la temporada 2015 con el permiso del Consejo de Arqueología del Instituto Nacional de Antropología e Historia (INAH). Estamos especialmente agradecidos con el Antropólogo Miguel Ángel Rivapalacio Sulser y el Arqueólogo Héctor Cuevas Fernández, por su colaboración y apoyo en las investigaciones. Como directores del proyecto agradecemos a nuestros colegas de campo durante la temporada 2015: Jeffrey Dobreiner, Whittaker Schroder, Cyndi Medina Pimentel, Yesenia Cabrera Tamayo, Diego Ibarra Cardona, Saúl Ascencio Bocanegra, Ofir Ascencio Bocanegra, Abel Lara Gómez, Denis Reyes Martínez, José Luis Aguilar, Manuel Sánchez Arcos, Cuauhtémoc Peñato López, Rudby Pérez Hernández, Miguel Ángel Aguilar. El señor Guillermo Fonseca proporcionó su asistencia con la logística local, sin la cual el trabajo de campo habría sido mucho más difícil y no tan exitoso. Don Concepción Ascencio Rosado (Tres Piedras), don Benito Sanchez Gutierrez (La Selva), don Juan Carlos Pérez (Las Palmas), don Andrés Reyes (Santa Marta), Eric Pérez González (El Infiernito), doña Amalia Mendoza López (La Cabaña), don Indolfo Islas Galeana (El Jovero), Jacinto Gomez Sanchez (Lacanja Tzeltal), y otros miembros de las comunidades y propietarios de la región han sido colaboradores tan nobles que nos han permitido realizar la documentación de los sitios arqueológicos ubicados en sus terrenos, y estamos en deuda con ellos. Se realizó esta investigación con el apoyo económico y/o institucional de las universidades de Brown, Brandeis (con el Fondo de Jane de la Programa de Estudios Latinoamericanos y Latinos, y con el fondo del Vice Rector para las Investigaciones), Harvard, Pennsylvania (con el fondo del Museo de la Universidad y estudios latinos), la Universidad Autónoma de Yucatán y la Universidad de Ciencias y Artes de Chiapas; y con el financiamiento mayor de la National Science Foundation de los Estado Unidos (SBE-BCS #1115818).

REFERENCIAS

Biró, Péter

2005 Sak Tz'i' in the Classic Period Hieroglyphic Inscriptions.

<http://www.mesoweb.com/articles/biro/SakTzi.pdf>

Culbert Patrick y Robert L. Rands

2007 Multiple Classifications: an Alternative approach to the investigation of Maya Ceramics. *Latin American Antiquity* 18 (2): 181-190

Fitzsimmons, James L.

2006 Kings of Jaguar Hill: Monuments and Caches at Zapote Bobal, Guatemala.

<http://www.famsi.org/reports/05047/05047Fitzsimmons01.pdf>

Golden, Charles, Andrew K. Scherer, A. René Muñoz y Rosaura Vasquez

2008 Piedras Negras and Yaxchilan: Divergent Political Trajectories in Adjacent Maya Polities. *Latin American Antiquity* 19(3):249-274.

Golden, Charles y Andrew K. Scherer

2011 *Proyecto Arqueológico Busilja-Chocolja: Informe de la Segunda Temporada de Investigacion*. Presentado ante El Consejo de Arqueología del Instituto Nacional de Antropología e Historia, México, D.F.

Houston, Stephen D.

1993 *Hieroglyphs and History at Dos Pilas: Dynastic Politics of the Classic Maya*. Austin: University of Texas Press.

Inomata, Takeshi

2008 *Warfare and the Fall of a Fortified Center: Archaeological Investigations at Aguateca*. Nashville, TN: Vanderbilt Institute of Mesoamerican Archaeology, Vanderbilt University Press.

Jiménez Alvarez, Socorro del Pilar. (Tesis)

2015 Producción, consumo y distribución del periodo Clásico Tardío, Chinikihá, Chiapas, México. Tesis de Doctorado en Antropología. Facultad de Filosofía y Letras de la Universidad Nacional Autónoma de México, México, D.F.

Martos López, Luis Alberto

2009 The Discovery of Plan de Ayutla, Mexico. In *Maya Archaeology 1*. C. Golden, S. Houston, and J. Skidmore, eds. Pp. 60-77. San Francisco: Precolumbia Mesoweb Press.

Scherer, Andrew K., Charles Golden y Jeffrey Dobereiner

2013 *Proyecto Arqueológico Busilja-Chocolja: Informe de la Cuarta Temporada de Investigacion*. Presentado ante El Consejo de Arqueología del Instituto Nacional de Antropología e Historia, México, D.F.

Scherer, Andrew K. y Charles Golden

2012 *Revisiting Maler's Usumacinta: Recent Archaeological Investigations in Chiapas, Mexico*. Precolumbia Mesoweb Press, San Francisco.

2014 War in the West: History, Landscape, and Classic Maya Conflict. En *Embattled Bodies, Embattled Places: War in Pre-Columbian Mesoamerica and the Andes*, editado por Andrew K. Scherer y John W. Verano, pp. 57-92. Dumbarton Oaks, Washington D.C.

Schroder, Whittaker, Jeffrey Dobereiner, Charles Golden, y Andrew K. Scherer

2014 *Proyecto Arqueológico Busilja-Chocolja: Informe de la Quinta Temporada de Investigación*. Presentado ante El Consejo de Arqueología del Instituto Nacional de Antropología e Historia, México, D.F.

Stuart, David

2003 La Identificación de Hixwitz. Ponencia presentada al XV Simposio de Investigaciones Arqueológicas en Guatemala, Museo Nacional de Arqueología y Etnología de Guatemala.